

BIOENGENHARIA DE SOLOS

Fundamentos, Técnicas e Soluções
Baseadas na Natureza

Luiz Diego Vidal Santos

Universidade Estadual de Feira de Santana

2026 • CC BY-NC-SA 4.0

Bioengenharia de Solos em Regiões Tropicais

Fundamentos, Técnicas e Soluções Baseadas na Natureza

Luiz Diego Vidal Santos

15/02/2026

Índice

Sobre este livro	1
Para quem é	1
Como citar	1
Licença	1
1. Parte I — Fundamentos	3
2. O que é Bioengenharia de Solos?	4
2.1. Bioengenharia vs. Engenharia Convencional	4
2.2. Histórico	5
2.3. Contexto Tropical	5
2.4. Estrutura deste Livro	6
3. O Solo como Sistema Aberto	7
3.1. A Equação de Jenny	7
3.2. Reator Biogeoquímico	8
3.3. Perfil do Solo Tropical	9
3.4. Propriedades-chave para Bioengenharia	12
3.4.1. Textura e Estrutura	12
3.4.2. Fator de Erodibilidade (K)	13
3.4.3. Resistência ao Cisalhamento	13
3.4.4. Condutividade Hidráulica	14
3.5. Principais Classes de Solos Tropicais	15
4. Conceito de Intemperismo	18
4.1. Intemperismo Físico	18
4.1.1. Alívio de Pressão	19
4.1.2. Termoclastia	19
4.1.3. Crescimento de Cristais	20
4.1.4. Ação Biológica Mecânica	20
4.2. Intemperismo Químico	20
4.2.1. Papel da Água	21
4.2.2. Principais Reações	21
4.2.3. Série de Goldich	22
4.3. Índice de Intemperismo Químico (CIA)	22
4.4. Minerais Diagnósticos dos Solos Tropicais	23
4.4.1. Caulinita	23
4.4.2. Goethita (FeOOH)	23
4.4.3. Hematita (Fe O)	24
4.4.4. Gibbsita (Al(OH))	24
4.5. Implicações para a Bioengenharia	24
5. Conceito e Magnitude	26
5.1. RUSLE (Equação Universal de Perda de Solo)	26

5.2.	Método SCS-CN para Estimativa de Escoamento	27
5.3.	Tipos de Erosão	28
5.3.1.	Erosão Laminar (<i>Sheet Erosion</i>)	29
5.3.2.	Erosão em Sulcos (<i>Rill Erosion</i>)	29
5.3.3.	Erosão em Ravinas (<i>Gully Erosion</i>)	29
5.3.4.	Voçorocas	30
5.4.	Mecanismos de Erosão	31
5.4.1.	1. Desprendimento (<i>Detachment</i>)	31
5.4.2.	2. Transporte	31
5.4.3.	3. Deposição	31
5.5.	Erosão em Regiões Tropicais	32
5.6.	Erosão Marginal	34
5.7.	Tolerância de Perda de Solo	34
6.	Importância da Classificação	35
6.1.	Elementary Gully Classification (EGC)	36
6.1.1.	Parâmetros Geométricos	36
6.1.2.	Classificação por Dimensões	36
6.2.	Levantamento com VANT (Drone)	37
6.2.1.	Fluxo de Trabalho com VANT	37
6.3.	Seleção de Técnicas por Classe	38
6.4.	Monitoramento Temporal	38
6.5.	Tecnologias Emergentes de Monitoramento	39
6.5.1.	Sensores IoT para Monitoramento Contínuo	39
6.5.2.	LiDAR Terrestre e Aerotransportado	40
6.5.3.	Sensoriamento Distribuído por Fibra Óptica	40
II.	Parte II — Técnicas de Bioengenharia	41
7.	Princípios da Revegetação	42
7.1.	Seleção de Espécies	42
7.1.1.	Critérios Técnicos	42
7.1.2.	Critérios Ecológicos	44
7.2.	Espécies Recomendadas para Regiões Tropicais	44
7.2.1.	Gramíneas e Leguminosas Herbáceas	44
7.2.2.	Espécies Arbóreas e Arbustivas	45
7.2.3.	Fibras Vegetais para Bioengenharia	45
7.3.	Métodos de Implantação	45
7.3.1.	Plantio Direto	46
7.3.2.	Plantio de Mudas	46
7.3.3.	Estacas Vivas	46
7.3.4.	Hidrossemeadura	46
7.4.	Cuidados na Implantação	47
8.	Paliçadas	48
8.1.	Materiais	48
8.1.1.	Bambu	49
8.1.2.	Madeira Roliça	49
8.1.3.	Pedra Seca	49
8.2.	Dimensionamento	49
8.2.1.	Espaçamento entre Paliçadas	49

8.2.2. Altura Efetiva	50
8.2.3. Capacidade de Retenção	50
8.3. Construção	50
8.3.1. Passo a Passo	50
8.4. Eficiência	52
8.5. Custos Comparativos	53
9. Bacias de Captação	54
9.1. Funções	55
9.2. Dimensionamento	55
9.2.1. Método EUPS + VIB	55
9.2.2. Área de Contribuição	56
9.2.3. Dimensões Típicas	56
9.3. Espaçamento	57
9.4. Vida Útil e Manutenção	57
9.5. Custos	58
10. Feixes Vivos (<i>Fascines</i>)	59
10.0.1. Feixes Vivos	59
10.0.2. Materiais	60
10.0.3. Dimensionamento	60
10.0.4. Instalação	61
10.1. Drenos Verdes	61
10.1.1. Drenos Verdes	61
10.1.2. Tipos	61
10.1.3. Dimensionamento do Dreno Superficial	62
10.1.4. Vantagens dos Drenos Verdes	63
10.2. Integração Feixes + Drenos	63
11. Hidrossemeadura	66
11.1. Composição da Pasta	67
11.2. Tipos de Mulch	68
11.2.1. Mulch de Celulose	68
11.2.2. Mulch de Madeira	68
11.2.3. Mulch Bonded Fiber Matrix (BFM)	68
11.3. Fixadores (<i>Tackifiers</i>)	69
11.4. Dimensionamento	69
11.4.1. Taxa de Aplicação	69
11.4.2. Mistura de Sementes	69
11.5. Equipamentos	70
11.6. Monitoramento	70
11.7. Custos	70
11.8. Limitações e Contraindicações	71
12. Biomantas	72
12.1. Classificação	72
12.1.1. Por Material	72
12.1.2. Por Função (Norma ABNT NBR 16308)	73
12.2. Propriedades Mecânicas	73
12.3. Instalação	75
12.3.1. Preparação do Terreno	75
12.3.2. Fixação	75

12.3.3. Grampeamento	75
12.4. Vantagens sobre Geossintéticos Convencionais	76
12.5. Custos	76
13. Enrocamento Vegetado	77
13.1. Componentes	78
13.2. Dimensionamento das Pedras	78
13.2.1. Espessura da Camada	78
13.3. Vegetação no Enrocamento	79
13.3.1. Espécies Indicadas	79
13.3.2. Instalação	79
13.4. Aplicações Típicas	79
13.5. Custos	80
14. Cordões Vegetativos	81
14.0.1. Cordões Vegetativos	81
14.0.2. Espécies	81
14.0.3. Dimensionamento	84
14.0.4. Eficiência	84
14.1. Fascinas	84
14.1.1. Fascinas	84
14.1.2. Tipos	84
14.1.3. Dimensionamento	84
14.1.4. Instalação	85
14.1.5. Aplicações	85
15. Gabião Vivo	86
15.1. Transição Estrutural	86
15.2. Dimensionamento Estrutural	87
15.2.1. Verificação ao Tombamento	87
15.2.2. Verificação ao Deslizamento	87
15.2.3. Verificação da Capacidade de Carga	88
15.3. Construção	88
15.3.1. Materiais	88
15.3.2. Passo a Passo	88
15.4. Coesão Radicular	88
15.5. Normas Aplicáveis	89
15.6. Custos Comparativos	89
16. Parede Krainer	90
16.1. Tipologia	91
16.1.1. Parede Krainer Simples	91
16.1.2. Parede Krainer Dupla	91
16.2. Dimensionamento Estrutural	91
16.2.1. Geometria	92
16.2.2. Verificação de Estabilidade	92
16.2.3. Peso Específico da Estrutura	92
16.3. Seleção de Madeiras Tropicais	92
16.4. Estacas Vivas	93
16.5. Construção	93
16.6. Drenagem	94
16.7. Aplicações	94

17. Canaleta Verde	96
17.1. Funções	96
17.2. Dimensionamento Hidráulico	97
17.2.1. Equação de Manning	97
17.2.2. Regime de Escoamento	98
17.2.3. Tensão Cisalhante Admissível	98
17.2.4. Seção Trapezoidal	99
17.3. Projeto Típico	99
17.4. Vantagens sobre Canaletas de Concreto	100
III. Parte III — Geotêxteis e Inovação	101
18. Geotêxteis	102
18.1. Classificação	102
18.1.1. Por Processo de Fabricação	103
18.1.2. Por Matéria-Prima	103
18.2. Funções Geotécnicas	104
18.3. Propriedades	104
18.3.1. Mecânicas	104
18.3.2. Hidráulicas	104
18.3.3. Critério de Filtração	105
18.4. Geotêxteis no Baixo São Francisco	105
18.5. Ensaio Normalizados	106
19. Biotêxteis	107
19.1. Geotêxtil de Taboa (<i>Typha domingensis</i>)	107
19.1.1. Desenvolvimento	107
19.1.2. Características	107
19.1.3. Mecanismo de Intertravamento	109
19.1.4. Vantagens	109
19.2. Geocomposto Híbrido	109
19.2.1. Conceito do Geocomposto Híbrido	109
19.2.2. Componentes	109
19.2.3. Propriedades	110
19.3. Geodreno Vegetal Biodegradável	110
19.3.1. Conceito do Geodreno Vegetal	110
19.3.2. Estrutura	110
19.3.3. Desempenho	111
19.4. Comparativo de Desempenho	111
20. Biopolímeros Superabsorventes	112
20.1. Bio-SAP de Taboa	113
20.1.1. Desenvolvimento	113
20.1.2. Processo de Produção	113
20.1.3. Propriedades	113
20.2. Geocompostos Hidrorretentores Typha-Rami	114
20.2.1. Conceito dos Geocompostos Hidrorretentores	114
20.2.2. Estrutura	114
20.2.3. Desempenho	115
20.3. Aplicações	115
20.4. Vantagens sobre SAP Sintéticos	117

20.5. Fronteiras Tecnológicas em Biopolímeros	117
20.5.1. Nanocelulose para Estabilização de Solos	117
20.5.2. Sistemas Biopoliméricos de Quitosana-Alginato	118
IV. Parte IV — Projeto e Integração	119
21. Definição	120
21.1. Enquadramento Conceitual	120
21.2. Critérios IUCN para NBS	121
21.3. Bioengenharia como NBS	122
21.4. Análise Econômica	122
21.4.1. Custo-benefício de NBS vs. Engenharia Convencional	122
21.4.2. Co-benefícios valorizáveis	123
21.5. Retaludamento como NBS	123
21.5.1. Princípios	125
21.5.2. Dimensionamento	125
21.6. Casos de Aplicação em Regiões Tropicais	125
21.6.1. Semiárido brasileiro	125
21.6.2. Encostas da Mata Atlântica	126
21.6.3. Margens do rio São Francisco	126
21.7. Adaptação às Mudanças Climáticas	126
21.7.1. Projeções de Precipitação Extrema para Regiões Tropicais	126
21.7.2. Resiliência Climática da Bioengenharia	127
21.7.3. Sequestro de Carbono	127
21.8. Marco Regulatório e Certificação	128
21.8.1. Normas Brasileiras Aplicáveis	128
21.8.2. Legislação Ambiental	128
21.8.3. Certificações Internacionais	128
22. Objetivo	130
22.1. Metodologia de Projeto	130
22.1.1. Etapas do Projeto de Bioengenharia	130
22.1.2. Etapa 1: Diagnóstico	131
22.1.3. Etapa 2: Classificação de Feições	132
22.1.4. Etapa 3: Seleção de Técnicas	132
22.1.5. Etapa 4: Dimensionamento	133
22.1.6. Etapa 5: Projeto Executivo	133
22.1.7. Etapa 6: Implantação	134
22.1.8. Etapa 7: Monitoramento	134
22.2. Ferramentas Computacionais para Modelagem	135
22.2.1. Modelagem Hidrológica (SIG)	136
22.2.2. Estabilidade de Taludes	136
22.2.3. Modelagem de Erosão e Deposição	136
22.3. Estudo de Caso: Voçoroca em Latossolo no Cerrado	137
22.3.1. Cenário	137
22.3.2. Diagnóstico	137
22.3.3. Projeto	137
22.3.4. Resultados Esperados (Modelagem)	138
22.3.5. Orçamento Estimado	138
22.4. Considerações Finais	139

V. Parte V — Monitoramento e Análise	140
23. Modelagem 3D de Sistemas Radiculares	141
23.1. Introdução à Fotogrametria Aplicada a Raízes	141
23.2. Preparação do Sítio Experimental	141
23.2.1. Critérios de Seleção	141
23.2.2. Abertura da Trincheira e Exposição das Raízes	142
23.2.3. Montagem da Cena	142
23.3. Aquisição Fotográfica	142
23.3.1. Configuração da Câmera	142
23.3.2. Protocolo de Captura Orbital	142
23.3.3. Resolução Espacial (GSD)	143
23.4. Processamento Fotogramétrico	143
23.4.1. Pipeline no Meshroom	143
23.4.2. Verificação de Qualidade	143
23.4.3. Exportação	144
23.5. Análise no CloudCompare	144
23.5.1. Limpeza da Nuvem de Pontos	144
23.5.2. Calibração de Escala	144
23.5.3. Visualização por Profundidade	144
23.6. Extração do RAR por Cortes Transversais	145
23.6.1. Método de Fatiamento	145
23.6.2. Resultados Típicos	145
23.7. Estimativa do Acréscimo de Coesão	145
23.7.1. Modelo de Wu (1979)	145
23.7.2. Modelo de Waldron (1977)	146
23.7.3. Fator de Segurança	146
23.8. Ensaios Complementares	146
23.9. Vantagens da Análise 3D sobre Métodos Convencionais	147

Sobre este livro

Este é o site do livro “Bioengenharia de Solos em Regiões Tropicais: Fundamentos, Técnicas e Soluções Baseadas na Natureza”, escrito por [Luiz Diego Vidal Santos](#).

A bioengenharia de solos combina princípios da engenharia, ecologia e pedologia para estabilizar e recuperar solos degradados utilizando materiais vivos e biodegradáveis. Em regiões tropicais, onde a intensidade das chuvas, a profundidade do intemperismo e a fragilidade dos solos impõem desafios únicos, as soluções baseadas na natureza (NBS) surgem como alternativas sustentáveis, eficientes e de baixo custo.

Este livro apresenta de forma integrada os fundamentos pedológicos, as técnicas construtivas e as inovações em materiais biodegradáveis aplicados à conservação e recuperação de solos em ambientes tropicais. Cada capítulo combina base teórica, equações de dimensionamento, exemplos práticos e estudos de caso reais.

O conteúdo está organizado em quatro partes:

1. Fundamentos — Formação dos solos tropicais, intemperismo, processos erosivos e classificação de feições.
2. Técnicas de Bioengenharia — Das paliçadas e bacias de captação aos gabiões vivos e paredes Krainer.
3. Geotêxteis e Inovação — Geossintéticos, biotêxteis de fibras vegetais e biopolímeros superabsorventes.
4. Projeto e Integração — Soluções baseadas na natureza e projeto integrador de bioengenharia.

Para quem é

- Estudantes de graduação e pós-graduação em Engenharia Agrônômica, Ambiental, Civil e Florestal
- Profissionais de conservação do solo e recuperação de áreas degradadas
- Pesquisadores em soluções baseadas na natureza (NBS)
- Gestores de bacias hidrográficas e planejamento territorial

Como citar

Santos, L. D. V. (2026). *Bioengenharia de Solos em Regiões Tropicais: Fundamentos, Técnicas e Soluções Baseadas na Natureza*. Disponível em: <https://diegovidalcv.com.br/books/bioengenharia-solos/>

Licença

Este livro é disponibilizado sob licença [Creative Commons Atribuição-NãoComercial-CompartilhaIgual 4.0 Internacional \(CC BY-NC-SA 4.0\)](#).

1.

Prefácio {.unnumbered}

A erosão do solo é um dos maiores desafios ambientais do século XXI. Estima-se que 24 bilhões de toneladas de solo fértil sejam perdidas anualmente em todo o mundo, com consequências diretas na segurança alimentar, nos recursos hídricos e na biodiversidade. Em regiões tropicais, a combinação de chuvas intensas, solos profundamente intemperizados e pressão antrópica agrava esse cenário.

A bioengenharia de solos (entendida como o uso de materiais vivos e biodegradáveis combinados a técnicas de engenharia) oferece uma resposta a esse desafio. Diferentemente das soluções exclusivamente estruturais, a bioengenharia busca a transição progressiva de uma função mecânica artificial para uma função ecológica natural, de modo que, à medida que os materiais se degradam, as raízes das plantas assumem o papel de sustentação do solo.

Este livro nasceu da experiência acumulada em mais de uma década de pesquisa e extensão no Baixo São Francisco (SE/AL) e nos Tabuleiros Costeiros do Nordeste brasileiro. A convivência com agricultores familiares, comunidades ribeirinhas e técnicos de campo me ensinou que as melhores soluções são aquelas que combinam rigor científico, viabilidade econômica e apropriação social.

Ao longo dos capítulos, o leitor encontrará equações e modelos de dimensionamento aplicáveis a condições tropicais, estudos de caso de campo com dados reais de monitoramento, comparativos de custo entre soluções convencionais e baseadas na natureza, e inovações tecnológicas em materiais biodegradáveis protegidos por patentes.

Agradeço aos colegas do grupo de pesquisa PLANeT-Inova (UEFS), do Gerenciamento Hidroambiental do Baixo São Francisco (UFS) e do Manejo de Solos e Sustentabilidade (UFS) pelas colaborações que enriqueceram este trabalho.

Luiz Diego Vidal Santos

Feira de Santana, Bahia

Fevereiro de 2026

Parte I.

Parte I — Fundamentos

2. O que é Bioengenharia de Solos?

Introdução à Bioengenharia de Solos {#sec-introducao}

A bioengenharia de solos (*soil bioengineering*) é uma disciplina que combina princípios da engenharia civil, ecologia e ciência do solo para projetar, construir e manter estruturas de estabilização e proteção do solo utilizando materiais vivos (plantas, raízes, estacas) combinados ou não a materiais inertes biodegradáveis (fibras naturais, madeira, bambu).

O conceito difere da engenharia convencional em um aspecto fundamental. Enquanto as estruturas de concreto e aço são projetadas para resistir indefinidamente ao intemperismo, as estruturas de bioengenharia são projetadas para uma transição funcional, na qual a resistência mecânica inicial (fornecida por materiais construtivos) é progressivamente transferida para o sistema radicular das plantas à medida que estas se estabelecem (Figura 2.1).

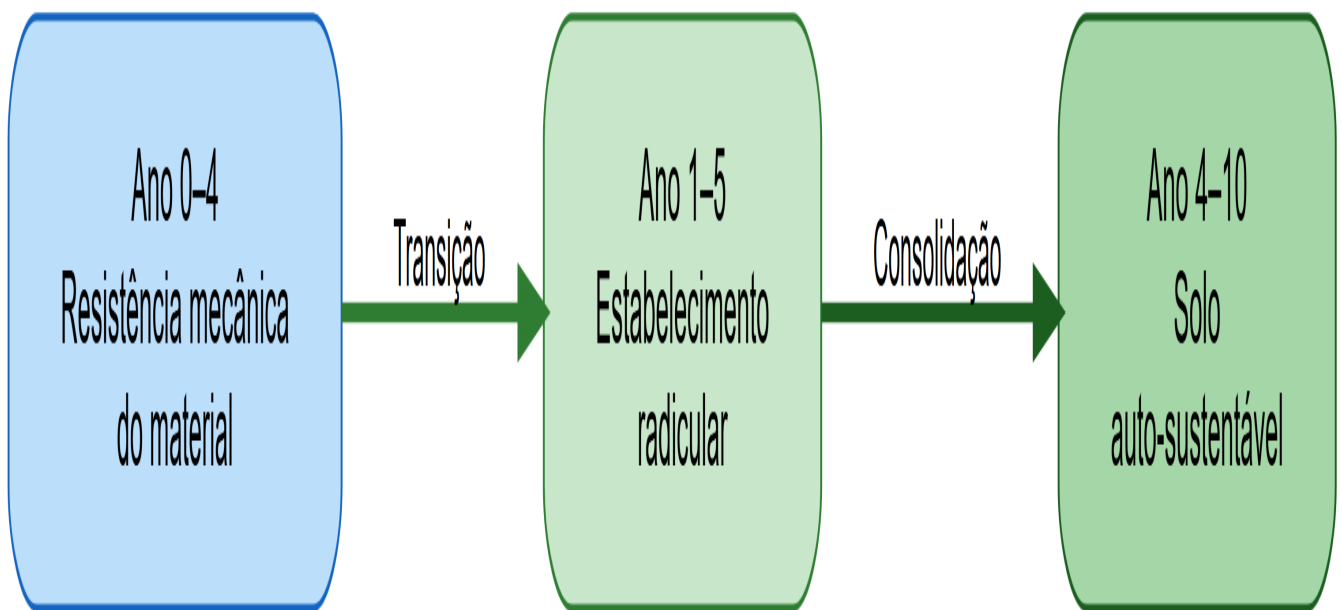


Figura 2.1.: Esquema conceitual da transição entre a função mecânica dos materiais construtivos e a função ecológica do sistema radicular.

2.1. Bioengenharia vs. Engenharia Convencional

Tabela 2.1.: Comparativo entre engenharia convencional e bioengenharia de solos.

Critério	Engenharia Convencional	Bioengenharia de Solos
Material principal	Concreto, aço, gabião metálico	Plantas, fibras, madeira, bambu

Critério	Engenharia Convencional	Bioengenharia de Solos
Durabilidade do material	Décadas a séculos	2–10 anos (biodegradável)
Função ao longo do tempo	Constante (ou degradante)	Crescente (sistema vivo)
Custo inicial	Alto	Moderado a baixo
Custo de manutenção	Médio	Baixo
Impacto paisagístico	Negativo	Positivo
Serviços ecossistêmicos	Nenhum	Múltiplos
Emissão de CO	Alta	Sequestro de C

2.2. Histórico

A bioengenharia de solos tem raízes milenares. Na China, há registros de uso de fascinas de bambu para contenção de margens de rios datados de mais de 2.000 anos. Na Europa, técnicas de estabilização com estacas vivas de salgueiro (*Salix* spp.) são documentadas desde o século XVIII (Schiechl, 1980).

O desenvolvimento moderno da disciplina ocorreu na segunda metade do século XX, com contribuições fundamentais de Hugo M. Schiechl (Áustria), que sistematizou as técnicas de *Ingenieurbiologie* ao publicar o primeiro manual técnico em 1973. Na América do Norte, Donald H. Gray e Robbin B. Sotir consolidaram o campo com o clássico *Biotechnical and Soil Bioengineering Slope Stabilization* (Gray & Sotir, 1996). No Brasil, Fabrício J. Sutili e Miguel A. Durlo foram pioneiros na adaptação das técnicas europeias ao contexto subtropical brasileiro (Durlo & Sutili, 2005; Sutili, 2004).

2.3. Contexto Tropical

Em regiões tropicais, a bioengenharia enfrenta desafios e oportunidades particulares:

! Desafios tropicais

As regiões tropicais impõem condições severas à bioengenharia. A intensidade pluviométrica, com chuvas concentradas cuja erosividade é 3–5× maior que em zonas temperadas, exige estruturas com alta capacidade de dissipação de energia. O intemperismo profundo gera perfis de solo com 10–30 m de manto de alteração, nos quais predominam argilas 1:1 (caulinita) com baixa CTC (solos lateríticos). Soma-se a isso a necessidade de seleção criteriosa de espécies nativas adaptadas, dada a elevada biodiversidade das paisagens tropicais.

💡 Oportunidades tropicais

Em contrapartida, as condições tropicais oferecem vantagens expressivas. As taxas de rebrota vegetal são 2–4× maiores que em zonas temperadas, acelerando a transição funcional. A

2. O que é Bioengenharia de Solos?

disponibilidade de fibras naturais (sisal, coco, taboa *Typha*, bananeira e rami) e de materiais locais (bambu, pedras e madeiras de rápido crescimento) reduz custos, enquanto a viabilidade econômica de mão de obra intensiva favorece técnicas de execução manual.

2.4. Estrutura deste Livro

Este livro está organizado em quatro partes:

A Parte I (Fundamentos) apresenta a base científica necessária, incluindo formação dos solos tropicais, processos de intemperismo, mecanismos erosivos e classificação de feições. A Parte II (Técnicas de Bioengenharia) detalha as técnicas construtivas, do mais simples ao mais complexo, com equações de dimensionamento e exemplos práticos. A Parte III (Geotêxteis e Inovação) aborda geossintéticos convencionais, biotêxteis de fibras vegetais e biopolímeros superabsorventes, incluindo patentes desenvolvidas pelo autor. Por fim, a Parte IV (Projeto e Integração) apresenta o conceito de soluções baseadas na natureza (NBS) e um roteiro para projeto integrador de bioengenharia.

3. O Solo como Sistema Aberto

Solos Tropicais: Formação e Propriedades {#sec-solos-tropicais}

Antes de projetar qualquer intervenção de bioengenharia, é indispensável compreender o material sobre o qual se trabalha. O solo não é uma massa inerte de partículas minerais; trata-se de um sistema aberto termodinâmico que troca continuamente matéria e energia com a atmosfera, a biosfera, a hidrosfera e a litosfera. Imagine o solo como uma “fábrica viva” que recebe água da chuva, gases da atmosfera, resíduos orgânicos e libera sedimentos dissolvidos, gases (como CO₂) e nutrientes em solução.

Em regiões tropicais, a intensidade dessas trocas é amplificada pela temperatura elevada (média anual > 20 °C) e pela abundância de água (precipitação acumulada frequentemente superior a 1.200 mm/ano), resultando em solos profundamente intemperizados e com características únicas. Essa combinação confere aos solos tropicais um conjunto de propriedades que os distingue radicalmente dos solos de regiões temperadas, com implicações diretas para o projeto de estruturas de bioengenharia.

3.1. A Equação de Jenny

A formação do solo é um fenômeno complexo cuja compreensão exige considerar múltiplos fatores atuando simultaneamente. A equação fatorial proposta por Jenny (1941) sintetiza esse entendimento, conforme ilustrado na Figura 3.1.

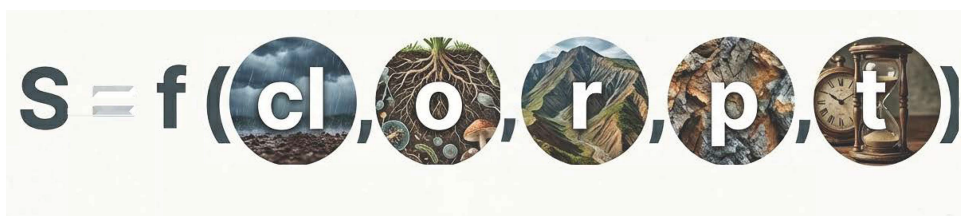


Figura 3.1.: Fatores de formação do solo segundo Jenny (1941): Clima, Organismos, Relevo, Material de Origem e Tempo.

Matematicamente, qualquer propriedade do solo (S) pode ser expressa como função dos cinco fatores de formação:

$$S = f(cl, o, r, p, t, \dots)$$

onde S é a propriedade do solo (textura, cor, CTC, profundidade, etc.), cl representa o clima (precipitação e temperatura, que controlam a intensidade do intemperismo), o corresponde aos organismos (vegetação, fauna do solo, microrganismos que reciclam matéria orgânica), r é o relevo (que governa o escoamento da água e a redistribuição de sedimentos ao longo da encosta), p indica o material de origem (a rocha-mãe fornece os minerais primários a partir dos quais o solo é formado) e t é o tempo (solos tropicais bem desenvolvidos possuem idades da ordem de milhões de anos). O termo ... reconhece fatores adicionais, sobretudo a ação antrópica.

3. O Solo como Sistema Aberto

Na prática, a equação de Jenny ensina que dois solos formados sob o mesmo clima, relevo, material de origem, biota e tempo terão propriedades semelhantes. Por isso, quando se identifica, por exemplo, um Latossolo Vermelho em duas regiões distintas do Cerrado brasileiro, espera-se comportamento geotécnico e erodibilidade comparáveis, o que permite transferir experiências de bioengenharia entre localidades análogas.

i CIORPT

O acrônimo CIORPT é uma forma didática de memorizar os fatores de formação do solo: Clima, Organismos, Relevo, Parent material (material de origem) e Tempo. Nos trópicos, o clima (especialmente a precipitação) e o tempo são os fatores dominantes, o que explica o intemperismo avançado mesmo sobre diferentes tipos de rocha.

3.2. Reator Biogeoquímico

Para entender por que os solos tropicais são tão diferentes dos solos de regiões frias, é útil pensar no solo como um reator biogeoquímico, conforme esquematizado na Figura 3.2.

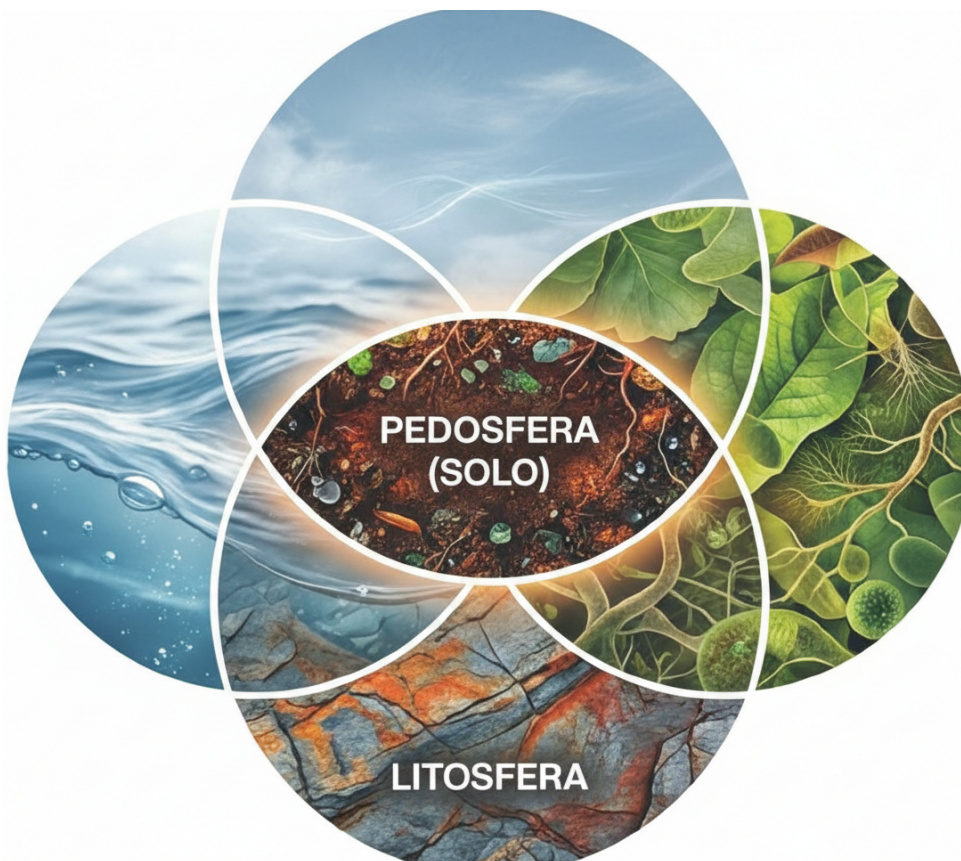


Figura 3.2.: O solo como reator biogeoquímico: processos simultâneos de adição, remoção, transformação e translocação.

Neste reator, quatro processos fundamentais operam simultaneamente. O processo de adição incorpora matéria orgânica pela deposição de serrapilheira, poeira atmosférica e solutos trazidos pela chuva. O processo de remoção retira material por lixiviação (percolação de água que dissolve e carrega íons), erosão superficial e extração por colheitas agrícolas. A transformação converte minerais primários em minerais secundários (argilas e óxidos) por reações de hidrólise, oxidação

e redução, além de decompor matéria orgânica em húmus. Por fim, a translocação redistribui materiais internamente, movendo argilas de horizontes superiores para inferiores (fenômeno chamado eluviação/iluviação) e revolvendo o solo por atividade de organismos (bioturbação por minhocas, cupins e formigas).

Em regiões tropicais, as taxas de transformação são significativamente maiores devido à temperatura e umidade elevadas. Cada aumento de 10 °C na temperatura aproximadamente duplica a velocidade das reações químicas (Lei de Arrhenius). Isso resulta em três consequências fundamentais para a bioengenharia: a decomposição rápida da matéria orgânica (meia-vida inferior a 5 anos, contra 15–25 anos em zonas temperadas), a alta taxa de neoformação de argilas cauliníticas (minerais de baixa atividade) e a concentração residual de óxidos de ferro e alumínio pelo processo de laterização (que confere as cores vermelhas e amarelas características).

3.3. Perfil do Solo Tropical

Um conceito essencial para quem projeta intervenções de bioengenharia é o de perfil do solo, que consiste na sequência vertical de camadas (chamadas horizontes) que se desenvolvem desde a superfície até a rocha-mãe inalterada. Cada horizonte possui propriedades distintas de cor, textura, estrutura e composição química, e essas diferenças determinam como a água se infiltra, como as raízes se desenvolvem e onde o solo é mais suscetível a rupturas.

A Figura 3.3 apresenta um perfil típico de solo tropical, onde é possível observar a transição gradual desde a matéria orgânica superficial até o material parental inalterado em profundidade.

A representação esquemática dos horizontes e suas transições é detalhada na Figura 3.4, que permite visualizar as nomenclaturas padronizadas utilizadas em levantamentos de solo.

O perfil típico de um solo tropical bem drenado apresenta a sequência descrita na Tabela 3.1. Note que a espessura total do perfil pode ultrapassar 10 metros em Latossolos, enquanto em Neossolos Litólicos (solos rasos de encostas íngremes) pode ser inferior a 50 cm, condição que exige estratégias de bioengenharia completamente distintas.

Tabela 3.1.: Perfil esquemático de um solo tropical profundo (Latossolo).

Horizonte	Profundidade típica	Características
O	0–5 cm	Serrapilheira em decomposição; protege contra o impacto direto das gotas de chuva
A	5–30 cm	Matéria orgânica humificada, cor escura; zona de maior atividade biológica e radicular
B	30–200+ cm	Argilas cauliníticas, óxidos de Fe/Al, cor amarela a vermelha; horizonte diagnóstico
C	200–1000+ cm	Saprolito (rocha parcialmente intemperizada); preserva estrutura da rocha original
R	> 10 m	Rocha-mãe inalterada

Para a bioengenharia, a distinção entre horizontes é crítica. O horizonte A, rico em matéria orgânica e raízes, é o que se busca preservar ou reconstituir. O horizonte B, frequentemente

3. O Solo como Sistema Aberto



Figura 3.3.: Perfil de solo tropical com horizontes bem definidos, mostrando a transição da matéria orgânica superficial até a rocha-mãe.

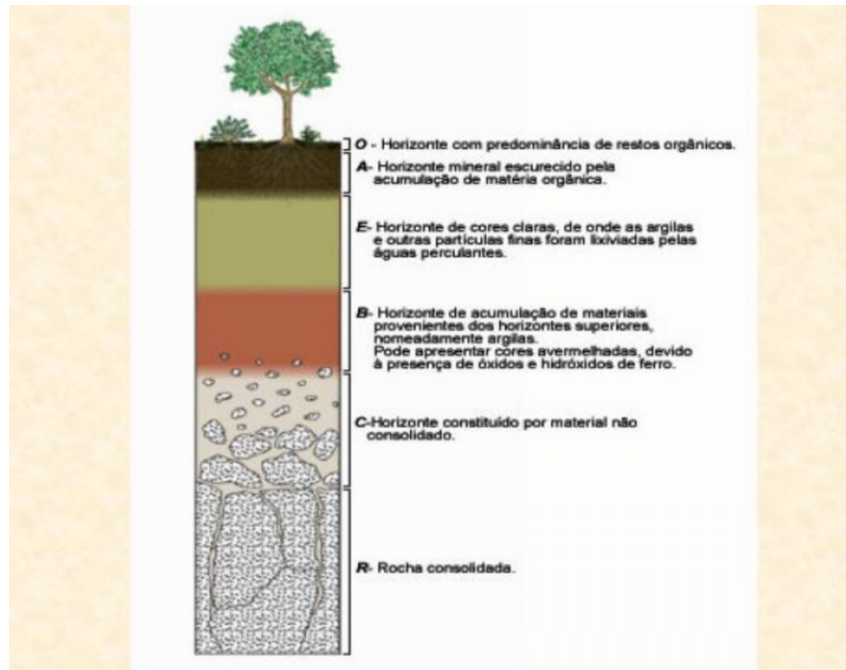


Figura 3.4.: Representação esquemática dos horizontes do solo e suas transições.



Figura 3.5.: Carta de cores de Munsell — ferramenta padrão para determinação objetiva da cor do solo em campo, utilizada na descrição morfológica de horizontes.

3. O Solo como Sistema Aberto

espesso e laterizado, pode apresentar coesão aparente (estável quando seco, mas colapsável quando saturado), o que torna fundamental o controle da drenagem superficial e subsuperficial. Quando a erosão atinge o horizonte C ou mesmo o R, a recuperação é muito mais complexa e onerosa.

3.4. Propriedades-chave para Bioengenharia

3.4.1. Textura e Estrutura

A textura do solo (proporção relativa de areia, silte e argila) é uma das propriedades mais importantes para o projeto de bioengenharia, pois influencia diretamente a erodibilidade, a capacidade de infiltração e a resistência ao cisalhamento. A classificação textural é realizada com auxílio do triângulo textural, apresentado na Figura 3.6.



Figura 3.6.: Triângulo textural para classificação de solos segundo a proporção de areia, silte e argila.

Para interpretar o triângulo textural, localiza-se o ponto de interseção entre as três frações granulométricas (obtidas por ensaio de granulometria em laboratório), e a classe textural resultante orienta as decisões de projeto. Os solos arenosos (fração areia > 70%) apresentam alta taxa de infiltração (> 50 mm/h), porém baixa coesão entre partículas, tornando-os altamente susceptíveis ao desenvolvimento de ravinas por escoamento concentrado. Os solos argilosos (fração argila > 35%), em contrapartida, possuem baixa taxa de infiltração (< 10 mm/h) e alta coesão quando secos, mas oferecem risco de deslizamento quando saturados, pois a água nos poros gera poropressão positiva que reduz a tensão efetiva. Já os solos siltosos são considerados os mais erodíveis, pois combinam baixa coesão entre partículas com baixa permeabilidade, o que gera escoamento superficial intenso capaz de transportar grandes volumes de sedimento.

3.4.2. Fator de Erodibilidade (K)

Para quantificar objetivamente a susceptibilidade intrínseca de um solo à erosão (independentemente da chuva, do relevo ou do uso do solo), utiliza-se o fator K da RUSLE (Renard et al., 1997):

$$K = 2,1 \times 10^{-4} \cdot M^{1,14} \cdot (12 - a) + 3,25 \cdot (b - 2) + 2,5 \cdot (c - 3) \div 100$$

onde M representa o produto (%silte + %areia fina) \times (100 - %argila), a corresponde ao teor de matéria orgânica (%), b indica a classe de estrutura do solo (1-4, sendo 1 = granular muito fina e 4 = blocos, laminar ou maciça) e c refere-se à classe de permeabilidade (1-6, sendo 1 = rápida e 6 = muito lenta).

Em termos práticos, solos com alto teor de silte e areia fina (elevado M) e baixo teor de matéria orgânica (baixo a) resultam em valores de K elevados (alta erodibilidade), o que demanda maior proteção superficial pelas técnicas de bioengenharia. Solos tropicais laterizados tendem a apresentar K moderado (0,02-0,04 t h MJ⁻¹ mm⁻¹) graças à microagregação conferida pelos óxidos de ferro, apesar do altíssimo teor de argila.

3.4.3. Resistência ao Cisalhamento

A estabilidade de encostas e taludes depende fundamentalmente da resistência ao cisalhamento (τ) do solo, descrita pelo critério de Mohr-Coulomb:

$$\tau = c' + (\sigma - u) \tan \phi'$$

onde c' é a coesão efetiva (força de ligação entre partículas), σ é a tensão normal total (peso do solo acima do plano de ruptura), u é a poropressão (pressão exercida pela água nos poros, que “empurra” as partículas e reduz o atrito entre elas) e ϕ' é o ângulo de atrito interno efetivo (resistência ao deslizamento entre partículas). Quando a poropressão (u) aumenta (por exemplo, durante chuvas intensas que saturam o solo), a tensão efetiva ($\sigma - u$) diminui, a resistência ao cisalhamento cai e o talude pode romper. Esse é o mecanismo fundamental dos deslizamentos em encostas tropicais.

A bioengenharia intervém diretamente nessa equação. A presença de raízes aumenta a coesão do solo, adicionando um termo c_r (coesão radicular) à coesão efetiva. O incremento de coesão radicular pode ser estimado pelo modelo de Wu-Waldron:

$$c_r = t_R \cdot \frac{A_r}{A} \cdot (\sin \theta + \cos \theta \cdot \tan \phi')$$

onde t_R é a resistência à tração das raízes (quanto uma raiz individual resiste antes de romper, medida em kPa), A_r/A é a razão de área radicular (proporção da seção transversal do solo ocupada por raízes) e θ é o ângulo de distorção das raízes em relação ao plano de ruptura. Dessa forma, quanto maior a densidade de raízes e quanto mais resistentes elas forem, maior será o incremento de coesão e, portanto, maior a estabilidade do talude.

💡 Valores típicos

Em solos tropicais com vegetação herbácea estabelecida (como gramíneas Vetiver ou Brachiaria), o incremento c_r varia tipicamente de 5 a 25 kPa, podendo alcançar 40 kPa

em solos com sistema radicular arbóreo denso. Para contexto, uma coesão de 10 kPa já pode significar a diferença entre um talude estável e um deslizamento em encostas com inclinações entre 30° e 45°.

3.4.4. Condutividade Hidráulica

A condutividade hidráulica saturada (K_s) é uma propriedade fundamental para o dimensionamento de sistemas de drenagem em projetos de bioengenharia, pois governa a taxa de infiltração de água no solo e a velocidade de dissipação de poropressões em taludes. Em solos tropicais, K_s apresenta comportamento paradoxal em relação à textura, especialmente nos Latossolos, onde a microagregação por óxidos de ferro confere permeabilidade elevada a solos com mais de 60% de argila (comportamento pseudo-arenoso). A determinação em campo é realizada por ensaio de infiltração com permeâmetro de Guelph ou infiltrômetro de duplo anel (ABNT NBR 7229), e em laboratório por permeâmetro de carga constante ou variável conforme NBR 14545.

A Tabela 3.2 apresenta valores típicos de K_s para as principais classes de solos tropicais brasileiros, obtidos a partir de compilação de ensaios publicados na literatura nacional. Esses valores orientam o dimensionamento preliminar de geodrenos (ver [?@sec-biotexteis](#)), bacias de captação (ver [?@sec-bacias-captacao](#)) e canaletas verdes (ver [?@sec-canaleta-verde](#)), devendo ser confirmados por ensaios in situ na fase de projeto executivo.

Tabela 3.2.: Condutividade hidráulica saturada típica para solos tropicais brasileiros e implicações para bioengenharia.

Classe de solo	K_s típico (mm/h)	Comportamento hidráulico	Implicação para bioengenharia
Latossolo argiloso (microagregado)	50–200	Rápida infiltração apesar do alto teor de argila	Drenagem natural eficiente, risco de erosão interna em descontinuidades
Latossolo arenoso	100–500	Muito permeável	Risco de percolação sob paliçadas, exige vedação de base
Argissolo (horizonte Bt)	1–15	Baixa permeabilidade no horizonte Bt	Gera lençol suspenso, essencial drenar a interface A/Bt
Plintossolo (petroplintita)	0,1–5	Quase impermeável quando endurecido	Exige drenagem superficial agressiva, limita enraizamento
Cambissolo	10–80	Variável conforme maturidade	Investigação local obrigatória
Gleissolo (saturado)	0,5–10	Saturação permanente	Exige espécies tolerantes a anaerobiose
Neossolo Quartzarênico	200–800	Extremamente permeável	Baixa retenção hídrica, Bio-SAP recomendado (?@sec-biopolimeros)

A relação entre K_s e a intensidade da chuva de projeto (i) determina o mecanismo de geração de escoamento superficial. Quando $i > K_s$ (escoamento hortoniano), a precipitação excedente forma escoamento superficial imediatamente, situação comum em Argissolos e Plintossolos com horizonte de impedimento. Quando $i < K_s$ (escoamento por saturação), o solo infiltra toda a

chuva até que a capacidade de armazenamento se esgote, gerando escoamento apenas quando o perfil satura por acúmulo progressivo, mecanismo dominante em Latossolos profundos durante eventos prolongados. No projeto de bioengenharia, a distinção entre esses mecanismos orienta a escolha entre proteção superficial (para escoamento hortoniano) e drenagem subsuperficial (para escoamento por saturação).

3.5. Principais Classes de Solos Tropicais

A classificação do solo é uma ferramenta fundamental para o engenheiro que projeta intervenções de bioengenharia, pois cada classe de solo apresenta comportamento geotécnico, erodibilidade e resposta hidrológica distintos. No Brasil, o Sistema Brasileiro de Classificação de Solos (SiBCS) identifica dezenas de classes, mas seis delas concentram a maioria dos desafios enfrentados em projetos de estabilização e controle de erosão. A Figura 3.7 e a Figura 3.8 ilustram as duas classes mais frequentes em projetos de bioengenharia no Brasil tropical.



Figura 3.7.: Latossolo Amarelo — solo profundo e bem drenado, típico de planaltos tropicais.

Figura 3.8.: Argissolo Vermelho-Amarelo — gradiente textural com risco de deslizamento em encostas.

O Latossolo (Figura 3.7) é o solo mais representativo dos planaltos tropicais brasileiros, ocupando cerca de 39% do território nacional. Trata-se de um solo profundo (frequentemente > 5 m), homogêneo, bem drenado e com alta agregação conferida pelos óxidos de ferro e alumínio. Apesar de sua estabilidade estrutural, quando desprovido de cobertura vegetal, o Latossolo é altamente erodível pela exposição direta ao impacto das gotas de chuva, que desagregam os microagregados superficiais. Em projetos de bioengenharia, a prioridade é a proteção da superfície (cobertura vegetal, biomantas, palhada) e a reconstrução da camada orgânica.

O Argissolo (Figura 3.8) apresenta um gradiente textural acentuado entre os horizontes A e B, com aumento expressivo no teor de argila em profundidade. Esse gradiente cria uma

3. O Solo como Sistema Aberto

descontinuidade hidráulica que pode gerar lençol suspenso em períodos chuvosos, condição que favorece deslizamentos translacionais. A interface entre os horizontes A e B concentra a maior parte das rupturas, e o projeto de bioengenharia deve priorizar a drenagem subsuperficial e a ancoragem radicular profunda.

A Tabela 3.3 sintetiza as seis principais classes de solos tropicais e suas implicações para projetos de bioengenharia, servindo como referência rápida para a seleção de técnicas adequadas a cada situação de campo.

Tabela 3.3.: Principais classes de solos tropicais e sua relevância para projetos de bioengenharia.

Classe (SiBCS)	WRB equivalente	Ocorrência	Relevância para bioengenharia
Latosolo	Ferralsol	Planaltos bem drenados	Estáveis quando cobertos, mas altamente erodíveis quando expostos; proteção superficial prioritária
Argissolo	Acrisol/Lixisol	Encostas e tabuleiros	Gradiente textural favorece deslizamentos; drenagem subsuperficial essencial
Plintossolo	Plinthosol	Áreas de flutuação do lençol	Endurecimento irreversível ao secar (petroplintita); limita o enraizamento profundo
Neossolo Litólico	Leptosol	Encostas íngremes	Rasos (< 50 cm); alta susceptibilidade à erosão e deslizamento
Cambissolo	Cambisol	Relevos ondulados	Jovens e heterogêneos; propriedades variáveis exigem investigação local
Gleissolo	Gleysol	Várzeas e planícies	Hidromórficos, saturados e compressíveis; exigem espécies tolerantes a alagamento

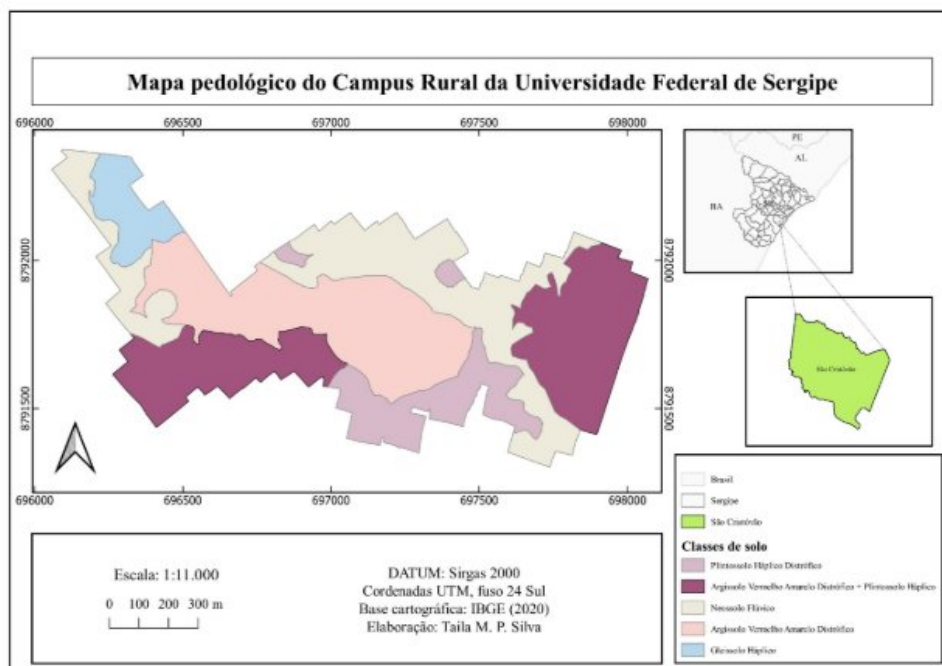


Figura 3.9.: Mapa pedológico — distribuição espacial das classes de solo em uma área de projeto, ferramenta essencial para o planejamento de intervenções de bioengenharia diferenciadas por tipo de solo.

4. Conceito de Intemperismo

Intemperismo e Transformação do Solo {#sec-intemperismo}

O intemperismo é o conjunto de processos físicos, químicos e biológicos que transformam rochas consolidadas em materiais inconsolidados (saprolito e solo). Para quem trabalha com bioengenharia, compreender o intemperismo é essencial por uma razão simples: ele é o processo que “fabrica” o substrato sobre o qual todas as intervenções são projetadas. A profundidade do manto de alteração, a mineralogia das argilas formadas e a estrutura do solo resultante são consequências diretas da intensidade e do tipo de intemperismo atuante.

Em regiões tropicais, o intemperismo é mais intenso e profundo do que em qualquer outra zona climática do planeta. A combinação de temperaturas médias elevadas ($> 20\text{ }^{\circ}\text{C}$), precipitação abundante ($> 1.200\text{ mm/ano}$) e intensa atividade biológica acelera as reações de decomposição mineral, resultando em mantos de alteração que podem alcançar dezenas de metros de espessura. A Figura 4.1 sintetiza os agentes que atuam simultaneamente nesse processo de transformação.

4.1. Intemperismo Físico

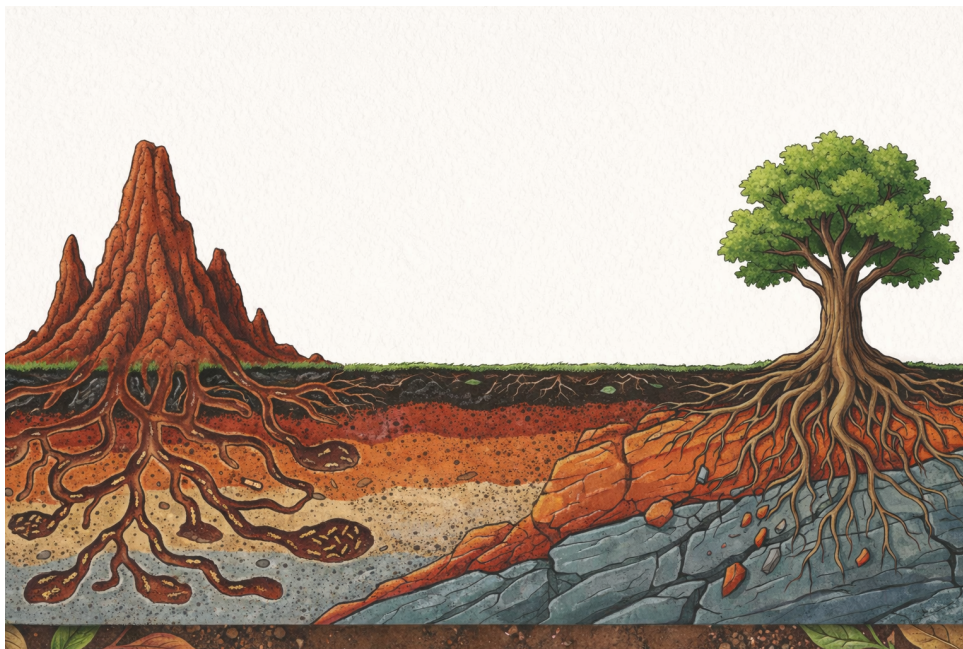


Figura 4.1.: Agentes do intemperismo atuando sobre a rocha: processos físicos, químicos e biológicos que transformam a rocha em solo.

O intemperismo físico fragmenta mecanicamente a rocha sem alterar sua composição mineralógica. Trata-se da “quebra” da rocha em pedaços cada vez menores, aumentando a superfície específica exposta e, com isso, acelerando o ataque químico subsequente. É importante compreender que o intemperismo físico não atua sozinho; ele prepara o terreno para o intemperismo químico,

que será o agente dominante nos trópicos. Os principais mecanismos em regiões tropicais são descritos a seguir.

4.1.1. Alívio de Pressão

Quando rochas formadas em grande profundidade (sob pressão de quilômetros de material sobrejacente) são gradualmente expostas à superfície pela remoção erosiva das camadas superiores, a descompressão gera fraturas subparalelas à topografia, fenômeno conhecido como *sheet joints* ou *sheeting*. Esse processo é visível na Figura 4.2.



Figura 4.2.: Fraturas geradas por alívio de pressão em rochas graníticas — a descompressão gera sistemas de fraturas subparalelas à superfície.

Esse mecanismo é particularmente importante em maciços graníticos e gnáissicos nos inselbergs do Nordeste brasileiro, onde as fraturas geradas pelo alívio de pressão criam caminhos preferenciais para a infiltração da água, acelerando o intemperismo químico nos planos de descontinuidade. Em termos práticos, encostas rochosas com *sheeting* bem desenvolvido são mais suscetíveis a desprendimentos de lajes e blocos, o que deve ser considerado no projeto de intervenções.

4.1.2. Termoclastia

A variação diurna de temperatura causa expansão e contração diferencial dos minerais que compõem a rocha. Como cada mineral tem um coeficiente de dilatação térmica diferente, os ciclos de aquecimento e resfriamento geram tensões internas heterogêneas que, com o tempo, produzem microfissuras e fraturam progressivamente a rocha. A Figura 4.3 ilustra esse processo.

Em regiões semiáridas tropicais (como a Caatinga brasileira), a amplitude térmica superficial pode alcançar 60 °C (rocha exposta ao sol a 70 °C versus ar noturno a 10 °C), gerando tensões suficientes para fraturar até rochas muito competentes. A termoclastia é um dos fatores que explicam a produção de cascalho e areia grossa nos pedimentos semiáridos, materiais que podem ser aproveitados como agregados em estruturas de bioengenharia.

4. Conceito de Intemperismo



Figura 4.3.: Variação de temperatura diurna em superfícies rochosas — a amplitude térmica gera tensões de expansão e contração nos minerais.

4.1.3. Crescimento de Cristais

Em ambientes semiáridos, a evaporação de soluções salinas nos poros e fraturas da rocha gera cristais de sais (cloretos, sulfatos, carbonatos) que exercem pressão de cristalização de até 300 MPa sobre as paredes dos poros, fragmentando progressivamente o substrato. Esse processo, chamado haloclastia, é responsável pela degradação acelerada de rochas em ambientes costeiros e em regiões com solos salinos, sendo especialmente relevante em obras de bioengenharia no Semiárido nordestino.

4.1.4. Ação Biológica Mecânica

As raízes de árvores e arbustos penetram fraturas preexistentes e exercem pressão mecânica de expansão à medida que crescem em diâmetro. Esse processo, chamado *root wedging*, é capaz de fragmentar blocos de rocha ao longo de décadas. Líquens e fungos contribuem para a fragmentação superficial combinando ação mecânica (hifas que penetram microfissuras) e ação química (exsudação de ácidos orgânicos). Para a bioengenharia, isso tem uma implicação paradoxal: embora o enraizamento seja desejável para estabilizar taludes de solo, raízes penetrando fraturas de rocha podem desestabilizar encostas rochosas.

4.2. Intemperismo Químico

O intemperismo químico é o processo dominante nos trópicos úmidos, responsável por transformar minerais primários (formados a altas temperaturas e pressões durante a consolidação da rocha) em minerais secundários (argilas e óxidos estáveis nas condições de superfície). A água é o agente principal dessas transformações, e sua abundância nos trópicos explica por que os solos tropicais são os mais profundamente intemperizados do planeta.

4.2.1. Papel da Água

A molécula de água desempenha três funções simultâneas e indissociáveis no intemperismo químico. Atua como solvente (dissolvendo íons e moléculas dos minerais por sua elevada constante dielétrica), como reagente (participando diretamente das reações de hidrólise, que são as mais importantes nos trópicos) e como meio de transporte (removendo produtos solúveis por lixiviação e redistribuindo materiais ao longo do perfil).

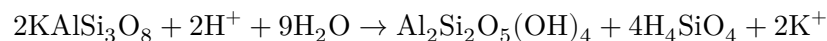
A taxa de intemperismo químico aumenta exponencialmente com a temperatura, seguindo a Lei de Arrhenius:

$$k = A \cdot e^{-E_a/RT}$$

onde k é a constante de velocidade da reação, A é o fator de frequência (frequência com que as moléculas colidem com orientação favorável), E_a é a energia de ativação (barreira energética que deve ser superada para que a reação ocorra), R é a constante universal dos gases ($8,314 \text{ J mol}^{-1} \text{ K}^{-1}$) e T é a temperatura absoluta (em kelvin). Em termos práticos, cada aumento de 10°C na temperatura duplica aproximadamente a velocidade das reações de intemperismo, o que explica por que solos tropicais atingem graus de intemperismo que solos temperados levariam milhões de anos adicionais para alcançar.

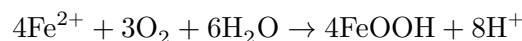
4.2.2. Principais Reações

A hidrólise constitui a reação mais importante nos trópicos, pois é o mecanismo pelo qual os silicatos (minerais dominantes nas rochas da crosta) são decompostos pela ação de íons H^+ da água. O exemplo clássico é a hidrólise do feldspato potássico (ortoclásio, um dos minerais mais comuns em granitos) para caulinita (a argila dominante nos solos tropicais):



Note que a reação consome dois moles de feldspato e produz caulinita (que permanece no solo) e sílica dissolvida e potássio em solução (que são exportados pela drenagem). Essa exportação contínua de sílica e bases é responsável pelo empobrecimento químico progressivo dos solos tropicais.

A oxidação promove a conversão de ferro ferroso (Fe^{2+} , solúvel) em ferro férrico (Fe^{3+} , insolúvel), formando os óxidos de ferro responsáveis pelas cores vermelhas e amarelas características dos solos tropicais:



O produto dessa reação (goethita, FeOOH) é um dos minerais mais estáveis nas condições tropicais e desempenha papel fundamental na microagregação dos solos lateríticos, conferindo-lhes estabilidade estrutural mesmo com altos teores de argila. Esse é um aspecto positivo para a bioengenharia, pois a microagregação facilita a infiltração e a penetração radicular.

A dissolução corresponde à remoção completa de íons solúveis (Ca^{2+} , Mg^{2+} , K^+ , Na^+) pela lixiviação, concentrando residualmente os óxidos de ferro e alumínio mais insolúveis. É esse processo de empobrecimento seletivo que transforma, ao longo de milhões de anos, uma rocha rica em diversos minerais em um solo dominado por caulinita, goethita e gibbsita.

4. Conceito de Intemperismo

4.2.3. Série de Goldich

A série de estabilidade de Goldich (inversa da série de cristalização de Bowen) ordena os minerais segundo sua resistência ao intemperismo. Minerais formados em altas temperaturas e pressões (primeiros a cristalizar no magma) são os menos estáveis nas condições de superfície e, portanto, os primeiros a serem destruídos pelo intemperismo.

Tabela 4.1.: Série de estabilidade de Goldich, onde minerais formados em altas temperaturas (esquerda) são os primeiros a intemperizar.

Mais susceptível	→	→	Menos susceptível
Olivina			Quartzo
Piroxênio			Muscovita
Anfibólio			Feldspato potássico
Biotita			—

Para a bioengenharia, a série de Goldich tem uma implicação prática imediata. Solos derivados de rochas ricas em olivina e piroxênio (como basaltos) intemperizam rapidamente e produzem solos argilosos profundos (Latosolos), enquanto solos derivados de rochas quartzosas (como arenitos) geram solos arenosos rasos com baixa coesão e alta erodibilidade. A identificação da rocha-mãe permite, portanto, antecipar as propriedades do solo e selecionar as técnicas de bioengenharia mais adequadas.

4.3. Índice de Intemperismo Químico (CIA)

Para quantificar objetivamente o grau de intemperismo de um solo ou saprolito, utiliza-se o Chemical Index of Alteration (CIA), proposto por Nesbitt e Young (1982):

$$\text{CIA} = \frac{\text{Al}_2\text{O}_3}{\text{Al}_2\text{O}_3 + \text{CaO}^* + \text{Na}_2\text{O} + \text{K}_2\text{O}} \times 100$$

O CIA mede a proporção de alumínio (que permanece no solo como argilas e hidróxidos) em relação à soma de alumínio e bases (cálcio, sódio e potássio, que são progressivamente removidos pela lixiviação). Quanto mais alto o CIA, mais intenso foi o intemperismo. A Tabela 4.2 apresenta a interpretação dos valores.

Tabela 4.2.: Interpretação do CIA para diferentes graus de intemperismo.

CIA	Grau de intemperismo	Exemplo
50	Rocha fresca	Granito inalterado
60–70	Moderado	Solos de zona temperada
75–85	Avançado	Argissolos tropicais
85–100	Extremo	Latosolos, bauxitas

4.4. Minerais Diagnósticos dos Solos Tropicais

Os produtos finais do intemperismo nos trópicos são um conjunto restrito de minerais muito estáveis que dominam a mineralogia dos solos. Conhecê-los é fundamental para a bioengenharia, pois cada mineral confere propriedades geotécnicas e químicas distintas ao solo.

4.4.1. Caulinita

A caulinita é uma argila do tipo 1:1 (uma lâmina tetraédrica de sílica ligada a uma lâmina octaédrica de alumina), com espaçamento basal de 7,2 Å. Trata-se do argilomineral mais abundante nos solos tropicais bem drenados, sendo o produto direto da hidrólise dos feldspatos conforme discutido acima. A Figura 4.4 mostra a aparência característica desse mineral ao microscópio.

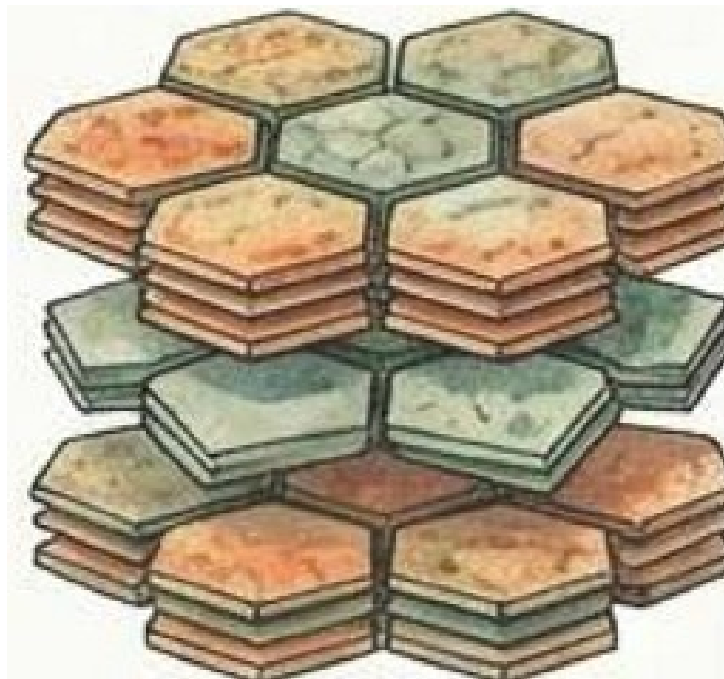


Figura 4.4.: Caulinita — argilomineral 1:1 dominante nos solos tropicais bem drenados, com baixa CTC e expansibilidade.

Para a bioengenharia, as propriedades da caulinita têm implicações diretas. Sua baixa capacidade de troca catiônica (CTC 3–15 cmolc/kg, contra 80–150 cmolc/kg em argilas montmoriloníticas) significa que solos cauliniticos retêm poucos nutrientes, exigindo adição de matéria orgânica para sustentar o crescimento vegetal. Sua baixa expansibilidade (não incha nem contrai com variações de umidade, diferentemente das argilas 2:1) confere estabilidade volumétrica ao solo, o que é vantajoso para estruturas construídas sobre ele. Sua coesão moderada explica a estabilidade aparente dos solos tropicais secos, mas a perda rápida de resistência quando saturados.

4.4.2. Goethita (FeOOH)

A goethita é o óxido de ferro responsável pela cor amarela dos solos tropicais. Predomina em ambientes mais úmidos e com menor variação sazonal de umidade (como topos de morro sombreados ou solos de encostas voltadas para o sul no hemisfério sul). A goethita cristaliza com maior teor de água em sua estrutura e reflete a luz na faixa do amarelo-ocre. Em termos

4. Conceito de Intemperismo

geotécnicos, a presença dominante de goethita em relação à hematita indica solos com regime hídrico mais úmido, o que deve ser considerado no dimensionamento da drenagem em projetos de bioengenharia.

4.4.3. Hematita (Fe O)

A hematita é o óxido de ferro que confere a cor vermelha intensa aos solos tropicais, sendo o resultado da desidratação da goethita em condições de boa drenagem e estação seca definida. A Figura 4.5 ilustra a coloração característica desse mineral.



Figura 4.5.: Hematita — óxido de ferro que confere a coloração vermelha característica dos solos tropicais bem drenados.

A hematita possui papel fundamental na microagregação dos solos tropicais (Latosolos). Ela atua como agente cimentante entre partículas de caulinita, formando microagregados esféricos de 0,1–1,0 mm de diâmetro que conferem ao solo uma estrutura granular extremamente estável e, paradoxalmente, fazem com que solos com 60–80% de argila se comportem hidraulicamente como areias (alta permeabilidade, baixa plasticidade). Essa microagregação é benéfica para a bioengenharia por facilitar a infiltração e o enraizamento, mas é destruída por compactação ou erosão superficial intensa.

4.4.4. Gibbsita (Al(OH))

A gibbsita é um hidróxido de alumínio indicador de intemperismo extremo (ferraltização). Sua presença abundante indica que o solo perdeu praticamente toda a sílica por lixiviação, restando apenas alumínio e ferro como componentes minerais. É o mineral diagnóstico dos Latossolos mais intemperizados e das bauxitas (minério de alumínio). Em termos de bioengenharia, solos com alto teor de gibbsita são extremamente pobres em nutrientes (CTC da gibbsita = 0) e exigem adição massiva de matéria orgânica para qualquer estratégia de revegetação.

4.5. Implicações para a Bioengenharia

O grau de intemperismo determina diretamente as propriedades geotécnicas do solo e, consequentemente, as decisões de projeto de bioengenharia. A compreensão da mineralogia e da

evolução geoquímica do perfil permite antecipar comportamentos e selecionar técnicas com maior probabilidade de sucesso.

 Atenção

Solos extremamente intemperizados ($CIA > 85$) apresentam um conjunto de propriedades que exige abordagens específicas de bioengenharia. A baixa CTC (dominada por caulinita e gibbsita) demanda reposição contínua de matéria orgânica para viabilizar o crescimento vegetal. A coesão aparente (conferida por cimentação por óxidos e sucção matricial) implica estabilidade temporária que é rapidamente perdida quando o solo satura, tornando essencial o gerenciamento da drenagem. A microagregação por óxidos de ferro gera comportamento pseudo-arenoso (alta permeabilidade em solo argiloso), o que pode parecer contraditório mas facilita tanto o enraizamento quanto a drenagem interna.

Essas propriedades influenciam diretamente a seleção de técnicas. A baixa CTC demanda técnicas que agreguem matéria orgânica (mulch, biomantas, hidrossemeadura com compostos orgânicos), enquanto a coesão aparente torna essencial a drenagem superficial e subsuperficial para evitar saturação e colapso. Por outro lado, a microagregação facilita a penetração radicular, favorecendo técnicas vegetativas que se beneficiam da estrutura granular do solo. Em resumo, cada decisão de projeto de bioengenharia em solos tropicais deve ser fundamentada no conhecimento do grau de intemperismo e da mineralogia dominante do perfil.

5. Conceito e Magnitude

Erosão do Solo: Tipos e Processos {#sec-erosao}

A erosão hídrica é o processo de desprendimento, transporte e deposição de partículas de solo pela ação da água. Embora a erosão seja um fenômeno natural que ocorre em todas as paisagens (sendo, de fato, o agente modelador do relevo terrestre ao longo do tempo geológico), as atividades humanas (desmatamento, agricultura intensiva, urbanização) aceleraram esse processo em taxas que superam em 10 a 100 vezes a erosão natural. Em escala global, estima-se que 75 bilhões de toneladas de solo sejam erodidas anualmente, com custo econômico superior a US\$ 400 bilhões/ano (Morgan, 2005), considerando-se perdas de produtividade agrícola, assoreamento de reservatórios, degradação da qualidade da água e destruição de infraestrutura.

Para quem atua em bioengenharia de solos, compreender os mecanismos erosivos é o ponto de partida obrigatório, pois cada tipo de erosão demanda técnicas de controle específicas. Um tratamento projetado para erosão laminar será ineficaz contra uma voçoroca ativa, e vice-versa.

Em regiões tropicais, a erosividade da chuva (fator R da RUSLE) é tipicamente 3 a 5 vezes maior do que em zonas temperadas, devido à maior frequência de chuvas convectivas intensas (com gotas de grande diâmetro e alta energia cinética), tornando a erosão um dos processos geomorfológicos mais ativos e um dos maiores desafios ambientais do Brasil.

5.1. RUSLE (Equação Universal de Perda de Solo)

O modelo RUSLE (*Revised Universal Soil Loss Equation*) (Renard et al., 1997) é a ferramenta mais amplamente utilizada para estimar a perda de solo por erosão laminar e em sulcos. Apesar de suas limitações (não modela erosão em ravinas nem deposição), a RUSLE é fundamental para o planejamento de intervenções de bioengenharia, pois permite quantificar a perda de solo atual e simular a eficácia de diferentes práticas conservacionistas antes de sua implantação.

$$A = R \cdot K \cdot L \cdot S \cdot C \cdot P$$

A Tabela 5.1 descreve cada fator da equação. É importante notar que o resultado (A) expressa a média anual de perda de solo em toneladas por hectare por ano, e que a equação assume condições de estado estacionário para uma encosta retilínea com comprimento e declividade uniformes.

Tabela 5.1.: Fatores da RUSLE e suas unidades.

Fator	Significado	Unidade	O que controla
A	Perda de solo	t ha ⁻¹ ano ⁻¹	Resultado do modelo
R	Erosividade da chuva	MJ mm ha ⁻¹ h ⁻¹ ano ⁻¹	Energia e intensidade das chuvas
K	Erodibilidade do solo	t h MJ ⁻¹ mm ⁻¹	Susceptibilidade intrínseca do solo

Fator	Significado	Unidade	O que controla
L	Comprimento da rampa	adimensional	Distância percorrida pelo escoamento
S	Declividade	adimensional	Inclinação da encosta
C	Uso e manejo do solo	adimensional	Cobertura e práticas culturais
P	Práticas conservacionistas	adimensional	Intervenções de controle da erosão

💡 Parâmetro-chave para bioengenharia

Os fatores C e P são os diretamente manipuláveis pela bioengenharia. Uma cobertura de gramíneas pode reduzir C de 1,0 (solo nu) para 0,01, representando uma redução de 99% na erosão. Da mesma forma, paliçadas ou cordões vegetativos reduzem efetivamente o fator L (comprimento da rampa), enquanto terraços alteram o fator S (declividade). A combinação dessas intervenções pode reduzir a perda de solo de centenas de toneladas por hectare/ano para valores abaixo da tolerância.

5.2. Método SCS-CN para Estimativa de Escoamento

Além da RUSLE, que estima a perda de solo por erosão laminar, o projetista de bioengenharia necessita estimar o volume e o pico de escoamento superficial gerado por eventos de chuva, informação essencial para dimensionar paliçadas (ver [?@sec-palicasadas](#)), bacias de captação (ver [?@sec-bacias-captacao](#)) e canaletas verdes (ver [?@sec-canaleta-verde](#)). O método SCS-CN (*Soil Conservation Service — Curve Number*), desenvolvido pelo USDA, é a ferramenta mais amplamente utilizada para essa finalidade.

O escoamento superficial direto (Q , em mm) gerado por uma precipitação total (P , em mm) é estimado por

$$Q = \frac{(P - 0,2S)^2}{P + 0,8S}$$

válida para $P > 0,2S$ (caso contrário, $Q = 0$), onde S é a retenção potencial máxima do solo (mm), calculada a partir do *Curve Number* (CN) pela relação

$$S = \frac{25400}{CN} - 254$$

O CN é um parâmetro adimensional (0–100) que integra os efeitos do tipo hidrológico do solo, da cobertura vegetal e da condição de umidade antecedente. A Tabela 5.2 apresenta valores de CN para condições típicas em projetos de bioengenharia no Brasil tropical.

Tabela 5.2.: Valores de CN para condições típicas de projetos de bioengenharia em solos tropicais (condição de umidade antecedente II).

Uso do solo / cobertura	Solo tipo A	Solo tipo B	Solo tipo C	Solo tipo D
Floresta densa (Mata Atlântica)	25	55	70	77

5. Conceito e Magnitude

Uso do solo / cobertura	Solo tipo A	Solo tipo B	Solo tipo C	Solo tipo D
Cerrado denso	36	60	73	79
Pastagem em boas condições	39	61	74	80
Pastagem degradada (solo exposto > 50%)	68	79	86	89
Solo nu (pós-desmatamento)	77	86	91	94
Estrada rural não pavimentada	72	82	87	89

💡 Aplicação prática

A redução do CN é o objetivo hidrológico de qualquer intervenção de bioengenharia. Ao converter uma pastagem degradada ($CN = 86$, solo tipo C) em uma encosta revegetada com espécies nativas ($CN \approx 73$), a retenção potencial S aumenta de 41 mm para 94 mm, reduzindo o escoamento gerado por uma chuva de 80 mm de 35,5 mm para 11,6 mm, o que representa uma diminuição de 67% no volume de enxurrada. Esse cálculo justifica tecnicamente a prioridade dada à revegetação em projetos de controle de erosão.

A vazão de pico (Q_p) pode ser estimada pelo método racional modificado do SCS, que incorpora o tempo de concentração da bacia

$$Q_p = \frac{0,208 \cdot A \cdot Q}{t_p}$$

onde A é a área da bacia contribuinte (km^2), Q é o escoamento direto (mm, calculado pela equação anterior) e t_p é o tempo de pico (h), dado por $t_p = 0,6 \cdot t_c$ (onde t_c é o tempo de concentração estimado pela fórmula de Kirpich ou equivalente). Essa vazão de pico é o dado de entrada para o dimensionamento hidráulico das estruturas de dissipação, contenção e condução de enxurrada, conforme detalhado nos capítulos subsequentes.

5.3. Tipos de Erosão

A erosão hídrica se manifesta em diferentes formas, que representam um contínuo de intensidade crescente. A Figura 5.1 apresenta uma comparação visual desses tipos, desde a erosão laminar até as feições lineares de grande porte.

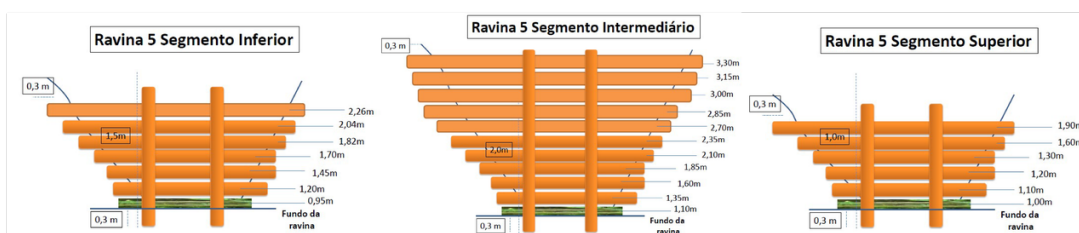


Figura 5.1.: Comparação visual dos tipos de erosão: desde a erosão laminar até a formação de ravinas e voçorocas em solos tropicais.

5.3.1. Erosão Laminar (*Sheet Erosion*)

A erosão laminar consiste na remoção uniforme de uma fina camada de solo pela ação do escoamento superficial difuso (uma lâmina d'água rasa que escoar uniformemente sobre a superfície). É a forma mais insidiosa de erosão por ser visualmente imperceptível; o agricultor perde solo progressivamente sem notar, até que a exposição dos horizontes subsuperficiais (mais claros, mais compactos) revele a gravidade da situação. Em regiões tropicais, a erosão laminar sob chuvas intensas pode remover 1–3 mm de solo por evento, o que equivale a 15–45 t/ha. A proteção da superfície por cobertura vegetal viva, morta (mulch) ou artificial (biomantas) é a estratégia primária de controle.

5.3.2. Erosão em Sulcos (*Rill Erosion*)

Quando o escoamento superficial se concentra em pequenos canais paralelos à encosta (com profundidade inferior a 30 cm), escava-se uma rede de sulcos que concentra progressivamente o fluxo de água e sedimentos. Os sulcos ainda podem ser desfeitos por operações agrícolas convencionais (aração, gradagem), o que os distingue das ravinas. Entretanto, se não corrigidos, representam o estágio inicial da formação de feições erosivas permanentes. O controle se dá pela redução do comprimento da rampa (implantação de cordões vegetativos, paliçadas ou terraços que interrompem o escoamento concentrado).

5.3.3. Erosão em Ravinas (*Gully Erosion*)

A ravina é um canal permanente com profundidade superior a 30 cm que não pode ser eliminado por operações agrícolas convencionais. Representa o estágio avançado da erosão hídrica concentrada e é o tipo de feição erosiva que mais demanda intervenções de bioengenharia. A Figura 5.2 mostra uma ravina ativa em solo tropical, onde é possível observar as paredes verticais expostas e a ausência de cobertura vegetal no interior do canal.

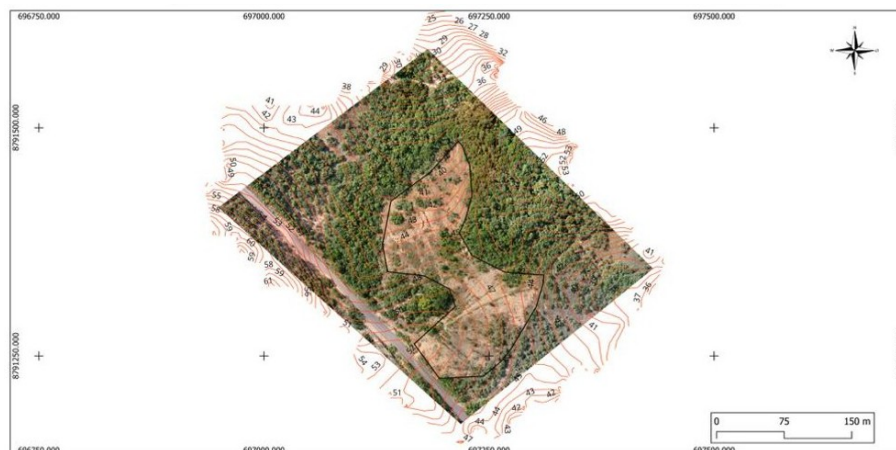


Figura 5.2.: Ravina ativa em solo tropical — canal permanente que não pode ser eliminado por operações agrícolas convencionais.

As ravinas podem ser classificadas segundo seu mecanismo de crescimento dominante. As ravinas de cabeceira retrocedem por erosão remontante, na qual o escoamento concentrado escava a montante, alargando progressivamente a área de contribuição. As ravinas laterais se expandem por solapamento e desabamento das paredes, processo acelerado pelo umedecimento diferencial e pela ação do gelo em altas altitudes ou pela simples saturação em ambientes tropicais. As ravinas

5. Conceito e Magnitude

de fundo se aprofundam por incisão do talvegue, podendo atingir horizontes mais compactos ou o lençol freático. É comum que os três mecanismos atuem simultaneamente na mesma ravina, exigindo um tratamento integrado de bioengenharia que aborde cabeceira, paredes e fundo do canal.

5.3.4. Voçorocas

As voçorocas são feições erosivas de grande porte (profundidade $> 1,5$ m, largura > 3 m) que frequentemente atingem o lençol freático, adicionando a contribuição de água subterrânea ao processo erosivo. Representam o estágio mais severo de degradação do solo e constituem um dos maiores desafios para a bioengenharia.

A formação de voçorocas está associada a três mecanismos interconectados. O primeiro é a progressão da erosão superficial, na qual ravinas não controladas se ampliam e aprofundam até atingir dimensões de voçoroca. O segundo é a erosão subsuperficial (*piping*), na qual a percolação de água através de descontinuidades do solo (fraturas, raízes mortas, galerias de animais) gera túneis internos cujo colapso súbito forma a feição erosiva. O terceiro é a instabilidade de taludes, na qual o solapamento da base pela exfiltração do lençol freático causa desabamentos sucessivos das paredes, ampliando lateralmente a voçoroca.

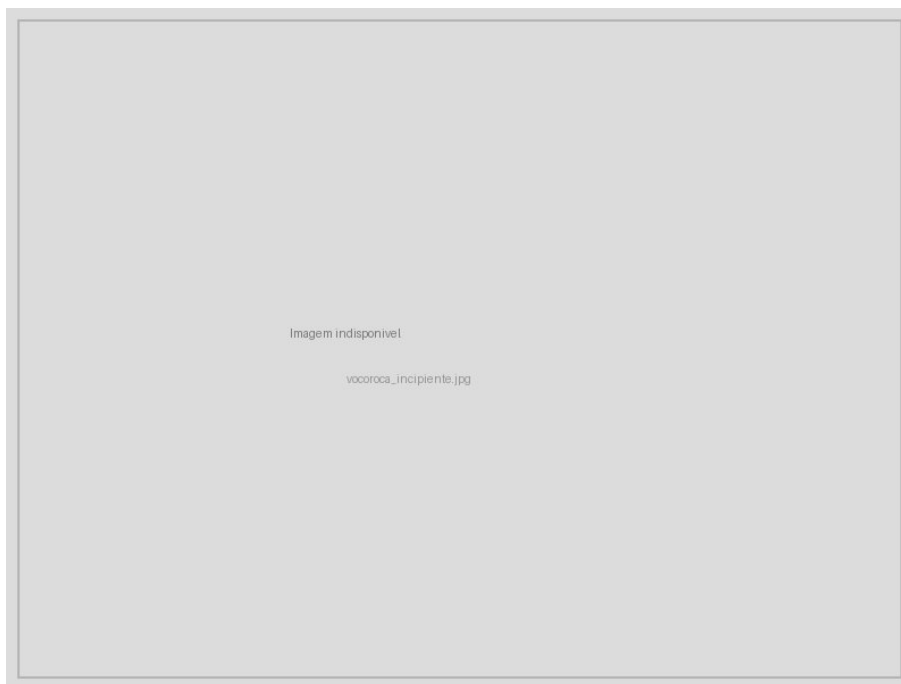


Figura 5.3.: Voçoroca incipiente — estágio inicial de formação, quando a ravina começa a ampliar-se e aprofundar-se, ainda passível de controle por técnicas combinadas de bioengenharia.

O tratamento de voçorocas ativas exige um projeto integrado que combine drenagem superficial (desvio das águas de contribuição), drenagem subsuperficial (interceptação de *pipes*), estabilização mecânica das paredes (gabiões vivos, paredes Krainer, retaludamento) e revegetação progressiva. Abordagens pontuais ou parciais tendem ao fracasso, pois os processos atuantes são múltiplos e interconectados.

5.4. Mecanismos de Erosão

O processo erosivo envolve três fases sequenciais cujo entendimento é fundamental para projetar intervenções eficazes.

5.4.1. 1. Desprendimento (*Detachment*)

O impacto das gotas de chuva (*splash*) é o principal agente de desprendimento de partículas de solo. Para dimensionar essa magnitude, considere que uma gota de 5 mm de diâmetro (comum em chuvas convectivas tropicais) atinge o solo a aproximadamente 9 m/s, exercendo pressão instantânea de até 6 MPa (equivalente a cerca de 60 atmosferas), força suficiente para desagregar partículas e projetá-las a mais de 1 metro de distância. Uma chuva tropical intensa pode gerar milhares de impactos por centímetro quadrado por hora.

A taxa de desprendimento é função da energia cinética da chuva:

$$D_r = K_I \cdot I^2$$

onde D_r é a taxa de desprendimento ($\text{kg m}^{-2} \text{s}^{-1}$), K_I é a erodibilidade intergoticular (propriedade do solo) e I é a intensidade da chuva (mm h^{-1}). O expoente quadrático indica que a duplicação da intensidade da chuva quadruplica o desprendimento, o que explica por que as chuvas tropicais de curta duração e alta intensidade são tão erosivas.

A proteção contra o desprendimento é a primeira linha de defesa da bioengenharia. A cobertura vegetal (viva ou morta) intercepta as gotas de chuva antes que atinjam o solo, eliminando o efeito *splash*. Uma cobertura de 70% da superfície reduz o desprendimento em mais de 90%.

5.4.2. 2. Transporte

As partículas desprendidas são transportadas pelo escoamento superficial. A capacidade de transporte (T_c) determina a quantidade máxima de sedimento que o fluxo pode carregar e depende diretamente da velocidade e da profundidade do escoamento:

$$T_c = k_t \cdot \tau^{1.5}$$

onde τ é a tensão cisalhante do fluxo (que depende da velocidade, profundidade e declividade do escoamento) e k_t é um coeficiente empírico que varia com o tamanho das partículas do solo. Essa equação revela que a redução da velocidade do escoamento (por meio de obstáculos como paliçadas, cordões vegetativos ou bacias de contenção) é a estratégia mais eficaz para limitar o transporte de sedimentos.

5.4.3. 3. Deposição

Quando a capacidade de transporte diminui (por redução de velocidade ou declividade), as partículas em suspensão são depositadas. A deposição é seletiva quanto ao tamanho das partículas: partículas grossas (areia) são depositadas primeiro, seguidas por partículas intermediárias (silte), enquanto partículas finas (argila) podem ser transportadas por quilômetros até atingir corpos d'água. Esse fenômeno de seletividade granulométrica explica por que as paliçadas e bacias de sedimentação são eficazes para reter areia e silte, mas têm eficácia limitada para argila em suspensão.

5.5. Erosão em Regiões Tropicais

A erosão nas regiões tropicais apresenta particularidades que a distinguem dos processos erosivos em outras zonas climáticas e que devem ser consideradas no projeto de bioengenharia. A Figura 5.4 ilustra um mapa de susceptibilidade à erosão, ferramenta fundamental para o planejamento espacial das intervenções.



Figura 5.4.: Mapa de susceptibilidade à erosão e capacidade de uso do solo — ferramenta fundamental para planejamento de intervenções de bioengenharia.

Mapas como o da Figura 5.4 são construídos a partir do cruzamento de informações topográficas (modelo digital de elevação), pedológicas (classes de solo e erodibilidade), climáticas (erosividade da chuva) e de uso do solo (cobertura vegetal), e permitem identificar as áreas prioritárias para intervenção (hotspots erosivos) e dimensionar as técnicas mais adequadas para cada zona.

! Particularidades tropicais

Nas regiões tropicais, quatro fatores condicionam a intensidade e a dinâmica dos processos erosivos. Primeiro, a elevada erosividade das chuvas, com EI_{30} superior a 10.000 MJ mm ha⁻¹ h⁻¹ ano⁻¹ (contra 1.000–3.000 em zonas temperadas), concentrada em poucos meses da estação chuvosa. Segundo, os solos com coesão aparente, que se mostram estáveis quando secos mas colapsam quando saturados, gerando rupturas súbitas e imprevisíveis. Terceiro, a ocorrência frequente de erosão subsuperficial (*piping*), especialmente em solos com gradiente textural (Argissolos) ou com camadas de impedimento (Plintossolos), que gera túneis subterrâneos cujo colapso forma ravinas e voçorocas. Quarto, os ciclos repetitivos de umedecimento e secagem, que causam fissuração superficial, criando caminhos preferenciais para infiltração concentrada e acelerando a desagregação do solo.

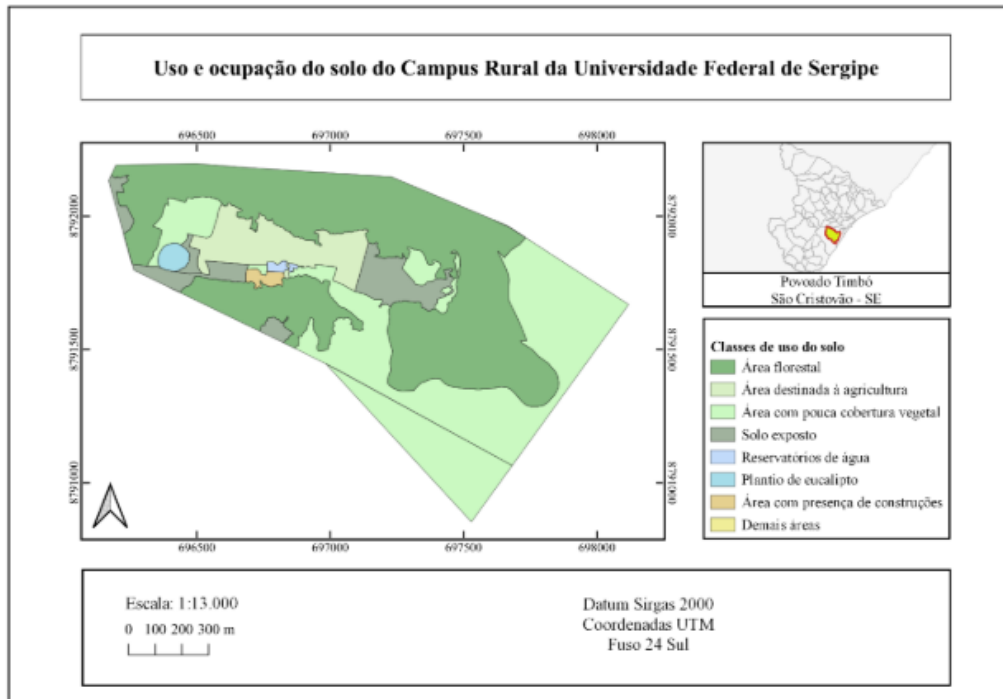


Figura 5.5.: Mapa de uso e cobertura do solo — classificação das categorias de uso da terra que alimenta o fator C da RUSLE e o parâmetro CN do método SCS, essenciais para o dimensionamento de intervenções de bioengenharia.

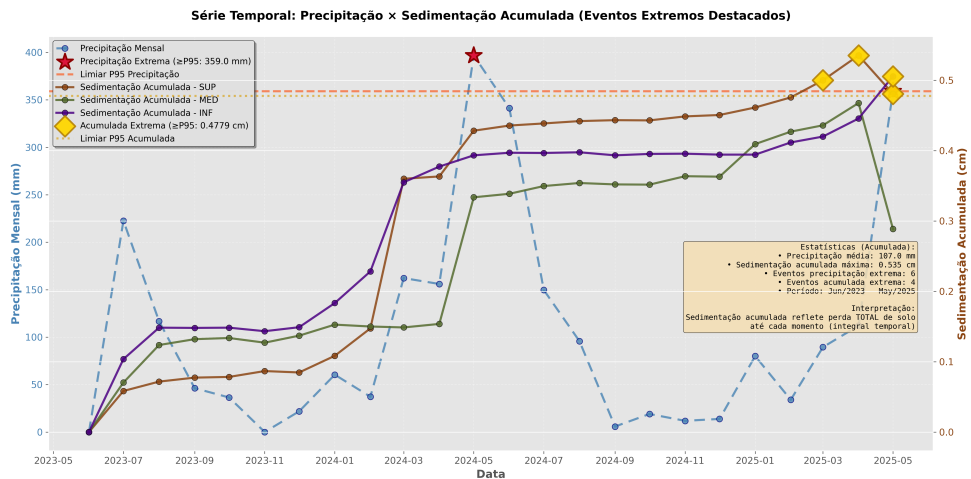


Figura 5.6.: Eventos climáticos extremos e erosão — a intensificação de chuvas convectivas tropicais aumenta a erosividade e a frequência de rupturas em encostas e margens fluviais.

5.6. Erosão Marginal

Em regiões tropicais, a erosão das margens fluviais é um processo crítico que afeta diretamente comunidades ribeirinhas, áreas agrícolas, infraestrutura viária e ecossistemas ripários. O mecanismo envolve o solapamento da base da margem pelo fluxo do rio (que remove material na zona de contato com a água), seguido pelo desabamento gravitacional do bloco superior, ciclo que se repete a cada cheia. O Baixo São Francisco (SE/AL), por exemplo, perde em média 2 a 5 metros de margem por ano, com registro de trechos onde a erosão atingiu 10 m/ano, resultando em perda de terras agriculturáveis, destruição de residências e desestabilização de rodovias.

A bioengenharia de solos oferece soluções específicas para erosão marginal, combinando retaludamento (suavização do ângulo da margem para estabilização geométrica), enrocamento vegetado na base da margem (resistência mecânica à abrasão pelo fluxo com enraizamento progressivo) e revegetação ciliar no topo do talude (ancoragem radicular e interceptação de escoamento superficial). Essas técnicas serão detalhadas nos capítulos sobre gabiões vivos ([?@sec-gabiao-vivo](#)), paredes Krainer ([?@sec-parede-krainer](#)) e revegetação ([?@sec-revegetacao](#)).

5.7. Tolerância de Perda de Solo

A tolerância de perda de solo (T) é um conceito fundamental para justificar a necessidade de intervenções de bioengenharia. Trata-se da taxa máxima de erosão compatível com a manutenção da produtividade do solo em longo prazo, ou seja, a taxa na qual a formação de novo solo (por intemperismo) equilibra a perda por erosão.

Tabela 5.3.: Tolerância de perda de solo para classes de solos tropicais (Bertoni & Lombardi Neto, 2017).

Classe de solo	T (t ha ⁻¹ ano ⁻¹)	Justificativa
Solos profundos (Latosolos)	9–12	Manto espesso permite maior perda sem comprometer a raiz
Solos moderadamente profundos	5–9	Equilíbrio entre profundidade e taxa de formação
Solos rasos (Neossolos)	2–5	Qualquer perda compromete rapidamente a capacidade produtiva

Quando a perda atual (A , calculada pela RUSLE ou medida em parcelas experimentais) excede a tolerância (T), intervenções de bioengenharia são necessárias para evitar a degradação irreversível do recurso solo. Essa relação $A > T$ é o critério técnico que fundamenta a recomendação de intervenção e orienta o dimensionamento das técnicas de controle, cuja intensidade deve ser proporcional ao excedente $A - T$.

6. Importância da Classificação

Classificação de Feições Erosivas {#sec-classificacao-feicoes}

A classificação precisa das feições erosivas é o primeiro passo para o dimensionamento de intervenções de bioengenharia. Sem uma classificação rigorosa, corre-se o risco de subdimensionar o tratamento (aplicar uma solução simples a um problema complexo, resultando em falha) ou de superdimensioná-lo (gastar recursos desnecessários com técnicas sofisticadas onde uma solução simples bastaria). Uma ravina de cabeceira com 0,5 m de profundidade demanda técnicas completamente diferentes de uma voçoroca com 8 m de profundidade e contribuição do lençol freático, embora ambas sejam “feições erosivas”.

O mapeamento das feições erosivas pode ser realizado por diferentes métodos, desde o reconhecimento visual em campo até o uso de tecnologias de sensoriamento remoto. A Figura 6.1 demonstra a capacidade dos sistemas RPAS (Remotely Piloted Aircraft Systems, popularmente chamados drones) para identificar e mapear feições erosivas com resolução espacial centimétrica.

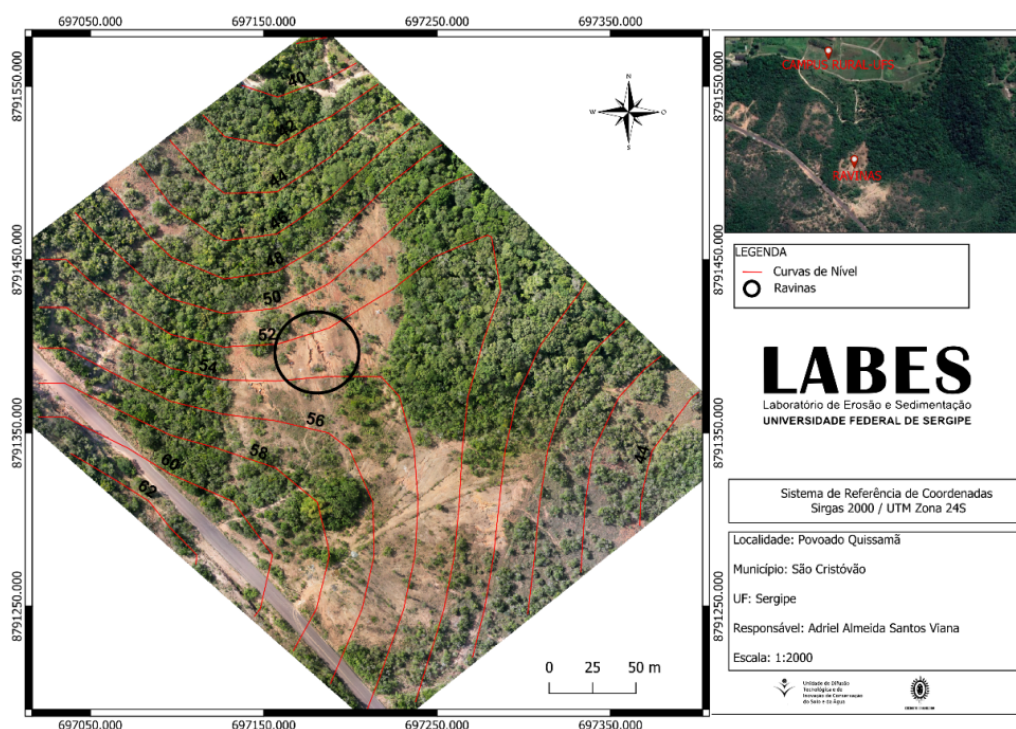


Figura 6.1.: Visão aérea de feições erosivas — o mapeamento por RPAS permite identificar e classificar ravinas com precisão espacial centimétrica.

A partir de imagens como a da Figura 6.1, é possível extrair informações geométricas detalhadas (largura, profundidade, comprimento, área da seção transversal) que alimentam os sistemas de classificação e orientam a seleção de técnicas de bioengenharia.

6.1. Elementary Gully Classification (EGC)

O sistema Elementary Gully Classification (EGC) é uma abordagem sistemática que permite classificar feições erosivas com base em suas características geométricas e hidráulicas, utilizando dados obtidos por levantamento topográfico convencional, GNSS de precisão ou sensoriamento remoto (drone/VANT). A vantagem do EGC é fornecer critérios quantitativos e objetivos para distinguir entre classes de feições, substituindo classificações subjetivas baseadas apenas na impressão visual do observador.

6.1.1. Parâmetros Geométricos

Para classificar uma feição erosiva pelo EGC, é necessário medir seis parâmetros fundamentais, descritos na Tabela 6.1. Esses parâmetros podem ser obtidos tanto em campo (com trena, nível óptico ou estação total) quanto a partir do modelo digital de superfície gerado por levantamento com drone.

Tabela 6.1.: Parâmetros geométricos para classificação de feições erosivas.

Parâmetro	Símbolo	Descrição	Como medir
Largura	W	Distância entre bordas (m)	Trena ou perfil transversal do MDS
Profundidade	D	Distância vertical da borda ao fundo (m)	Mira topográfica ou diferença altimétrica do MDS
Comprimento	L	Extensão longitudinal (m)	Trena ou polyline sobre ortomosaico
Área da seção	A_s	Área da seção transversal (m ²)	Cálculo por integração do perfil
Razão W/D	—	Indicador da forma da seção (V, U ou trapezoidal)	Divisão de W por D
Declividade do fundo	S_f	Gradiente longitudinal (%)	Nível óptico ou perfil longitudinal do MDT

A razão W/D é particularmente informativa. Feições com $W/D < 1$ (mais profundas que largas) indicam erosão concentrada ativa com aprofundamento dominante, enquanto feições com $W/D > 3$ (mais largas que profundas) sugerem alargamento por desabamento das paredes, frequentemente associado à contribuição do lençol freático. Essa distinção orienta a seleção de técnicas: feições profundas e estreitas respondem bem a paliçadas e check-dams, enquanto feições largas e rasas demandam tratamento de paredes (retaludamento, biomantas, revegetação).

6.1.2. Classificação por Dimensões

A Tabela 6.2 apresenta os critérios dimensionais para cada classe de feição erosiva. Os limites entre classes não são arbitrários; refletem transições nos processos dominantes e, conseqüentemente, nas técnicas de controle recomendadas.

Tabela 6.2.: Classificação de feições erosivas por dimensões e processo dominante.

Classe	Profundidade	Largura	Área de seção	Processo dominante
Sulco	< 0,3 m	< 0,3 m	< 0,09 m ²	Escoamento difuso concentrado
Ravina pequena	0,3–1,0 m	0,3–1,0 m	0,09–1,0 m ²	Escoamento concentrado com incisão
Ravina média	1,0–3,0 m	1,0–5,0 m	1,0–15 m ²	Escoamento concentrado + solapamento
Ravina grande	3,0–5,0 m	5,0–15 m	15–75 m ²	Múltiplos processos superficiais
Voçoroca	> 5,0 m	> 15 m	> 75 m ²	Superficial + subsuperficial + gravitacional

6.2. Levantamento com VANT (Drone)

O uso de Veículos Aéreos Não Tripulados (VANT/drone) revolucionou o levantamento de feições erosivas nas últimas duas décadas. Antes dos drones, o mapeamento detalhado de ravinas e voçorocas exigia levantamentos topográficos de campo laboriosos, custosos e, em muitos casos, perigosos (trabalhar dentro de voçorocas ativas envolve risco de desabamento). Com os drones, é possível obter modelos tridimensionais de alta resolução a partir de sobrevoos de poucos minutos, sem expor operadores a riscos.

As imagens a seguir ilustram dois aspectos complementares do levantamento. A Figura 6.2 mostra o detalhe de uma ravina em resolução que permite medir os parâmetros geométricos da Tabela 6.1 diretamente no modelo digital, enquanto a Figura 6.3 revela os horizontes do solo expostos pela erosão, informação essencial para dimensionar a profundidade de ancoragem das estruturas de bioengenharia.



Figura 6.2.: Detalhe de ravina — parâmetros geométricos podem ser medidos em campo ou pelo modelo digital gerado por drone.

Figura 6.3.: Perfil de solo exposto pela erosão — a análise dos horizontes auxilia no dimensionamento das intervenções.

6.2.1. Fluxo de Trabalho com VANT

O levantamento com VANT segue uma sequência operacional padronizada em cinco etapas. A primeira etapa é o planejamento de voo, no qual se define a área de cobertura, a altitude de

6. Importância da Classificação

voos (tipicamente 50–100 m acima do terreno, resultando em resolução de 1–3 cm/pixel) e a sobreposição entre imagens (mínimo de 80% frontal e 60% lateral para garantir a reconstrução tridimensional). A segunda etapa é a distribuição de pontos de controle (GCPs, *Ground Control Points*), que são alvos georreferenciados com GNSS RTK (precisão centimétrica) distribuídos pela área de interesse para garantir a acurácia posicional do modelo.

A terceira etapa é o processamento fotogramétrico, realizado por softwares de *Structure from Motion* (SfM) como Agisoft Metashape, OpenDroneMap ou Pix4D, que reconstróem a geometria tridimensional da cena a partir da sobreposição das centenas de fotografias obtidas pelo drone. O resultado é uma nuvem densa de pontos tridimensionais com milhões de coordenadas XYZ. A quarta etapa é a geração de produtos cartográficos, incluindo o ortomosaico (imagem georreferenciada em projeção ortogonal), o MDS (Modelo Digital de Superfície, que inclui a vegetação), o MDT (Modelo Digital do Terreno, obtido pela filtragem da vegetação) e as curvas de nível. Por fim, a quinta etapa é a análise geomorfológica, na qual se extraem seções transversais das feições, calculam-se volumes de perda ou deposição de solo por diferença de MDTs multitemporais e se quantificam taxas de recuo de cabeceira e de alargamento lateral.

6.3. Seleção de Técnicas por Classe

A classificação da feição erosiva orienta diretamente a seleção das técnicas de bioengenharia, conforme sintetizado na Tabela 22.2. A lógica é progressiva: quanto maior e mais complexa a feição, maior o número e a sofisticação das técnicas combinadas.

Tabela 6.3.: Seleção de técnicas de bioengenharia por classe de feição erosiva.

Classe	Técnica primária	Técnica complementar
Sulco	Cobertura vegetal, palhada	Cordões vegetativos
Ravina pequena	Paliçadas de bambu	Revegetação
Ravina média	Paliçadas + check-dams	Hidrossemeadura
Ravina grande	Gabião vivo	Biomantas + drenagem
Voçoroca	Projeto integrado (retaludamento + drenagem + gabião + revegetação)	Parede Krainer, enrocamento

Regra prática

Quanto maior a feição erosiva, maior a necessidade de combinação de técnicas e de um projeto integrado que considere drenagem, estabilização mecânica e revegetação simultaneamente. Feições pequenas (sulcos e ravinas pequenas) podem ser tratadas com uma única técnica, enquanto voçorocas sempre exigem projeto multidisciplinar envolvendo drenagem, estabilização e revegetação coordenadas.

6.4. Monitoramento Temporal

O monitoramento periódico das feições erosivas é essencial para avaliar a eficácia das intervenções de bioengenharia e tomar decisões de manutenção ou reforço. Sem monitoramento, é impossível saber se a intervenção está funcionando até que uma eventual falha se manifeste de forma

catastrófica. A frequência mínima recomendada é trimestral durante os dois primeiros anos após a implantação e semestral a partir do terceiro ano.

Os indicadores-chave que devem ser medidos em cada campanha de monitoramento são a taxa de recuo da cabeceira (m/ano, esperando-se estabilização ou redução progressiva), a taxa de alargamento lateral (m/ano, que indica se as paredes estão sendo estabilizadas), o volume de sedimento retido nas estruturas (m³, medido pela diferença de cota a montante das paliçadas ou check-dams), a cobertura vegetal no interior da feição (%), que deve aumentar progressivamente) e a estabilidade das paredes laterais (ângulo do talude, monitorado por seções transversais).

A comparação de MDTs obtidos por drone em campanhas sucessivas permite calcular com precisão os volumes de perda e deposição de solo, identificando espacialmente as zonas ativas (ainda em erosão) e as zonas estabilizadas (com deposição e revegetação), orientando ações corretivas focalizadas.

6.5. Tecnologias Emergentes de Monitoramento

O avanço das tecnologias de sensoriamento e comunicação sem fio ampliou significativamente o arsenal de ferramentas disponíveis para o monitoramento de feições erosivas e da eficácia de intervenções de bioengenharia. Três tecnologias emergentes merecem destaque por seu potencial de aplicação em condições tropicais.

6.5.1. Sensores IoT para Monitoramento Contínuo

A Internet das Coisas (*Internet of Things*, IoT) permite a instalação de redes de sensores autônomos em campo, capazes de transmitir dados em tempo real via rede celular (GSM/4G), LoRaWAN ou satélite. Em projetos de bioengenharia, sensores de umidade volumétrica do solo (TDR ou capacitivos) instalados em diferentes profundidades ao longo de perfis transversais à feição erosiva permitem monitorar continuamente a frente de umedecimento durante eventos de chuva, identificando o momento em que a saturação atinge a zona crítica de ruptura. Piezômetros automatizados registram a variação do nível do lençol freático com resolução temporal de minutos, dado essencial para a previsão de instabilidades em voçorocas com contribuição de água subterrânea. Inclinômetros MEMS (*Micro-Electro-Mechanical Systems*) detectam deslocamentos milimétricos nas paredes laterais de feições erosivas, funcionando como sistemas de alerta precoce para desabamentos. Pluviógrafos de balança conectados à mesma rede permitem correlacionar diretamente a intensidade da chuva com a resposta hidrológica do solo monitorado, alimentando modelos preditivos de erosão em tempo real.

A Tabela 6.4 sintetiza os sensores recomendados para um sistema de monitoramento IoT aplicado a projetos de bioengenharia.

Tabela 6.4.: Sensores IoT para monitoramento de projetos de bioengenharia.

Sensor	Variável medida	Resolução	Aplicação
TDR ou capacitivo	Umidade volumétrica (%)	±1%	Frente de umedecimento, infiltração
Piezômetro vibrating wire	Nível piezométrico (m)	±1 mm	Poropressão, lençol freático
Inclinômetro MEMS	Deslocamento angular (°)	±0,001°	Movimento de massa, alerta precoce

6. Importância da Classificação

Sensor	Variável medida	Resolução	Aplicação
Pluviógrafo de báscula	Precipitação (mm)	0,2 mm	Correlação chuva-resposta erosiva
Sensor de turbidez óptico	Sedimento em suspensão (NTU)	±2 NTU	Carga sólida no exutório

6.5.2. LiDAR Terrestre e Aerotransportado

O LiDAR (*Light Detection and Ranging*) complementa a fotogrametria SfM com a capacidade de penetrar a cobertura vegetal, gerando modelos digitais de terreno (MDT) sob dosséis florestais fechados, situação em que a fotogrametria óptica é incapaz de reconstruir a superfície do solo. Em feições erosivas sob regeneração vegetal avançada, o LiDAR aerotransportado por drone (resolução de 5–20 pontos/m²) permite quantificar volumes de preenchimento e deposição que seriam invisíveis por fotogrametria, sendo particularmente útil no monitoramento de médio e longo prazo (anos 3–10 após a intervenção). O LiDAR terrestre (TLS, *Terrestrial Laser Scanner*), com resolução milimétrica (> 1.000 pontos/m²), é a ferramenta de maior precisão para quantificar taxas de recuo de cabeceira e evolução de seções transversais, funcionando como referência para calibração dos demais métodos.

6.5.3. Sensoriamento Distribuído por Fibra Óptica

A tecnologia de sensoriamento distribuído por fibra óptica (DFOS, *Distributed Fiber Optic Sensing*) permite monitorar deformações, temperatura e umidade ao longo de cabos de fibra óptica enterrados no maciço de solo, com resolução espacial de 0,5–1,0 m e extensão de até 10 km por canal. Em estruturas de bioengenharia de grande porte (gabiões vivos, paredes Krainer), a fibra óptica instalada durante a construção funciona como um “sistema nervoso” da estrutura, detectando deformações diferenciais, variações de temperatura associadas a fluxo preferencial de água (piping) e mudanças de umidade que indicam saturação localizada. Embora o custo atual do sistema de aquisição (interrogador óptico, R\$ 80.000–200.000) limite sua aplicação a obras de grande responsabilidade (barragens, encostas urbanas), a tendência de redução de custos torna essa tecnologia cada vez mais acessível para projetos de pesquisa e monitoramento de referência.

i Integração de dados

A convergência dessas tecnologias em plataformas de gestão de dados geoespaciais (como GeoNode, QGIS Server ou Google Earth Engine) permite a criação de painéis de monitoramento (*dashboards*) que integram dados de sensores IoT, produtos de sensoriamento remoto (drone, LiDAR, satélite) e modelos hidrológicos em uma interface única de tomada de decisão, viabilizando a gestão adaptativa preconizada pelos critérios IUCN para NBS (ver ?@sec-nbs).

Parte II.

Parte II — Técnicas de Bioengenharia

7. Princípios da Revegetação

Revegetação e Espécies para Bioengenharia {#sec-revegetacao}

A revegetação é a técnica fundamental e mais antiga da bioengenharia de solos. Enquanto estruturas como paliçadas, gabiões e paredes Krainer oferecem estabilização mecânica imediata, é a vegetação que assegura a proteção em longo prazo, transformando progressivamente uma superfície vulnerável em um sistema autossustentável. Por essa razão, todas as demais técnicas de bioengenharia são, em última análise, projetadas para criar condições favoráveis ao estabelecimento vegetal.

O sistema radicular é o componente-chave dessa proteção. A Figura 7.1 apresenta o sistema radicular do vetiver (*Vetiveria zizanioides*), considerado o padrão de referência em bioengenharia tropical, cujas raízes podem ultrapassar 3 m de profundidade em solos bem drenados.

Conforme ilustrado na Figura 7.1, a densidade e a profundidade das raízes do vetiver criam uma malha tridimensional que reforça mecanicamente o solo. As plantas protegem o solo por seis mecanismos simultâneos e complementares. A interceptação da energia cinética das gotas de chuva pela copa e pelas folhas reduz em até 90% o impacto direto sobre a superfície, eliminando o efeito *splash* (desprendimento por impacto). A proteção superficial pelo acúmulo de serrapilheira (folhas mortas, restos vegetais) cria uma camada amortecedora que reduz a velocidade do escoamento e protege os agregados do solo contra desagregação. O reforço radicular aumenta a coesão do solo em 5–40 kPa, conforme demonstrado pelo modelo de Wu-Waldron discutido no ?@sec-solos-tropicais, sendo o incremento proporcional à densidade e à resistência à tração das raízes. A drenagem biológica por evapotranspiração remove água do solo, reduzindo a poropressão e aumentando a tensão efetiva, o que estabiliza encostas suscetíveis a deslizamentos. A criação de macroporos pelo crescimento e pela decomposição das raízes eleva a permeabilidade do solo em 2 a 10 vezes, favorecendo a infiltração (que reduz o escoamento superficial) e melhorando a drenagem interna. Por fim, as raízes pivotantes ancoram camadas superficiais instáveis a substratos estáveis em profundidade, funcionando como tirantes naturais.

7.1. Seleção de Espécies

A seleção de espécies para bioengenharia é uma decisão de engenharia, não apenas uma escolha paisagística. Cada espécie possui características funcionais (profundidade e arquitetura radicular, velocidade de cobertura, tolerância a estresses) que devem ser compatibilizadas com as condições do sítio (tipo de solo, declividade, regime hídrico, clima).

7.1.1. Critérios Técnicos

Do ponto de vista técnico, cinco critérios devem ser avaliados simultaneamente. O sistema radicular é o mais importante e deve ser compatível com a função desejada (fasciculado para reforço da camada superficial 0–50 cm, ou pivotante para ancoragem profunda > 1 m). A velocidade de estabelecimento determina o tempo de exposição do solo à erosão desprotegida; espécies que cobrem mais de 80% da superfície em 60–90 dias (como braquiária e vetiver) são



Figura 7.1.: Sistema radicular de vetiver — raízes profundas que conferem coesão e ancoragem ao solo, mecanismo fundamental da revegetação em bioengenharia.

7. Princípios da Revegetação

preferidas para proteção emergencial. A tolerância a estresses (déficit hídrico, encharcamento temporário, solos ácidos com pH 4–5, baixa fertilidade) é fundamental em solos tropicais degradados, onde as condições raramente são favoráveis. A capacidade de regeneração após corte, pastejo ou dano mecânico (por enxurrada, por exemplo) determina a resiliência da cobertura ao longo do tempo. A produção de biomassa para ciclagem de nutrientes e formação de cobertura morta é especialmente importante em solos com baixa CTC, que dependem da matéria orgânica para reter nutrientes.

7.1.2. Critérios Ecológicos

Sob a perspectiva ecológica, deve-se priorizar espécies nativas ou naturalizadas não invasoras, considerando o bioma e o tipo de vegetação local (Caatinga, Cerrado, Mata Atlântica). A legislação ambiental brasileira exige o uso de espécies nativas em áreas de preservação permanente (APP) e reserva legal (RL), o que restringe o uso de gramíneas exóticas como a braquiária nesses contextos. É essencial evitar espécies com histórico de invasão biológica (como *Leucaena leucocephala* em ilhas oceânicas) e promover a diversidade funcional pela combinação de gramíneas (cobertura rápida), leguminosas (fixação de nitrogênio), arbustos (cobertura intermediária) e árvores (ancoragem profunda e sombreamento).

7.2. Espécies Recomendadas para Regiões Tropicais

7.2.1. Gramíneas e Leguminosas Herbáceas

A Tabela 7.1 apresenta as principais espécies herbáceas utilizadas em projetos de bioengenharia em regiões tropicais, com destaque para suas características radiculares e aplicações.

Tabela 7.1.: Gramíneas e leguminosas para bioengenharia em regiões tropicais.

Espécie	Nome popular	Sistema radicular	Uso principal
<i>Vetiveria zizanioides</i>	Vetiver	Fasciculado profundo (3–4 m)	Barreiras vivas, taludes
<i>Paspalum notatum</i>	Grama batatais	Fasciculado/estolonífero	Cobertura geral
<i>Brachiaria decumbens</i>	Braquiária	Fasciculado denso	Cobertura rápida
<i>Stylosanthes guianensis</i>	Estilosantes	Pivotante + fixação N	Recuperação de fertilidade
<i>Cajanus cajan</i>	Guandu	Pivotante profundo	Subsolagem biológica
<i>Arachis pintoi</i>	Amendoim forrageiro	Estolonífero	Cobertura sombreada

Destaque: Vetiver

O vetiver (*Vetiveria zizanioides*) é considerado a planta ideal para bioengenharia tropical. Suas raízes podem atingir 4 m de profundidade, com resistência à tração de 40–120 MPa (comparável a fios de aço fino). A planta tolera pH entre 3 e 11, suporta tanto seca prolongada quanto encharcamento temporário, e suas barreiras vivas reduzem a velocidade do escoamento em 60–70%. Por não produzir sementes viáveis fora do seu centro de origem

(Índia), não apresenta risco de invasão biológica.

7.2.2. Espécies Arbóreas e Arbustivas

Para intervenções que exigem ancoragem profunda e proteção em longo prazo (margens fluviais, taludes de grande porte, áreas de preservação permanente), espécies arbóreas e arbustivas complementam as gramíneas conforme descrito na Tabela 7.2.

Tabela 7.2.: Espécies arbóreas para bioengenharia.

Espécie	Nome popular	Bioma	Uso principal
<i>Mimosa caesalpiniiifolia</i>	Sabiá	Caatinga	Estacas vivas, cercas
<i>Gliricidia sepium</i>	Gliricídia	Pantropical	Estacas vivas, sombreamento
<i>Leucaena leucocephala</i>	Leucena	Pantropical	Recuperação de fertilidade
<i>Schinus terebinthifolius</i>	Aroeira	Mata Atlântica	Mata ciliar
<i>Inga edulis</i>	Ingá	Amazônia/Mata Atlântica	Sombreamento, fixação N

7.2.3. Fibras Vegetais para Bioengenharia

Além de seu papel direto na proteção do solo, as plantas tropicais fornecem fibras que são a matéria-prima de geotêxteis, biomantas e geocompostos biodegradáveis (abordados em detalhe nos capítulos sobre geotêxteis e biotêxteis). A Tabela 7.3 compara as propriedades mecânicas das principais fibras vegetais tropicais.

Tabela 7.3.: Fibras vegetais tropicais e suas propriedades mecânicas.

Espécie	Fibra	Resistência à tração (MPa)	Aplicação
<i>Agave sisalana</i>	Sisal	400–700	Geotêxteis, cordas
<i>Cocos nucifera</i>	Coco	95–230	Biomantas, fibras
<i>Typha domingensis</i>	Taboa	60–120	Geotêxteis, Bio-SAP
<i>Boehmeria nivea</i>	Rami	400–938	Reforço de geocompostos
<i>Musa</i> spp.	Bananeira	54–136	Geodrenos

7.3. Métodos de Implantação

A escolha do método de implantação depende da espécie selecionada, da acessibilidade do terreno, da declividade, da extensão da área e do orçamento disponível. Cada método possui vantagens, limitações e faixa de custo específicas.

7.3.1. Plantio Direto

A semeadura direta consiste na deposição manual (a lanço ou em linhas) ou mecanizada (semeadeira) de sementes diretamente sobre o solo previamente preparado. É o método mais indicado para gramíneas de cobertura rápida (*Brachiaria*, *Paspalum*) e leguminosas herbáceas (*Stylosanthes*, *Cajanus*) em áreas planas a suavemente onduladas (declividade < 20%) com acesso a máquinas ou mão de obra local. O custo varia entre R\$ 800 e R\$ 2.000/ha, dependendo da espécie e da densidade de semeadura. A principal limitação é a vulnerabilidade das sementes ao impacto das gotas de chuva e ao escoamento superficial antes da germinação, o que exige preferencialmente semeadura no início da estação chuvosa e, sempre que possível, cobertura com mulch ou palhada.

7.3.2. Plantio de Mudras

O transplante de mudras produzidas em viveiro é o método indicado para espécies arbóreas e arbustivas, que possuem sementes de germinação lenta ou irregular e que requerem um porte inicial mínimo para sobreviver às condições adversas do campo. É especialmente utilizado em projetos de recomposição de mata ciliar (APP), revegetação de áreas de mineração e recobrimento de taludes de grande porte. O custo varia entre R\$ 3.000 e R\$ 8.000/ha (incluindo produção ou aquisição de mudras, transporte, plantio e replantio), sendo o método mais oneroso, porém com maior taxa de sucesso para espécies arbóreas. Recomenda-se o uso de tubetes com substrato fertilizado e de gel hidrorretentores no plantio, especialmente em regiões semiáridas.

7.3.3. Estacas Vivas

A inserção de estacas vivas consiste em cortar segmentos de ramos de espécies com alta capacidade de enraizamento vegetativo (sabiá, gliricídia, salgueiro, ingá) e inseri-los diretamente no solo úmido, onde emitem raízes e brotações em 2–4 semanas. É um método versátil e econômico (R\$ 1.500 a R\$ 4.000/ha), indicado para encostas e taludes (onde as estacas são inseridas em ângulo de 45° para ancoragem), margens fluviais (estacas de salgueiro na zona de flutuação do nível d'água) e combinação com estruturas de bioengenharia (estacas inseridas em gabiões vivos, paredes Krainer e paliçadas). As estacas devem ter diâmetro entre 3 e 8 cm, comprimento de 50–100 cm, e ser inseridas com no mínimo 2/3 do comprimento enterrado. O corte deve ser feito durante o período de dormência (estação seca) para maximizar as reservas de carboidratos.

7.3.4. Hidrossemeadura

A hidrossemeadura é a projeção mecanizada de uma mistura aquosa de sementes, mulch, fertilizante e fixador sobre superfícies erodíveis. Por sua importância e complexidade operacional, é detalhada em capítulo próprio (**sec-hidrossemeadura**). É o método mais produtivo (até 5.000 m²/h) e é a escolha preferencial para taludes rodoviários, mineração e barragens.

7.4. Cuidados na Implantação

Atenção

O sucesso da revegetação depende fortemente do momento da implantação e dos cuidados pós-plantio. Recomenda-se plantar preferencialmente no início da estação chuvosa (quando o solo tem umidade suficiente para germinação, mas as chuvas mais intensas ainda não iniciaram) e proteger o solo imediatamente após a implantação com mulch ou biomanta. A taxa de cobertura deve ser monitorada nos primeiros 90 dias, sendo obrigatório o replantio quando a cobertura for inferior a 60% aos 60 dias. Em solos com baixa fertilidade ($CTC < 5 \text{ cmolc/kg}$), a adubação de arranque com NPK e matéria orgânica é indispensável para garantir o estabelecimento inicial.

8. Paliçadas

Paliçadas para Controle de Ravinas {#sec-palicanas}

As paliçadas são barreiras transversais permeáveis instaladas no interior de ravinas para reduzir a velocidade do escoamento, reter sedimentos e criar condições favoráveis ao estabelecimento vegetal. Trata-se da técnica mais simples e econômica de bioengenharia para controle de erosão concentrada, sendo frequentemente o primeiro recurso empregado em projetos de estabilização de ravinas em regiões tropicais.

O princípio de funcionamento é direto: ao interpor um obstáculo permeável no caminho do escoamento concentrado, a velocidade da água é reduzida imediatamente a montante da estrutura, o que diminui a tensão cisalhante e, conseqüentemente, a capacidade de transporte de sedimentos. As partículas em suspensão depositam-se progressivamente a montante da paliçada, gerando um assoreamento controlado que, ao longo de meses, cria patamares de sedimento que suavizam a declividade do fundo da ravina. Sobre esses patamares, a vegetação se estabelece espontaneamente (ou por plantio), completando a estabilização. A Figura 8.1 ilustra uma paliçada instalada em campo, onde é possível observar a estrutura transversal de bambu entrelaçado e a ancoragem nas paredes laterais da ravina.



Figura 8.1.: Paliçada instalada em ravina — barreira transversal permeável que retarda o escoamento e promove a deposição de sedimentos.

8.1. Materiais

A escolha do material para a paliçada depende da disponibilidade local, do custo e da durabilidade necessária. Em regiões tropicais, três materiais predominam.

8.1.1. Bambu

O bambu (*Bambusa* spp., *Dendrocalamus* spp.) é o material mais utilizado em regiões tropicais por combinar alta resistência à tração (100–400 MPa, comparável a aço de construção), disponibilidade abundante em propriedades rurais, baixo custo de aquisição, facilidade de corte, transporte e montagem em campo (sem necessidade de ferramentas especializadas) e durabilidade de 2–5 anos quando tratado com preservativos naturais (imersão em solução de sulfato de cobre ou tratamento por oclusão com bórax e ácido bórico). O bambu sem tratamento degrada-se em 6–12 meses em ambiente tropical úmido, período que pode ser suficiente para o estabelecimento vegetal em ravinas de pequeno porte.

8.1.2. Madeira Roliça

Troncos de eucalipto, pinus ou espécies nativas de rápido crescimento (como leucena ou gliricídia) oferecem maior resistência mecânica e durabilidade (3–8 anos sem tratamento, 10–15 anos com tratamento autoclave). São indicados para ravinas de médio a grande porte onde a pressão hidrostática exige maior robustez estrutural, mas seu custo e peso são superiores ao bambu.

8.1.3. Pedra Seca

Em regiões com disponibilidade de pedras (encostas serranas, leitos pedregosos de rios intermitentes), as paliçadas podem ser construídas com pedras empilhadas sem argamassa, combinando função de filtro (a permeabilidade entre as pedras permite a passagem da água enquanto retém sedimentos grossos), alta durabilidade (décadas), resistência a incêndios e nenhuma necessidade de manutenção. A desvantagem é o peso e a dificuldade de transporte em terrenos íngremes.

8.2. Dimensionamento

O dimensionamento de paliçadas envolve três cálculos fundamentais que determinam o espaçamento entre estruturas, a altura máxima e a capacidade de retenção de sedimentos.

8.2.1. Espaçamento entre Paliçadas

O espaçamento (E) entre paliçadas consecutivas deve garantir que a crista da paliçada a jusante esteja no mesmo nível que a base da paliçada a montante, criando uma sequência de patamares que, quando assoreados, eliminam o gradiente longitudinal original da ravina:

$$E = \frac{H}{S_f}$$

onde H é a altura efetiva da paliçada (porção acima do nível do fundo da ravina, em metros) e S_f é a declividade do fundo da ravina (em m/m, não em percentual). Por exemplo, para uma paliçada de 0,50 m de altura efetiva em uma ravina com declividade de 10% (0,10 m/m), o espaçamento será de 5,0 m.

8. Paliçadas

8.2.2. Altura Efetiva

A altura efetiva da paliçada não deve exceder um terço da profundidade da ravina na seção de instalação, garantindo que o escoamento possa transbordar pela crista sem gerar erosão lateral:

$$H_{max} = \frac{D}{3}$$

onde D é a profundidade da ravina (m). Paliçadas mais altas que $D/3$ geram represamento excessivo, com risco de erosão por contorno (a água contorna a estrutura pelas laterais, escavando as paredes da ravina) ou de ruptura por sobrecarga hidrostática.

8.2.3. Capacidade de Retenção

O volume de sedimento retido por uma paliçada pode ser estimado pela geometria do prisma trapezoidal que se forma a montante da estrutura:

$$V_r = \frac{E \cdot W \cdot H}{2}$$

onde W é a largura da ravina na posição da paliçada. Esse volume permite estimar o tempo de preenchimento e, conseqüentemente, a necessidade de manutenção ou substituição.

8.3. Construção

O processo de construção de uma paliçada de bambu é relativamente simples e pode ser executado por equipes de 2–4 trabalhadores com ferramentas manuais (enxada, facão, marreta). A Figura 8.2 ilustra as etapas de instalação em sequência.

8.3.1. Passo a Passo

Conforme mostrado na Figura 8.2, o procedimento inicia com a escavação de uma vala transversal perpendicular ao eixo da ravina, com profundidade igual à altura efetiva H (ou seja, metade da paliçada ficará enterrada, garantindo ancoragem contra tombamento e percolação por baixo). Em seguida, realiza-se o cravamento de estacas verticais de bambu ou madeira a cada 30–50 cm ao longo da vala, com cada estaca penetrando ao menos 30 cm abaixo do fundo da vala. O entrelaçamento de varas horizontais entre as estacas é feito alternando os lados (frente e trás), de forma análoga à tecelagem, criando uma estrutura flexível mas resistente. Após o entrelaçamento, compacta-se terra contra a face montante da paliçada para vedar a base e evitar percolação concentrada. As laterais são ancoradas nas paredes da ravina por pelo menos 50 cm de cada lado, com as varas horizontais embutidas em entalhes escavados nas paredes. Por fim, semeiam-se gramíneas a montante da paliçada para acelerar a cobertura vegetal sobre os sedimentos que serão depositados.

! Ponto crítico

As paliçadas devem ser ancoradas nas paredes laterais da ravina por pelo menos 50 cm de cada lado. A principal causa de falha em paliçadas é a erosão lateral por contorno da estrutura, que ocorre quando a água encontra caminho mais fácil pelas laterais do que

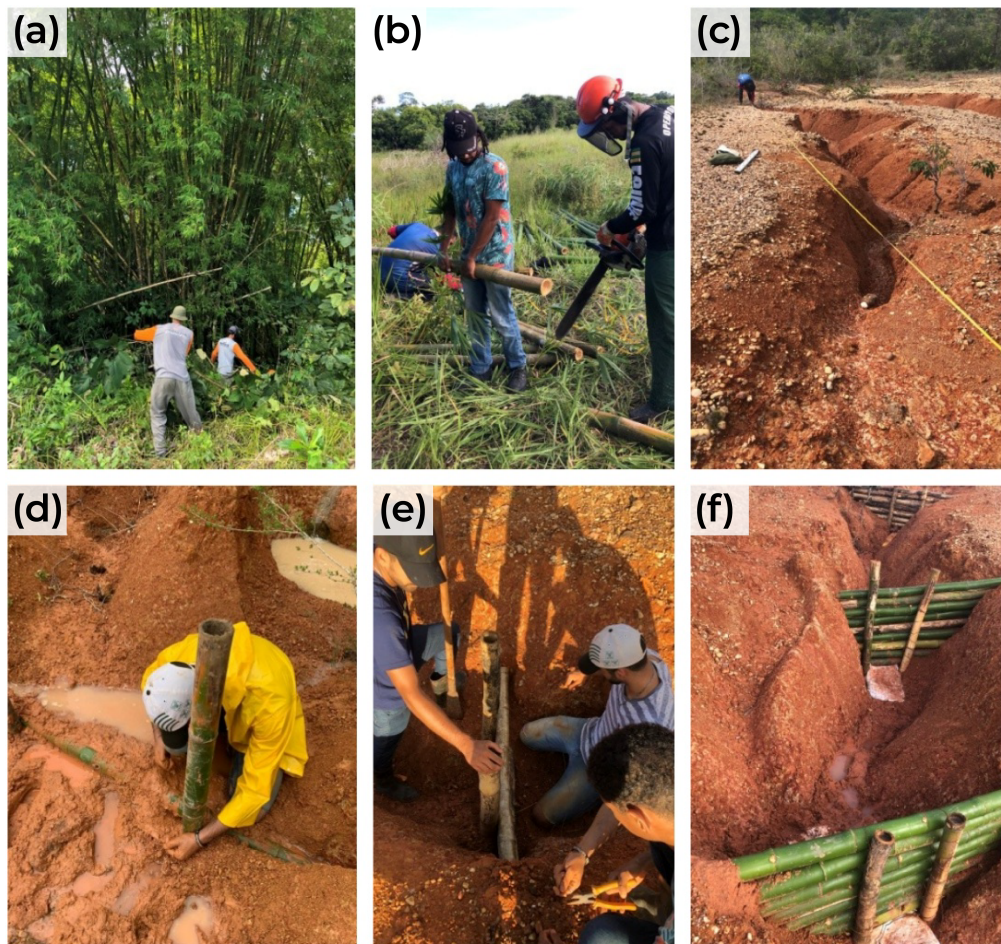


Figura 8.2.: Etapas de instalação de paliçadas em ravina — escavação, cravamento de estacas e entrelaçamento das varas.

8. Paliçadas

pelo corpo permeável da paliçada. A ancoragem insuficiente é um erro de projeto que compromete toda a intervenção.

8.4. Eficiência

Os dados de eficiência das paliçadas são essenciais para justificar tecnicamente a escolha dessa técnica em detrimento de alternativas mais caras. A Figura 8.3 apresenta a evolução temporal da retenção de sedimentos em uma sequência de paliçadas, demonstrando como o assoreamento progressivo cria patamares que estabilizam o perfil longitudinal da ravina.

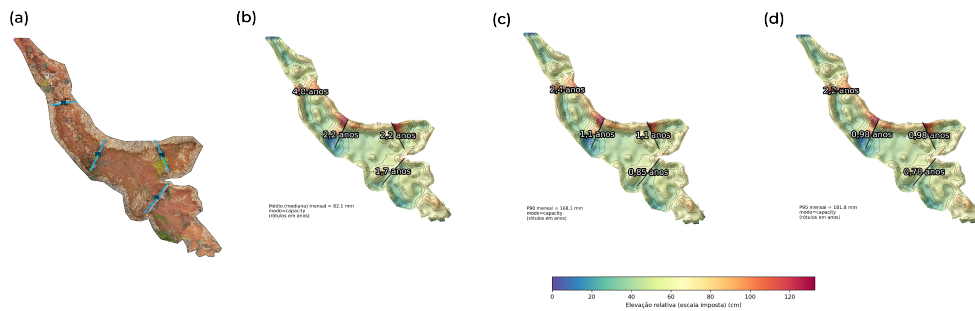


Figura 8.3.: Simulação temporal de retenção de sedimentos pelas paliçadas ao longo dos anos — o assoreamento progressivo cria patamares que estabilizam a ravina.



Figura 8.4.: Área de estudo — localização das paliçadas experimentais em ravinas nos Tabuleiros Costeiros de Sergipe.

Conforme observado na Figura 8.3, o processo de estabilização é progressivo. Estudos em Plintossolo degradado nos Tabuleiros Costeiros de Sergipe demonstraram resultados quantitativos expressivos: retenção de 76 cm de sedimento em 12 meses (paliçada de 1,0 m de altura), redução de 85% na velocidade do escoamento no interior da ravina e colonização vegetal espontânea a montante das paliçadas após 6 meses. A projeção de preenchimento total do espaço entre paliçadas

consecutivas estima-se entre 3 e 5 anos, período no qual a vegetação assume progressivamente a função de estabilização, realizando a transição funcional discutida no ?@sec-introducao.

8.5. Custos Comparativos

A viabilidade econômica das paliçadas de bambu em relação às alternativas convencionais (check-dams de alvenaria ou concreto) é uma das principais vantagens da técnica, conforme demonstrado na Tabela 8.1.

Tabela 8.1.: Comparativo de custos entre paliçadas de bambu e check-dams de alvenaria.

Item	Paliçada de bambu	Check-dam de alvenaria
Material	R\$ 15–30/m ²	R\$ 150–300/m ²
Mão de obra	R\$ 20–40/m ²	R\$ 80–150/m ²
Total	R\$ 35–70/m ²	R\$ 230–450/m ²
Vida útil	3–5 anos	20+ anos
Manutenção	Anual	Quinquenal

Vantagem econômica

O custo das paliçadas de bambu é 5 a 7× menor que check-dams de alvenaria. Mesmo considerando a reposição a cada 5 anos (três ciclos em 15 anos), o custo acumulado das paliçadas permanece inferior ao da solução convencional. Adicionalmente, as paliçadas podem ser construídas com mão de obra local não especializada, o que gera renda na comunidade e reduz custos logísticos de transporte de materiais pesados (cimento, areia, brita).

9. Bacias de Captação

Bacias de Captação e Barraginhas {#sec-bacias-captacao}

As bacias de captação (ou barraginhas) são estruturas de retenção de enxurrada escavadas ao longo de estradas rurais ou em encostas, cujo propósito é interceptar, reter e infiltrar o escoamento superficial antes que ele cause erosão a jusante. Em essência, trata-se de pequenas depressões côncavas escavadas no solo (normalmente com formato de meia-lua ou circular), dimensionadas para receber o volume de enxurrada gerado pela área de contribuição a montante. A água captada permanece na bacia por horas a dias, infiltrando gradualmente no solo e recarregando o lençol freático, em vez de escoar em alta velocidade pela superfície, erodindo estradas e formando ravinas.

A técnica foi amplamente difundida pela Embrapa Milho e Sorgo no Semiárido brasileiro, onde estradas rurais não pavimentadas concentram o escoamento superficial e geram ravinas laterais que, sem intervenção, evoluem para voçorocas em poucos anos. No entanto, a aplicabilidade das barraginhas estende-se a qualquer região onde o escoamento superficial concentrado cause erosão em estradas, encostas ou áreas de pastagem degradada. A Figura 9.1 mostra uma barraginha típica implantada em estrada rural, onde se observa a geometria côncava da escavação e a interceptação do escoamento lateral.



Figura 9.1.: Barraginha implantada em estrada rural — estrutura de retenção que intercepta e infiltra o escoamento superficial.

9.1. Funções

As bacias de captação desempenham quatro funções hidrológicas e geomorfológicas interconectadas. A retenção de sedimentos é a função mais imediata, operando com eficiência de 50–80% na remoção de partículas do escoamento, uma vez que a redução brusca de velocidade da água ao entrar na bacia causa a deposição gravitacional das partículas em suspensão: primeiro as areias (em minutos), depois os siltes (em horas) e por último as argilas floculadas (em dias). A recarga de aquíferos é a função menos visível mas mais relevante para a sustentabilidade hídrica da paisagem, promovendo infiltração de 20–60 m³ por evento chuvoso, o que equivale, em uma propriedade com 30 barraginhas, a um volume anual de recarga da ordem de 2.000–6.000 m³. O amortecimento do pico de cheia pode atingir 40% de redução na vazão máxima a jusante, protegendo pontes, bueiros e estradas de acesso. A proteção de estradas rurais evita a formação de ravinas laterais ao interceptar o escoamento antes que ele atinja velocidades erosivas.

A Figura 9.2 permite observar o funcionamento hidráulico da bacia após um evento chuvoso, com a água retida infiltrando gradualmente no solo, enquanto a Figura 9.3 demonstra como o planejamento espacial das barraginhas é orientado por critérios topográficos, com a declividade do terreno determinando o espaçamento e o posicionamento ideal das estruturas.

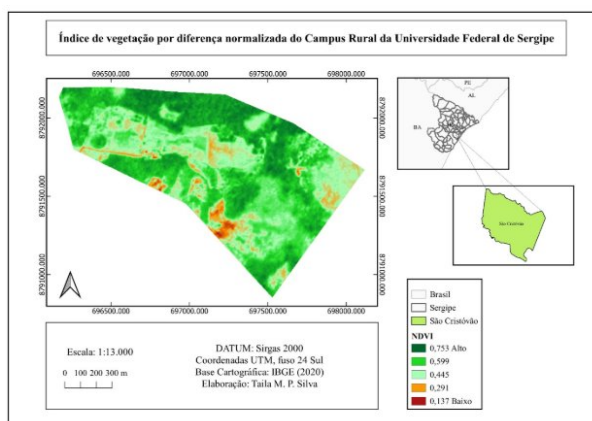


Figura 9.2.: Detalhe de barraginha após chuva — a água é retida e infiltra gradualmente no solo.

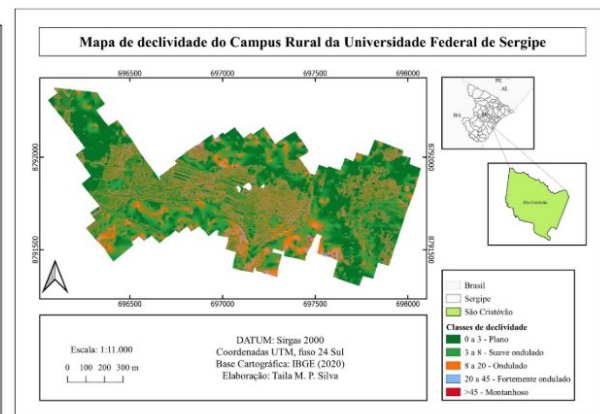


Figura 9.3.: Mapa de declividade para planejamento de barraginhas — a localização é definida por critérios topográficos.

9.2. Dimensionamento

O dimensionamento adequado é o fator determinante da eficiência das barraginhas. Uma bacia subdimensionada transbordará com frequência, anulando suas funções de retenção e infiltração; uma bacia superdimensionada representa desperdício de recursos de escavação e ocupa área útil desnecessariamente. O dimensionamento envolve três cálculos fundamentais.

9.2.1. Método EUPS + VIB

O volume da bacia deve ser suficiente para conter o escoamento gerado por uma chuva de projeto (tipicamente com período de retorno de 10 anos e duração igual ao tempo de concentração da

9. Bacias de Captação

área de contribuição), descontando-se a parcela que infiltra durante o próprio evento. A equação que integra esses fatores é

$$V_{bacia} = A_c \cdot P \cdot C \cdot (1 - VIB/P)$$

onde A_c é a área de contribuição (m^2), que corresponde à porção do terreno cujo escoamento é direcionado para a bacia pelo relevo e pela infraestrutura viária; P é a precipitação de projeto (m), obtida a partir de curvas IDF (Intensidade-Duração-Frequência) da estação meteorológica mais próxima; C é o coeficiente de escoamento superficial (adimensional, tipicamente 0,30–0,60 para estradas não pavimentadas e 0,10–0,30 para pastagens); e VIB é a velocidade de infiltração básica do solo (m/h), determinada por ensaio de infiltração com infiltrômetro de duplo anel conforme a norma ABNT NBR 7229. O termo $(1 - VIB/P)$ representa a fração da chuva que efetivamente gera escoamento, descontada a infiltração simultânea.

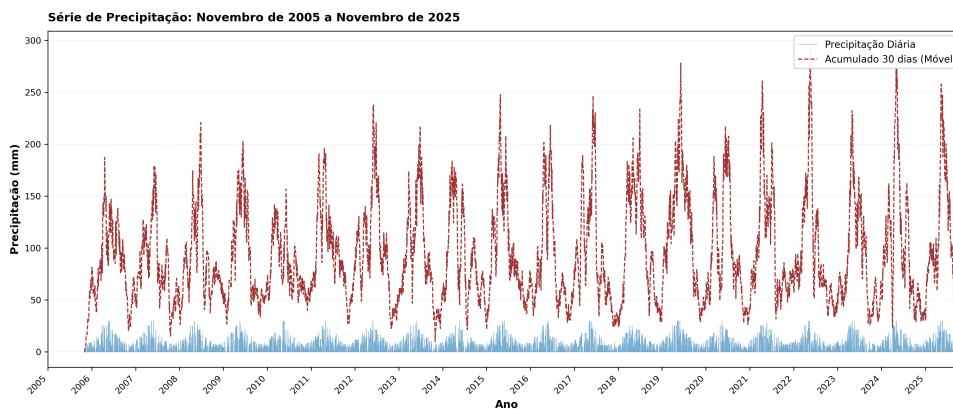


Figura 9.4.: Distribuição da precipitação — série pluviométrica e curvas IDF utilizadas para determinação da precipitação de projeto (P) no dimensionamento de bacias de captação.

9.2.2. Área de Contribuição

Para estradas rurais, a área de contribuição é calculada como

$$A_c = L \cdot (W_{estrada} + W_{talude})$$

onde L é o comprimento da estrada que drena para a bacia (m), $W_{estrada}$ é a largura da plataforma da estrada (tipicamente 4–8 m para estradas vicinais) e W_{talude} é a largura horizontal do talude de corte a montante que também contribui com escoamento para a estrada (0–5 m, dependendo da geometria). A identificação precisa de A_c pode ser realizada em campo com nível de mangueira ou, de forma mais acurada, a partir de Modelo Digital de Terreno (MDT) com resolução mínima de 1 m, conforme abordagem discutida na Figura 9.3.

9.2.3. Dimensões Típicas

A Tabela 9.1 sintetiza os valores típicos de dimensionamento adotados em projetos de barraginhas para estradas rurais no Brasil.

Tabela 9.1.: Dimensões típicas de bacias de captação para estradas rurais.

Parâmetro	Valor típico	Observação
Profundidade	0,8–1,5 m	Limitada pelo nível do lençol freático
Diâmetro superior	3–6 m	Maior em solos com baixa VIB
Volume	5–30 m ³	Proporcional a A_c
Espaçamento	30–80 m	Reduzir em declividades > 8%
Declividade lateral	1:1 a 1:1,5	Mais suave em solos arenosos

9.3. Espaçamento

O espaçamento entre bacias consecutivas deve garantir que cada uma receba um volume compatível com sua capacidade, sem que o escoamento excedente gere erosão no trecho entre bacias sucessivas. A equação de espaçamento é

$$E_{bacias} = \frac{V_{bacia}}{W_{estrada} \cdot P \cdot C}$$

Em terrenos com declividade > 8%, o espaçamento deve ser reduzido em 30–50%, pois a velocidade do escoamento aumenta e o tempo de concentração diminui, gerando picos de vazão mais intensos que exigem maior capacidade de retenção por unidade de comprimento de estrada. Uma regra prática amplamente adotada em programas de conservação de estradas rurais é posicionar as barraginhas nos pontos naturais de concentração de enxurrada (curvas, depressões, confluências de trilhas laterais), ajustando o espaçamento calculado à realidade topográfica do terreno.

9.4. Vida Útil e Manutenção

A vida útil projetada das bacias situa-se entre 10 e 20 anos, dependendo fundamentalmente da taxa de produção de sedimentos na área de contribuição a montante (que por sua vez depende do tipo de solo, cobertura vegetal, uso da terra e declividade) e da frequência de manutenção. O assoreamento é o principal fator de degradação das barraginhas, reduzindo progressivamente o volume útil disponível para retenção de enxurrada. O monitoramento deve acompanhar a evolução do nível de sedimentos no interior da bacia, e a manutenção principal consiste na limpeza mecanizada (retroescavadeira) a cada 2–5 anos, removendo o sedimento acumulado e restaurando a capacidade de retenção original. O sinal de esgotamento funcional é o assoreamento superior a 70% da capacidade, quando a bacia já não consegue amortecer adequadamente os picos de cheia e passa a transbordar com frequência.

O sedimento removido das bacias pode ser reaproveitado como material de aterro em estradas ou como substrato para revegetação de áreas degradadas, fechando o ciclo de materiais e reduzindo custos de disposição.

Atenção

Em solos com VIB muito baixa (< 5 mm/h), como Vertissolos ou Planossolos, as bacias podem transbordar com frequência mesmo quando adequadamente dimensionadas. Nesses casos, o projetista deve dimensionar com chuva de menor período de retorno (5 anos) ou prever um sangradouro lateral vegetado, que é um canal de extravasamento revestido com

9. Bacias de Captação

gramíneas (preferencialmente *Paspalum notatum* ou *Cynodon* spp.) que conduz o excedente para a bacia seguinte sem causar erosão.

9.5. Custos

Os custos de implantação variam entre R\$ 200 e R\$ 500 por bacia para escavação mecanizada com retroescavadeira (1–2 horas de máquina por bacia, incluindo mobilização e desmobilização) e entre R\$ 400 e R\$ 800 por bacia para escavação manual (2–3 dias de trabalho de 2 operários, indicada para locais sem acesso para máquinas). O custo por hectare protegido situa-se entre R\$ 500 e R\$ 1.500, considerando a densidade média de 3–5 bacias/ha em estradas rurais com declividade moderada.

A relação custo-benefício é extremamente favorável, com evidências de que cada real investido em barraginhas evita R\$ 5–12 em custos de manutenção de estradas rurais (patrolamento, reposição de cascalho, reconstrução de bueiros danificados), além dos benefícios indiretos de recarga hídrica, redução de assoreamento de corpos d'água a jusante e preservação de áreas de cultivo adjacentes.

10. Feixes Vivos (*Fascines*)

Feixes Vivos e Drenos Verdes {#sec-feixes-drenos}

10.0.1. Feixes Vivos

Os feixes vivos (*fascines* ou *wattle fences*) são amarrados de ramos vivos e flexíveis, dispostos em valas rasas ao longo de curvas de nível para interceptar o escoamento superficial laminar e promover simultaneamente a infiltração e a retenção de sedimentos. O princípio de funcionamento é análogo ao das paliçadas (ver [?@sec-palicanas](#)), porém os feixes atuam contra o escoamento difuso em encostas (não concentrado em ravinas), funcionando como barreiras lineares de baixa altura (15–30 cm) que fragmentam a lâmina d'água, reduzem a velocidade superficial e criam uma zona de deposição a montante onde sedimentos finos se acumulam e a vegetação se restabelece.

A grande vantagem dos feixes em relação a cordões de pedra ou leiras de terra é que, sendo compostos por ramos vivos, enraízam e brotam após a instalação, transformando-se progressivamente em sebes vivas que mantêm e até ampliam sua função de barreira ao longo do tempo, sem necessidade de reposição. Essa transição de estrutura morta para estrutura viva é o mecanismo central que confere sustentabilidade à técnica. A Figura 10.1 mostra feixes vivos recém-instalados em campo, onde se observam os amarrados de ramos posicionados em valas rasas e fixados com estacas verticais.



Figura 10.1.: Feixes vivos em campo — amarrados de ramos vivos instalados em valas para interceptar o escoamento e promover a infiltração.

A Figura 10.2 apresenta o diagrama em corte transversal do feixe instalado na vala, detalhando as proporções entre profundidade de enterramento, diâmetro do feixe e altura exposta acima da superfície. Já a Figura 10.3 mostra em detalhe o material vegetativo utilizado como estacas de fixação, evidenciando os pontos de brotação que garantem o enraizamento futuro da estrutura.

10. Feixes Vivos (Fascines)

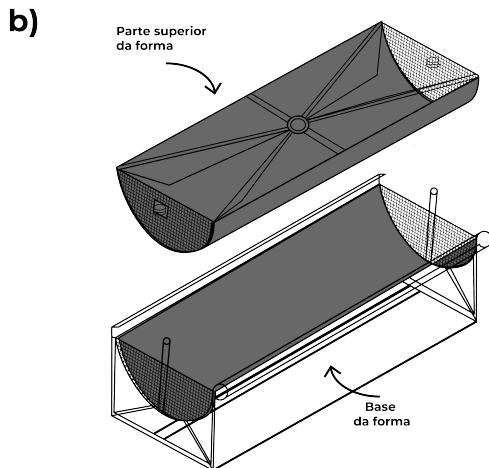


Figura 10.2.: Diagrama de feixe vivo — vista em corte transversal mostrando a instalação em vala rasa.



Figura 10.3.: Estacas vivas detalhadas — material vegetativo utilizado para fixação dos feixes.

10.0.2. Materiais

A seleção de espécies vegetais para composição dos feixes deve priorizar ramos com elevada capacidade de brotação vegetativa (capacidade de emitir raízes e brotos a partir de estacas sem tratamento hormonal), flexibilidade suficiente para ser curvados e amarrados sem quebrar, e resistência mecânica mínima para suportar o impacto do escoamento durante os primeiros meses antes do enraizamento. Os materiais mais utilizados no Brasil são ramos de sabiá (*Mimosa caesalpiniiifolia*) na Caatinga, espécie de alta durabilidade natural (2–3 anos sem tratamento) e excelente brotação; ramos de gliricídia (*Gliricidia sepium*) em regiões pantropicais, que enraíza facilmente e fixa nitrogênio, enriquecendo o solo adjacente; ramos de salgueiro (*Salix* spp.) em zonas temperadas e subtropicais, escolha tradicional na bioengenharia europeia, com taxa de brotação superior a 90%; e bambu verde, de disponibilidade praticamente universal, muito flexível e de fácil obtenção, embora com menor capacidade de brotação que as demais espécies.

10.0.3. Dimensionamento

O dimensionamento dos feixes envolve cinco parâmetros interconectados. O diâmetro do feixe deve situar-se entre 15 e 30 cm, sendo que feixes mais espessos (25–30 cm) são indicados para encostas com declividade superior a 15%, onde a energia do escoamento é maior. O comprimento de cada segmento deve ser de 2 a 4 m (amarrados com arame galvanizado n.º 18 ou fibra de sisal a cada 50 cm), permitindo manuseio e transporte por dois trabalhadores. A profundidade da vala corresponde a metade do diâmetro do feixe (por exemplo, 10 cm para um feixe de 20 cm de diâmetro), de modo que a metade inferior fique enterrada (garantindo contato com o solo úmido para brotação) e a metade superior fique exposta (interceptando o escoamento). O espaçamento entre feixes segue as curvas de nível, a cada 5–10 m de desnível vertical, com espaçamentos menores em declividades acentuadas ou em solos de alta erodibilidade. As estacas de fixação devem ser de material vivo (gliricídia, sabiá ou salgueiro), com 50 cm de comprimento e diâmetro de 3–5 cm, cravadas a cada 1,0–1,5 m ao longo do feixe e penetrando pelo menos 30 cm abaixo do fundo da vala.

10.0.4. Instalação

O procedimento de instalação é executado em quatro etapas sequenciais. Primeiro, traça-se a curva de nível no terreno com auxílio de nível de mangueira ou clinômetro, marcando a posição da vala. Em seguida, escava-se a vala rasa ao longo da curva de nível, com largura igual ao diâmetro do feixe e profundidade equivalente à metade desse diâmetro. O feixe é então posicionado na vala, com os ramos orientados transversalmente à direção do escoamento, e fixado com estacas vivas cravadas através do feixe e no solo abaixo. Por fim, compacta-se terra contra o feixe no lado montante, assegurando vedação da base e criando uma pequena “barreira de solo” que impede a percolação por baixo nos primeiros eventos chuvosos, antes que o enraizamento consolide a estrutura.

i Taxa de sobrevivência

Estudos em encostas de Plintossolo no Nordeste brasileiro demonstraram taxas de brotação de 70–95% dos feixes de sabiá após 90 dias da instalação quando a implantação ocorreu no início da estação chuvosa, com redução para 30–40% quando implantados na estação seca. O posicionamento temporal da instalação é, portanto, tão crítico quanto o dimensionamento físico.

10.1. Drenos Verdes

10.1.1. Drenos Verdes

Os drenos verdes (*vegetated drains* ou *bioswales*) são canais de drenagem superficial ou subsuperficial revegetados, projetados para conduzir o escoamento excedente de forma controlada, reduzindo a velocidade por meio da rugosidade da vegetação e promovendo simultaneamente a infiltração e a filtração de sedimentos ao longo de todo o percurso. Enquanto os feixes vivos atuam contra o escoamento laminar (difuso), os drenos verdes gerenciam o escoamento concentrado nos talwegues (linhas naturais de convergência do fluxo), constituindo elementos complementares dentro de um sistema integrado de manejo de enxurrada.

Diferentemente dos drenos convencionais de concreto, que conduzem a água em alta velocidade sem nenhuma atenuação de pico ou retenção de sedimentos, os drenos verdes transformam o canal de drenagem em um biofiltro linear, onde a vegetação atua como filtro mecânico (interceptação física de partículas pela folhagem e sistema radicular) e como redutor de velocidade (aumento do coeficiente de rugosidade de Manning de 0,013, típico de concreto, para 0,03–0,05 em canais vegetados).

10.1.2. Tipos

O dreno superficial vegetado consiste em um canal trapezoidal revestido com gramíneas de alta densidade (tipicamente *Paspalum notatum*, *Cynodon* spp. ou *Stenotaphrum secundatum*), funcionando como uma berma vegetada. A velocidade máxima do escoamento deve ser limitada a 0,5–1,0 m/s para evitar erosão do revestimento vegetal. Para canais de maior porte, esta técnica evoluiu para a canaleta verde, cuja abordagem é desenvolvida em detalhe na [?@sec-canaleta-verde](#).

O dreno subsuperficial biodegradável consiste em um tubo ou camada drenante composta por materiais vegetais (feixes de bambu, cascas de coco, fibras de palmeira) enterrados a 30–60 cm de

10. Feixes Vivos (Fascines)

profundidade, envolvidos em geotêxtil biodegradável (ver ?@sec-biotexteis). Essa configuração cria uma zona preferencial de percolação que drena o excesso de umidade do solo sem necessidade de tubulação plástica, degradando-se naturalmente em 3–5 anos, período no qual a drenagem se estabelece por caminhos preferenciais consolidados no solo.

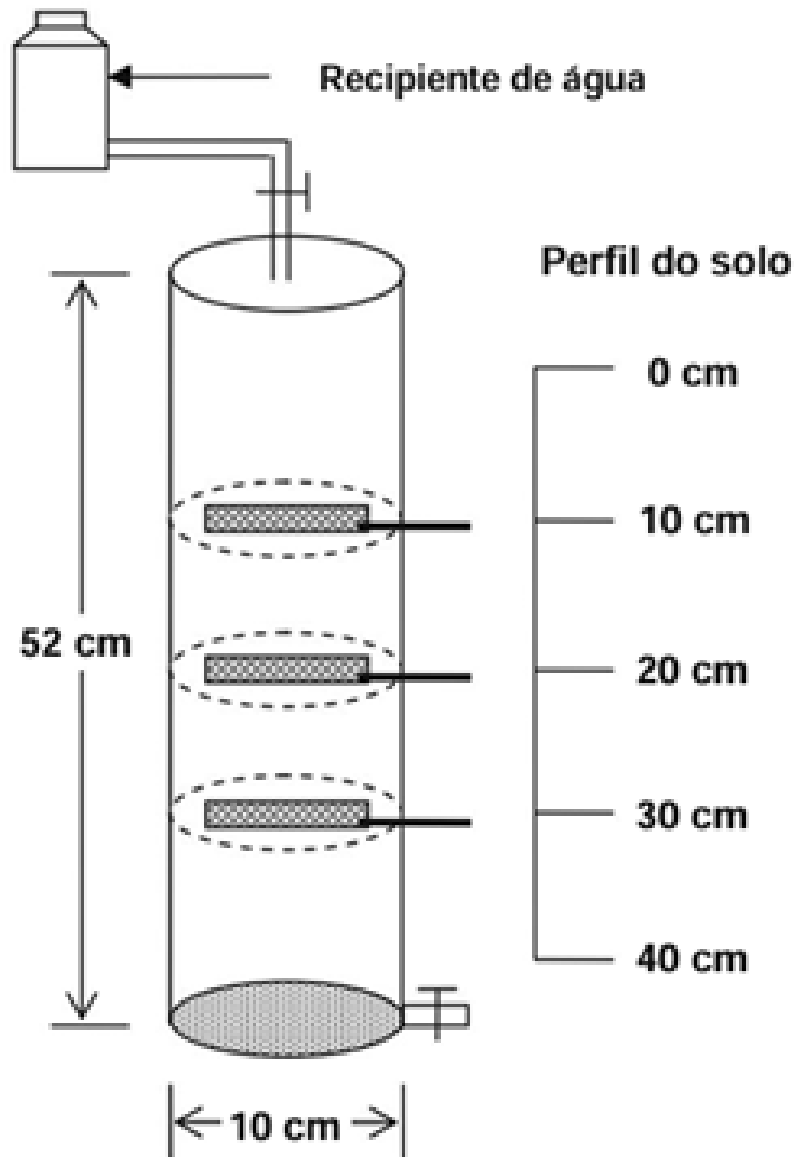


Figura 10.4.: Dispositivo de coluna drenante — esquema construtivo do dreno subsuperficial biodegradável com camadas de materiais vegetais envolvidos em geotêxtil.

10.1.3. Dimensionamento do Dreno Superficial

A capacidade de vazão do dreno é calculada pela equação de Manning, que relaciona a geometria do canal, sua rugosidade e a declividade

$$Q = \frac{1}{n} \cdot A \cdot R_h^{2/3} \cdot S^{1/2}$$

onde n é o coeficiente de rugosidade de Manning (0,03–0,05 para canais vegetados com gramíneas curtas a médias, podendo chegar a 0,10 para gramíneas altas e densas), A é a área da seção molhada (m^2), R_h é o raio hidráulico (razão entre área molhada e perímetro molhado, em metros) e S é a declividade longitudinal do canal (m/m). O dimensionamento inicia com a estimativa da vazão de projeto (método racional: $Q = C \cdot i \cdot A$) e prossegue com a determinação iterativa da seção transversal que comporta essa vazão com velocidade inferior a 1,0 m/s.

10.1.4. Vantagens dos Drenos Verdes

A Tabela 10.1 sintetiza o comparativo técnico-econômico entre drenos convencionais e drenos verdes, evidenciando as vantagens em termos de infiltração, filtração, custo e integração paisagística.

Tabela 10.1.: Comparativo entre drenos convencionais e drenos verdes.

Aspecto	Dreno convencional (concreto)	Dreno verde
Infiltração	Nula (superfície impermeável)	30–60% do volume
Filtração de sedimentos	Nenhuma	50–80%
Custo de implantação	R\$ 200–500/m	R\$ 40–100/m
Manutenção	Limpeza mecânica (semestral)	Roçada periódica (trimestral)
Paisagem	Impacto visual negativo	Integrado ao ambiente
Vida útil	30–50 anos	Indefinida (autorrenovável)

💡 Aplicação ideal

Drenos verdes são especialmente eficazes em áreas periurbanas (loteamentos, campi universitários, parques industriais) e estradas rurais, onde a infraestrutura convencional de concreto é cara, pouco sustentável e esteticamente desarmônica. Em projetos de Soluções Baseadas na Natureza (ver ?@sec-nbs), os drenos verdes são frequentemente combinados com jardins de chuva e tetos verdes para compor sistemas de drenagem urbana sustentável (SUDS).

10.2. Integração Feixes + Drenos

A combinação de feixes vivos ao longo de curvas de nível com drenos verdes nos talwegues cria um sistema integrado de manejo de enxurrada que opera em três escalas funcionais complementares. Na escala de encosta, os feixes interceptam o escoamento laminar difuso, reduzindo sua velocidade e promovendo a deposição de sedimentos finos, de modo que a água que atinge os talwegues já chega com menor carga sólida e menor energia cinética. Na escala dos talwegues, os drenos verdes recebem o escoamento concentrado remanescente e o conduzem de forma controlada até o exutório, infiltrando 30–60% do volume e filtrando 50–80% dos sedimentos restantes. Na escala de bacia, a integração dos dois sistemas reduz a conectividade hidrossedimentológica entre as vertentes e os corpos d'água receptores, diminuindo simultaneamente o pico de vazão (amortecimento) e a carga sólida total exportada.

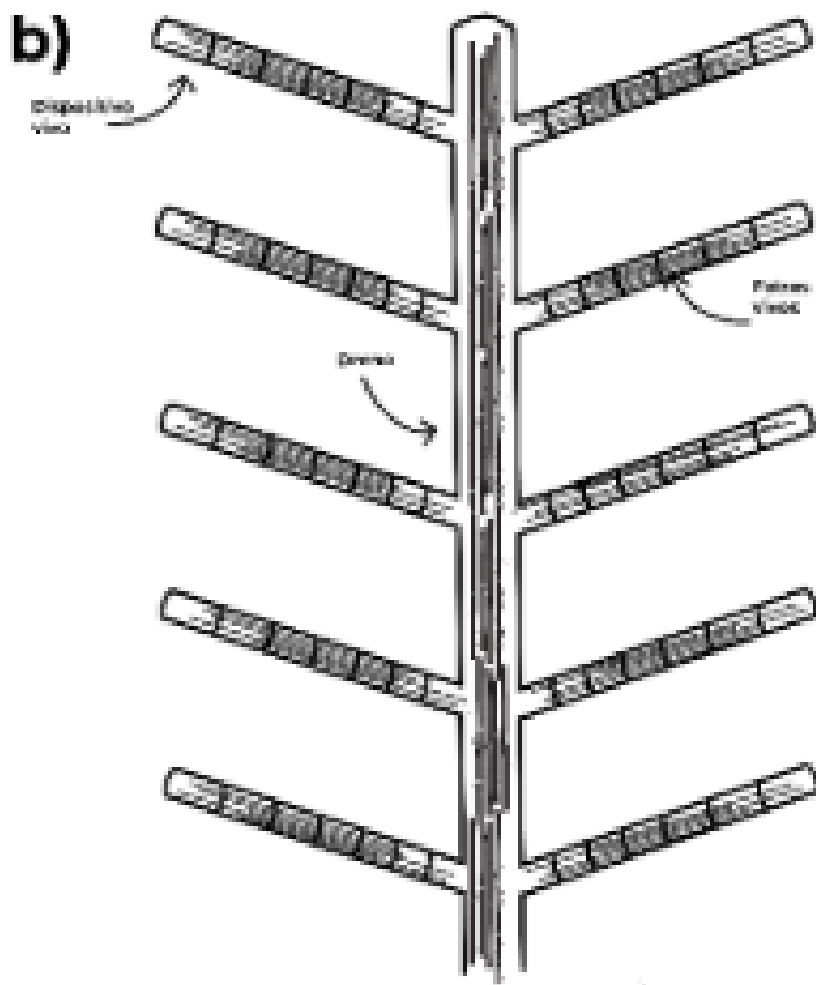


Figura 10.5.: Arranjo em espinha de peixe (*herringbone*) — disposição espacial dos feixes vivos em curvas de nível combinados com drenos verdes nos talwegues, formando o sistema integrado de manejo de enxurrada.

A complementaridade dos dois sistemas é sinérgica: os feixes protegem os drenos de obstrução por excesso de sedimentos, enquanto os drenos protegem os feixes de sobrecarga por concentração de escoamento, garantindo que cada componente opere dentro de sua faixa de projeto. Esse arranjo integrado é particularmente eficaz em encostas longas (> 100 m de comprimento de rampa) onde nenhuma das duas técnicas, isoladamente, seria suficiente para controlar o escoamento e a erosão de forma satisfatória.

11. Hidrossemeadura

Hidrossemeadura {#sec-hidrossemeadura}

A hidrossemeadura (*hydroseeding* ou *hydraulic mulch seeding*) é a técnica de projeção mecanizada de uma mistura aquosa contendo sementes, mulch (cobertura morta), fertilizante e fixador (*tackifier*) sobre taludes e superfícies erodíveis. O princípio consiste em aplicar, simultaneamente e de forma homogênea, todos os insumos necessários para o estabelecimento vegetal em um único passo operacional, utilizando um equipamento (hidrossemeador) que projeta a pasta sob pressão a distâncias de 30 a 60 m. Essa abordagem elimina a necessidade de acesso direto a superfícies íngremes, o que torna a hidrossemeadura particularmente adequada para taludes rodoviários, barragens, pedreiras, aterros sanitários e áreas de mineração onde o plantio manual seria impraticável ou perigoso.

Em termos de produtividade, a hidrossemeadura é a técnica mais eficiente de revegetação de grandes áreas, alcançando até 5.000 m²/h com equipamentos de grande porte, cifra que se compara aos 50–100 m²/h do plantio manual de mudas e aos 200–500 m²/h da semeadura a lanço. Essa diferença de escala explica por que a hidrossemeadura domina o mercado de revegetação de obras lineares (rodovias, ferrovias, gasodutos, linhas de transmissão) em todo o mundo. A Figura 11.1 mostra a aplicação da técnica em um talude rodoviário, onde é possível observar o jato de projeção da pasta verde (a coloração distingue-se da superfície do solo, permitindo ao operador controlar visualmente a uniformidade de cobertura).



Figura 11.1.: Aplicação de hidrossemeadura em talude rodoviário — projeção mecanizada da pasta com sementes, mulch e fertilizante.

O resultado prático da aplicação pode ser observado em duas situações distintas. A Figura 11.2 mostra a projeção da pasta em uma área degradada em processo de restauração, enquanto a

Figura 11.3 apresenta o resultado após o estabelecimento vegetal, com gramíneas já consolidadas em talude de alta declividade, demonstrando a eficácia da técnica mesmo em superfícies com inclinação superior a 45°.



Figura 11.2.: Hidrossemeadura em restauração de área degradada — projeção da pasta sobre superfície erodível.



Figura 11.3.: Resultado da hidrossemeadura em rodovia — vegetação herbácea estabelecida em talude com alta declividade.

11.1. Composição da Pasta

A pasta de hidrossemeadura é uma suspensão aquosa cujos componentes desempenham funções complementares e sinérgicas. A formulação é ajustada conforme o tipo de solo, a declividade, o regime climático e os objetivos de revegetação. A Tabela 11.1 apresenta a composição típica e a dosagem de cada componente.

Tabela 11.1.: Composição típica da pasta de hidrossemeadura.

Componente	Função	Dosagem típica
Água	Veículo e hidratação inicial das sementes	2.000–4.000 L/ha
Sementes	Estabelecimento de cobertura vegetal	50–200 kg/ha
Mulch	Proteção superficial contra impacto de gotas e dessecação	1.500–3.000 kg/ha
Fertilizante	Nutrição inicial (N–P–K + micronutrientes)	200–500 kg/ha
Fixador (<i>tackifier</i>)	Adesão da pasta ao solo e resistência à erosão hídrica	50–150 kg/ha
Corante	Controle visual de uniformidade de aplicação	5–10 L/ha

11. Hidrossemeadura

A água atua como veículo para homogeneizar e projetar os demais componentes, além de fornecer a umidade inicial para ativação da germinação. O mulch é o componente de maior massa, sendo responsável por proteger a superfície contra o impacto cinético das gotas de chuva (*splash erosion*), manter a umidade superficial e criar um microclima favorável à germinação. O fertilizante fornece nutrientes de liberação lenta (formulação 10-10-10 ou 20-05-20) para sustentar o crescimento vegetal nos primeiros 60–90 dias, período em que as raízes ainda não acessam os nutrientes do solo. O fixador é um polímero (natural ou sintético) que aglutina as partículas de mulch e sementes ao solo, impedindo que a pasta seja lavada pela primeira chuva após a aplicação. O corante (verde, à base de clorofila sintética) permite ao operador identificar visualmente as áreas já cobertas, evitando sobreposição ou omissão.

11.2. Tipos de Mulch

A escolha do mulch é uma das decisões mais críticas do projeto de hidrossemeadura, pois determina o nível de proteção superficial, o tempo de degradação e, conseqüentemente, a janela de vulnerabilidade entre a aplicação e o estabelecimento vegetal efetivo.

11.2.1. Mulch de Celulose

O mulch de celulose é composto por fibras de papel reciclado ou celulose virgem moída. Apresenta retenção hídrica moderada (retém 6–8× seu peso em água) e degradação rápida (30–60 dias em clima tropical úmido). Seu custo é o mais baixo entre os mulches comerciais (R\$ 3–6/kg), o que o torna a escolha padrão para projetos de grande escala em declividades moderadas (< 30°). A principal limitação é a baixa resistência à erosão hídrica: em taludes íngremes, a chuva intensa pode remover o mulch de celulose antes que a germinação esteja consolidada.

11.2.2. Mulch de Madeira

O mulch de madeira é composto por fibras de madeira processada (eucalipto, pinus), com fibras mais longas e interconectadas que o de celulose. Oferece retenção hídrica elevada (10–12× seu peso), degradação lenta (90–180 dias) e maior resistência à erosão, sendo indicado para taludes com declividade de 30–45° ou em regiões com chuvas intensas. Seu custo (R\$ 5–10/kg) é intermediário, equilibrando proteção e economia.

11.2.3. Mulch Bonded Fiber Matrix (BFM)

O BFM representa a categoria premium de mulch, combinando fibras longas de madeira com aglutinante biodegradável que, ao secar, forma uma manta coesa sobre o solo. Essa manta pode ser suficientemente resistente para substituir biomantas têxteis (ver **?@sec-biomantas**) em taludes de até 45°, com a vantagem de aplicação por projeção (sem necessidade de desenrolar e fixar rolos manualmente). O custo é o mais elevado (R\$ 8–15/kg), justificado em projetos onde a logística de instalação de biomantas é inviável (acessos difíceis, grandes extensões de taludes).

11.3. Fixadores (*Tackifiers*)

Os fixadores são o componente que garante a permanência da pasta aplicada sobre a superfície do solo diante das forças erosivas da chuva e do escoamento. A Tabela 11.2 compara os quatro tipos mais utilizados no mercado brasileiro.

Tabela 11.2.: Tipos de fixadores e suas propriedades.

Tipo	Origem	Resistência à chuva	Duração	Custo (R\$/kg)
Guar	Vegetal (goma de guar)	Moderada	30–60 dias	15–25
Psyllium	Vegetal (<i>Plantago</i>)	Alta	60–90 dias	25–40
PAM (poliacrilamida)	Sintético	Muito alta	90–180 dias	30–50
Amido	Vegetal (milho/mandioca)	Baixa	15–30 dias	8–15

A escolha do fixador depende do regime pluviométrico local e da declividade do talude. Em regiões com chuvas intensas e frequentes (pluviosidade > 1.500 mm/ano), fixadores sintéticos (PAM) ou de alta resistência (psyllium) são recomendados. Em regiões semiáridas, onde o risco de lavagem é menor, o amido ou guar oferecem boa relação custo-eficácia.

11.4. Dimensionamento

11.4.1. Taxa de Aplicação

A taxa de aplicação (T_a) é a quantidade total de mulch a ser aplicada por unidade de área, ajustada por fatores multiplicadores que expressam as condições do sítio

$$T_a = T_{base} \cdot F_d \cdot F_s \cdot F_c$$

onde T_{base} é a taxa base de 3.000 kg/ha (estabelecida para gramíneas em taludes de até 30° em solo argiloso e clima úmido), F_d é o fator de declividade (1,0 para inclinações inferiores a 30°, 1,3 para 30–45° e 1,6 para ângulos superiores a 45°, refletindo o aumento da energia erosiva com o gradiente), F_s é o fator de solo (1,0 para argilosos, que possuem maior coesão, 1,2 para arenosos e 1,4 para siltosos, que são os mais erodíveis) e F_c é o fator climático (1,0 para clima úmido com chuvas distribuídas e 1,3 para semiárido onde a concentração de chuvas intensas em curtos períodos eleva o risco de lavagem).

11.4.2. Mistura de Sementes

A composição da mistura de sementes deve atender a três funções temporais complementares. A fração de estabelecimento rápido (70% da mistura) compreende gramíneas de germinação acelerada, como *Brachiaria decumbens*, *Brachiaria brizantha* cv. Marandu e *Paspalum notatum*, cujas plântulas emergem em 5–15 dias e proporcionam cobertura mínima de 40% em 30 dias. A fração de fixação biológica de nitrogênio (20%) inclui leguminosas como *Stylosanthes* spp., *Cajanus cajan* (guandu) e *Crotalaria juncea*, que fixam 50–200 kg N/ha/ano via simbiose com rizóbios, reduzindo a dependência de fertilizantes minerais a médio prazo. A fração de persistência (10%) contempla gramíneas perenes de ciclo longo e raízes profundas, que assumem a proteção do solo após a senescência das espécies pioneiras, garantindo cobertura permanente.

11.5. Equipamentos

O hidrossemeador mecânico é o equipamento central da técnica, consistindo em um tanque cilíndrico de aço ou polietileno com capacidade de 2.000 a 8.000 L, equipado com agitador mecânico interno (para manter a pasta homogênea), bomba centrífuga de alta pressão e canhão de projeção direcional. A pressão de trabalho situa-se entre 4 e 8 bar, gerando um jato com alcance de 30 a 60 m dependendo da viscosidade da pasta e da configuração do bico. O rendimento típico é de 3.000–5.000 m²/h para equipamentos montados em caminhão (os mais comuns no Brasil), podendo chegar a 8.000 m²/h em hidrossemeadores de grande porte montados em carretas. Para áreas de difícil acesso (morros, encostas sem estrada), existem hidrossemeadores portáteis montados em trailers leves (500–1.000 L) ou mochilas motorizadas (50–100 L), com rendimento inferior (500–1.000 m²/h) mas grande versatilidade operacional.

A calibração do equipamento antes de cada aplicação é fundamental: o operador deve ajustar a velocidade do agitador para evitar sedimentação das sementes no fundo do tanque, regular a pressão para obter o alcance desejado sem fragmentar as sementes pelo impacto excessivo, e verificar a uniformidade da distribuição por meio de testes em área controlada.

11.6. Monitoramento

O monitoramento pós-aplicação é indispensável para avaliar o sucesso da hidrossemeadura e identificar precocemente eventuais falhas que exijam reaplicação. A Tabela 22.3 estabelece as metas quantitativas para cada indicador nos primeiros 90 dias.

Tabela 11.3.: Metas de monitoramento pós-hidrossemeadura.

Indicador	Meta (30 dias)	Meta (60 dias)	Meta (90 dias)
Germinação	> 50%	—	—
Cobertura	> 40%	> 70%	> 90%
Erosão visível	< 5% da área	< 2%	0%

Áreas que não atingirem a meta de 40% de cobertura aos 30 dias devem ser avaliadas quanto à causa da falha (drenagem do fixador, predação de sementes, temperatura inadequada, déficit hídrico) e submetidas a reaplicação localizada. A reaplicação total é indicada apenas quando a cobertura for inferior a 20% aos 30 dias, sugerindo falha sistêmica na formulação ou na aplicação.

11.7. Custos

A Tabela 11.4 sintetiza os custos médios de hidrossemeadura em comparação com o plantio manual de mudas e a semeadura a lanço, evidenciando a vantagem competitiva da técnica em projetos de grande escala.

Tabela 11.4.: Comparativo de custos e produtividade entre métodos de revegetação.

Item	Hidrossemeadura	Plantio manual	Semeadura a lanço
Insumos	R\$ 8.000–15.000/ha	R\$ 12.000–25.000/ha	R\$ 3.000–6.000/ha

Item	Hidrosseadura	Plantio manual	Semeadura a lanço
Mão de obra	R\$ 1.000–3.000/ha	R\$ 8.000–15.000/ha	R\$ 2.000–4.000/ha
Total	R\$ 9.000–18.000/ha	R\$ 20.000–40.000/ha	R\$ 5.000–10.000/ha
Produtividade	3.000–5.000 m ² /h	50–100 m ² /h	200–500 m ² /h
Aplicabilidade em taludes	Até 70°	Até 30°	Até 15°

11.8. Limitações e Contraindicações

Apesar de sua versatilidade, a hidrosseadura não é indicada em todas as situações. Em solos rochosos sem substrato (rocha exposta com < 5 cm de solo), a pasta não adere adequadamente e as raízes não encontram meio para se desenvolver, exigindo prévia aplicação de substrato orgânico ou tela metálica ancorada na rocha. Em taludes com erosão ativa (presença de sulcos ou ravinas), a pasta será removida pelo escoamento concentrado antes da germinação, sendo necessário primeiro estabilizar as feições erosivas com paliçadas (ver **?@sec-palçadas**) ou biomantas (ver **?@sec-biomantas**) e depois aplicar a hidrosseadura nas áreas entre elas. Em períodos de seca prolongada, a germinação será nula ou insignificante, resultando em perda total dos insumos aplicados, razão pela qual o planejamento temporal da aplicação deve coincidir com o início da estação chuvosa.

Condições de aplicação

A hidrosseadura não deve ser aplicada com vento superior a 25 km/h (dispersão irregular da pasta), sobre solo saturado (deslizamento da pasta por gravidade antes da adesão), em temperaturas de solo inferiores a 10 °C (inibição da germinação) nem em superfícies com escoamento concentrado ativo. O período ideal de aplicação corresponde ao início da estação chuvosa, quando a umidade do solo é suficiente para sustentar a germinação mas o solo ainda não está saturado.

12. Biomantas

Biomantas e Geossintéticos Biodegradáveis {#sec-biomantas}

As biomantas são mantas pré-fabricadas de fibras naturais (coco, juta, sisal, palha) mantidas por redes de sustentação biodegradáveis ou fotodegradáveis. Sua função primordial é proporcionar proteção imediata contra a erosão superficial enquanto a vegetação se estabelece, ocupando a janela de vulnerabilidade entre a preparação do terreno e a consolidação da cobertura vegetal (tipicamente 30–90 dias). Sem essa proteção, os primeiros eventos chuvosos após a semeadura podem remover as sementes, o fertilizante e até a camada superficial do solo antes que as raízes tenham se desenvolvido o suficiente para ancorar o substrato.

O mecanismo de proteção é triplo. Primeiro, a biomanta absorve a energia cinética das gotas de chuva (*raindrop impact*), impedindo a desagregação por *splash erosion*, que é o mecanismo erosivo dominante nos primeiros centímetros de solo exposto. Segundo, a rugosidade superficial da manta reduz a velocidade do escoamento laminar, aumentando o coeficiente de Manning de 0,02 (solo nu) para 0,04–0,08, o que diminui a tensão cisalhante sobre a superfície. Terceiro, a retenção hídrica das fibras naturais (especialmente coco e juta) cria um microambiente úmido favorável à germinação, reduzindo a perda de água por evaporação em 30–50% em comparação com solo exposto.

A Figura 12.1 mostra uma biomanta de fibra de coco instalada em um talude, evidenciando a cobertura uniforme da superfície e a fixação com grampos metálicos, enquanto a Figura 12.2 demonstra o estágio seguinte do processo, com a vegetação emergindo através das aberturas da manta, consolidando a proteção biológica que substituirá progressivamente a proteção mecânica da biomanta à medida que esta se biodegrada.

12.1. Classificação

12.1.1. Por Material

A escolha do tipo de biomanta depende da durabilidade requerida pelo projeto (que por sua vez depende do tempo necessário para a vegetação se consolidar), do regime pluviométrico, da declividade do talude e do orçamento disponível. A Tabela 12.1 sintetiza as cinco categorias comerciais mais utilizadas no Brasil.

Tabela 12.1.: Tipos de biomantas e suas características.

Tipo	Fibra principal	Durabilidade	Aplicação preferencial
Biomanta de coco	Coco (<i>Cocos nucifera</i>)	2–4 anos	Taludes rodoviários, margens fluviais
Biomanta de juta	Juta (<i>Corchorus</i> spp.)	1–2 anos	Canais, áreas planas com chuva moderada

Tipo	Fibra principal	Durabilidade	Aplicação preferencial
Biomanta de palha	Palha de arroz/trigo	6–12 meses	Proteção temporária de obras em andamento
Biomanta de sisal	Sisal (<i>Agave sisalana</i>)	2–5 anos	Taludes íngremes (> 45°)
Biomanta mista	Coco + palha	1–3 anos	Uso geral (melhor custo-benefício)

A biomanta de coco é a mais versátil e robusta para condições tropicais brasileiras, combinando alta resistência mecânica das fibras de mesocarpo do coco (1 m de comprimento, Ø 0,1–0,3 mm) com excelente retenção hídrica e degradação lenta (2–4 anos), que coincide com o tempo necessário para a vegetação atingir plena maturidade radicular em solos tropicais.

12.1.2. Por Função (Norma ABNT NBR 16308)

A norma ABNT NBR 16308 classifica as biomantas em quatro classes funcionais que orientam a especificação técnica em projetos de engenharia. A Classe I destina-se à proteção temporária (até 12 meses), adequada para canteiros de obras ou áreas onde a revegetação é rápida. A Classe II prevê proteção de curta duração (12–24 meses), indicada para taludes com declividade moderada (< 30°) em clima úmido. A Classe III oferece proteção de média duração (24–48 meses), recomendada para taludes íngremes ou áreas com revegetação lenta (solos arenosos, clima semiárido). A Classe IV garante proteção de longa duração (> 48 meses), reservada para situações críticas como margens fluviais com erosão ativa ou taludes de barragens.

12.2. Propriedades Mecânicas

A especificação técnica de biomantas exige a comparação de propriedades mecânicas e hidráulicas entre os materiais disponíveis. A Tabela 12.2 apresenta essa comparação para as duas biomantas mais utilizadas (coco e juta) e, como referência, para o geotêxtil sintético de polipropileno que constitui a alternativa convencional.

Tabela 12.2.: Propriedades mecânicas comparativas.

Propriedade	Biomanta de coco	Biomanta de juta	Geotêxtil sintético
Massa por área	400–900 g/m ²	300–600 g/m ²	100–400 g/m ²
Resistência à tração	2–8 kN/m	1–4 kN/m	5–50 kN/m
Retenção hídrica	Alta (8–10× peso seco)	Moderada (5–7× peso seco)	Baixa (< 2× peso seco)
Permeabilidade	Alta	Alta	Variável (depende da gramatura)
Biodegradabilidade	Sim (2–4 anos)	Sim (1–2 anos)	Não (> 100 anos)

A diferença mais relevante do ponto de vista da bioengenharia é a retenção hídrica: enquanto o geotêxtil sintético praticamente não retém água (funcionando apenas como filtro), a biomanta de



Figura 12.1.: Biomanta instalada em talude — proteção imediata contra erosão enquanto a vegetação se estabelece.

Figura 12.2.: Vegetação emergindo através da biomanta — a grama se estabelece através das aberturas da manta.

coco absorve 8–10× seu peso em água, criando um reservatório superficial que libera umidade gradualmente para as sementes em germinação, efeito particularmente valioso em regiões com períodos secos intermitentes.

12.3. Instalação

A instalação correta da biomanta é tão importante quanto a escolha do material. Falhas de instalação (especialmente bolsões de ar e ancoragem insuficiente) são responsáveis por mais de 60% dos casos de insucesso relatados na literatura técnica.

12.3.1. Preparação do Terreno

A superfície do talude deve ser previamente regularizada, removendo-se torrões, pedras soltas e saliências que impediriam o contato íntimo entre a manta e o solo. Após a regularização, aplicam-se fertilizante (NPK 10-10-10 a 200–400 kg/ha) e sementes (conforme mistura definida no projeto de revegetação, ver **sec-hidrossemeadura**) diretamente sobre o solo antes da instalação da biomanta, de modo que a manta funcione como cobertura protetora das sementes já distribuídas. Em seguida, escava-se a trincheira de ancoragem no topo do talude, com dimensões mínimas de 15×15 cm, onde a borda superior da biomanta será enterrada.

12.3.2. Fixação

A biomanta é ancorada na trincheira superior com grampos em U (mínimo 3 grampos por metro linear de trincheira) e desenrolada de cima para baixo ao longo do talude, em sentido perpendicular às curvas de nível. A fixação ao solo é feita com grampos metálicos distribuídos a cada 0,5–1,0 m em padrão alternado (trebolillo), garantindo que a manta permaneça em contato direto com o solo mesmo sob a ação do vento e do escoamento. A sobreposição entre faixas adjacentes deve ser de pelo menos 10 cm (15 cm em taludes > 45°), com a faixa superior sobrepondo a inferior (como telhas), evitando que o escoamento penetre sob a manta na junta. O procedimento finaliza com a ancoragem da borda inferior da biomanta em uma segunda trincheira na base do talude.

12.3.3. Grampeamento

Os grampos são o elemento de fixação que garante a aderência da biomanta ao solo sob as forças de arraste do escoamento e do vento. Utilizam-se grampos em U de aço CA-25 (Ø 5 mm, comprimento 20–30 cm), cravados no solo com martelo ou marreta. A densidade de grampeamento é de 2–4 grampos/m² em taludes inferiores a 45° e de 4–8 grampos/m² em taludes superiores a 45°, valores que devem ser aumentados em 50% nas zonas de maior concentração de escoamento (concauidades, confluências de micro-talvegues) e nas bordas laterais da biomanta.

! Ponto crítico

O contato íntimo entre a biomanta e o solo é essencial para o sucesso da técnica. Bolsões de ar sob a manta criam caminhos preferenciais de escoamento que concentram o fluxo (fenômeno análogo ao *piping*), gerando erosão subsuperficial localizada que pode destruir toda a instalação em um único evento chuvoso intenso. A principal medida preventiva é a regularização cuidadosa da superfície antes da instalação e o grampeamento em densidade

adequada, particularmente nas concavidades do terreno.

12.4. Vantagens sobre Geossintéticos Convencionais

As biomantas oferecem cinco vantagens técnicas e ambientais em relação aos geossintéticos sintéticos (polipropileno, poliéster). A biodegradabilidade garante que não haverá resíduos plásticos permanentes no solo após o cumprimento da função de proteção, evitando a contaminação por microplásticos que ocorre com a fragmentação de geotêxteis sintéticos. A incorporação de matéria orgânica ao solo durante a degradação (1–4 t C/ha) melhora a estrutura, a retenção hídrica e a atividade biológica do substrato. A retenção hídrica das fibras naturais é 3–5× superior à dos sintéticos, favorecendo a germinação em períodos secos. A rugosidade superficial elevada das fibras de coco e juta reduz a velocidade do escoamento em 40–60% em comparação com geotêxteis de polipropileno de superfície lisa. O custo é tipicamente 30–50% inferior ao dos geossintéticos de polipropileno de gramatura equivalente.

12.5. Custos

A Tabela 12.3 apresenta a composição de custos por metro quadrado para a biomanta de coco (700 g/m²), que é a especificação mais comum em projetos de bioengenharia no Brasil.

Tabela 12.3.: Custo médio de implantação de biomanta de coco.

Item	Valor (R\$/m ²)
Biomanta de coco (700 g/m ²)	8–15
Grampos (4/m ²)	2–4
Mão de obra de instalação	5–10
Sementes + fertilizante pré-instalação	3–6
Total	18–35

O custo total de R\$ 18–35/m² compara-se aos R\$ 9–18/ha da hidrossemeadura simples (ver [?@sec-hidrossemeadura](#)) e aos R\$ 40–80/m² dos geotêxteis sintéticos com grampeamento. A biomanta é, portanto, a solução intermediária em custo e proteção, indicada quando a hidrossemeadura sozinha é insuficiente (taludes > 30° ou solos muito erodíveis) mas o geotêxtil sintético é dispensável (ausência de cargas estruturais permanentes).

13. Enrocamento Vegetado

Enrocamento Vegetado {#sec-enrocamento}

O enrocamento vegetado (*vegetated riprap*) combina a proteção mecânica imediata de pedras com o reforço biológico progressivo fornecido por plantas vivas inseridas entre as pedras. Trata-se de uma técnica de bioengenharia para proteção de margens fluviais e bases de taludes submetidos a fluxo d'água, onde a ação hidrodinâmica (velocidade, turbulência, ondas) exige uma resistência mecânica que a vegetação sozinha não pode oferecer nos primeiros anos, mas a solução puramente inerte (enrocamento convencional) não proporciona os serviços ecossistêmicos e a durabilidade de longo prazo que o sistema radicular proporciona.

O princípio de funcionamento baseia-se na complementaridade temporal entre dois mecanismos de proteção. Nos primeiros 3–5 anos após a instalação, as pedras fornecem 100% da resistência ao arraste e à erosão, enquanto as estacas vivas inseridas entre elas enraízam, brotam e desenvolvem progressivamente um sistema radicular que penetra 1–3 m no solo subjacente. Após esse período de transição, as raízes criam uma ancoragem biológica que complementa e paulatinamente substitui a função mecânica das pedras, de modo que eventuais deslocamentos de pedras individuais não comprometem a estabilidade do conjunto. A Figura 13.1 mostra um enrocamento convencional em margem fluvial, onde as pedras protegem a base contra a erosão do fluxo, enquanto a Figura 13.2 apresenta um enrocamento vegetado em estágio avançado de consolidação biológica, com a vegetação já plenamente estabelecida entre as pedras.

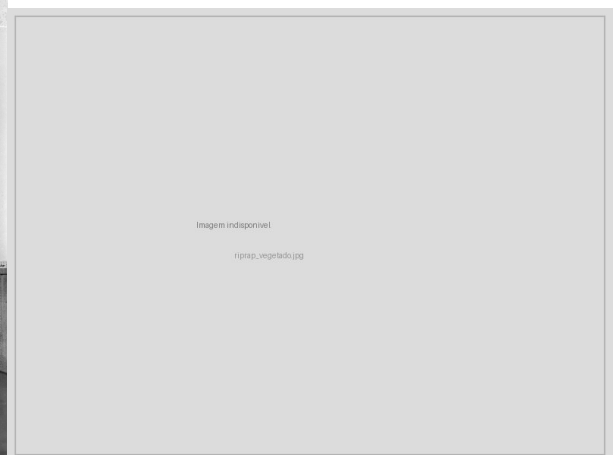


Figura 13.1.: Enrocamento em margem fluvial — pedras protegem a base enquanto a vegetação se estabelece entre os interstícios. — Figura 13.2.: Enrocamento vegetado — combinação de proteção mecânica e biológica em estágio avançado de consolidação.

13.1. Componentes

O enrocamento vegetado é composto por três elementos estruturais. As pedras devem ter diâmetro médio entre 15 e 50 cm e massa individual entre 5 e 150 kg, privilegiando-se rochas compactas, densas e resistentes à abrasão (granito, gnaisse, basalto), evitando-se rochas friáveis (xisto, arenito mal cimentado) que se fragmentam sob impacto. As estacas vivas são ramos ou troncos jovens de espécies com elevada capacidade de enraizamento vegetativo, inseridos entre as pedras durante a construção, com diâmetro de 3–8 cm e comprimento suficiente para transpor toda a espessura do enrocamento e penetrar no solo subjacente. A camada de filtro é o elemento mais frequentemente negligenciado em projetos mal executados, consistindo em geotêxtil não-tecido ou camada de transição granulométrica posicionada entre o solo natural e as pedras, cuja função é impedir a remoção seletiva de partículas finas do solo pelo fluxo d'água (*suffusion*), que é a principal causa de colapso de enrocamentos pela perda de suporte da fundação.

13.2. Dimensionamento das Pedras

O diâmetro médio das pedras (D_{50}) é a variável de projeto mais importante e é calculado em função da velocidade do fluxo a que a margem está submetida, utilizando a equação de Isbash adaptada

$$D_{50} = \frac{0,06 \cdot V^2}{(\gamma_s/\gamma_w - 1) \cdot g}$$

onde V é a velocidade do fluxo na margem (m/s), determinada por medição em campo ou por modelagem hidráulica, γ_s é o peso específico da pedra (tipicamente 26 kN/m³ para granito e basalto), γ_w é o peso específico da água (9,81 kN/m³) e g é a aceleração gravitacional (9,81 m/s²). O resultado dessa equação indica o diâmetro mínimo da pedra que resiste ao arraste hidrodinâmico sem ser mobilizada pelo fluxo.

13.2.1. Espessura da Camada

A espessura mínima do enrocamento (e) deve ser

$$e = 1,5 \cdot D_{50}$$

e nunca inferior a 30 cm, garantindo que as pedras se arranjam em pelo menos duas camadas sobrepostas, criando intertravamento mecânico que impede o deslocamento individual. Em margens submetidas a ondas de embarcações ou variação rápida de nível d'água, a espessura deve ser aumentada para $2,0 \cdot D_{50}$.

13.3. Vegetação no Enrocamento

13.3.1. Espécies Indicadas

A seleção de espécies para vegetação do enrocamento deve priorizar a capacidade de enraizamento em ambiente parcialmente submerso (zona de variação do nível d'água), a tolerância a inundações periódicas e a produção de raízes profundas e densas. As espécies mais indicadas para o contexto brasileiro incluem *Salix* spp. (salgueiro) em zonas temperadas e subtropicais do Sul e Sudeste, com taxa de enraizamento superior a 90% e crescimento rápido (2–3 m/ano); *Mimosa caesalpinifolia* (sabiá) na Caatinga e Tabuleiros Costeiros, com madeira de alta durabilidade natural que resiste à degradação mesmo quando parcialmente submersa; *Gliricidia sepium* (gliricídia) em regiões pantropicais, combinando excelente brotação com fixação biológica de nitrogênio; *Inga* spp. (ingá) em mata ciliar tropical, espécie nativa que reconstitui a vegetação ripária original; além de gramíneas rizomatosas (*Paspalum*, *Cynodon*) nos interstícios superficiais, que proporcionam cobertura rápida e filtração de sedimentos finos.

13.3.2. Instalação

O procedimento de instalação é executado em camadas, iniciando com a preparação da base do talude mediante colocação de filtro geotêxtil não-tecido (gramatura mínima 200 g/m²) ou geotêxtil biodegradável de coco (ver [?@sec-biomantas](#)) sobre o solo natural da margem. Sobre o filtro, assenta-se a primeira camada de pedras, arranjadas com a face mais plana voltada para baixo para maximizar o contato e o intertravamento. As estacas vivas são então inseridas entre as pedras, em ângulo de 15–20° com a horizontal (essa inclinação facilita o enraizamento e direciona o crescimento da copa para fora da face do enrocamento), com as pontas inferiores penetrando no solo subjacente e as superiores projetando-se 20–30 cm além da face do enrocamento. Os interstícios são preenchidos com solo vegetal (mistura de solo local com 20% de composto orgânico). Camadas adicionais são completadas até a cota de projeto, repetindo o procedimento de alternância pedras–estacas–solo, finalizando com semeadura de gramíneas nos interstícios superficiais.

Transição funcional

Após 3–5 anos, as raízes das estacas vivas penetram 1–3 m no solo, criando uma ancoragem biológica que complementa e gradualmente substitui a função mecânica das pedras. O enrocamento evolui de uma estrutura inerte para um ecossistema ripário funcional, com contribuições ecossistêmicas adicionais como habitat para fauna aquática e terrestre, filtração de nutrientes e sedimentos do escoamento lateral, estabilidade térmica da água pela sombra da copa e sequestro de carbono na biomassa e no solo.

13.4. Aplicações Típicas

A Tabela 13.1 orienta o dimensionamento do enrocamento em função da velocidade do fluxo para as situações mais comuns de projeto, desde margens com erosão lenta até vertedouros de barragens.

13. Enrocamento Vegetado

Tabela 13.1.: Dimensionamento de enrocamento por velocidade de fluxo.

Situação	Velocidade do fluxo	D recomendado	Espessura mínima
Margens com erosão lenta	1–2 m/s	10–20 cm	30 cm
Margens com erosão ativa	2–3 m/s	20–35 cm	40–55 cm
Pilares de ponte	3–4 m/s	35–50 cm	55–75 cm
Vertedouros de barragens	> 4 m/s	> 50 cm	> 75 cm

13.5. Custos

O enrocamento simples (sem vegetação) custa entre R\$ 80 e R\$ 150/m², incluindo pedras, filtro geotêxtil, transporte e mão de obra. O enrocamento vegetado situa-se entre R\$ 100 e R\$ 200/m², com o acréscimo correspondendo às estacas vivas, ao solo vegetal, ao composto orgânico e à semeadura de gramíneas. Para comparação, o muro de gabião (ver **?@sec-gabiao-vivo**) varia de R\$ 200 a R\$ 400/m² e o muro de concreto armado de R\$ 800 a R\$ 1.500/m².

O sobrecusto da vegetação (20–30% sobre o enrocamento simples) é justificado pela durabilidade ampliada da obra (as raízes compensam a perda de intertravamento por deslocamento de pedras), pelos serviços ecossistêmicos adicionais (habitat, filtração, paisagem, carbono) e pela redução de custos de manutenção a longo prazo, uma vez que o enrocamento vegetado consolidado dispensa as intervenções periódicas de reposição de pedras que o enrocamento convencional frequentemente exige após cheias excepcionais.

14. Cordões Vegetativos

Cordões Vegetativos e Fascinas {#sec-cordoes-fascinas}

14.0.1. Cordões Vegetativos

Os cordões vegetativos são faixas de vegetação densa (1–3 m de largura) dispostas ao longo de curvas de nível em encostas, formando barreiras biológicas contínuas ao escoamento superficial laminar. Diferentemente dos feixes vivos (ver [?@sec-feixes-drenos](#)), que são estruturas construídas com ramos amarrados em valas, os cordões vegetativos são faixas plantadas de espécies perenes que, após o estabelecimento, formam uma barreira viva permanente, autossustentável e de manutenção mínima.

O mecanismo de funcionamento opera em duas escalas. Em escala superficial, a vegetação densa reduz a velocidade do escoamento laminar por aumento da rugosidade hidráulica, promovendo a deposição dos sedimentos transportados a montante do cordão. Ao longo dos anos, essa deposição acumula uma camada de solo que eleva progressivamente o nível do terreno a montante, criando terraços naturais (fenômeno denominado *sediment wedge*) que suavizam a declividade original da encosta. Em escala subsuperficial, o sistema radicular profundo e denso das espécies utilizadas (particularmente o vetiver, com raízes de até 4 m) aumenta a coesão do solo e a resistência ao cisalhamento, reduzindo a suscetibilidade a deslizamentos rasos. A Figura 14.1 mostra a construção de um cordão vegetativo por entrelaçamento de ramos, evidenciando a técnica de implantação que combina elementos vivos e mortos para obter barreira funcional desde o primeiro dia.

Técnicas complementares de estabilização biológica são também utilizadas em contextos semelhantes. A Figura 14.2 apresenta uma cerca de fascina construída com salgueiro, estrutura biodegradável que estabiliza taludes por entrelaçamento de ramos vivos, enquanto a Figura 14.3 mostra uma barreira de salgueiro em estágio avançado, com as estacas já brotando e formando um cordão vegetativo consolidado.

14.0.2. Espécies

A seleção da espécie é determinante para o sucesso do cordão vegetativo, devendo-se considerar a profundidade e a densidade do sistema radicular, a capacidade de formar barreira densa e impenetrável pelo fluxo, a tolerância a condições edáficas extremas e a facilidade de propagação. A Figura 14.4 demonstra o sistema radicular excepcionalmente profundo e denso do vetiver em análise de campo, onde se observam raízes que penetram até 4 m de profundidade, conferindo ancoragem e coesão ao maciço de solo.

A espécie mais utilizada mundialmente para cordões vegetativos é o vetiver (*Vetiveria zizanioides*), que reúne características excepcionais para a bioengenharia: sistema radicular vertical e profundo (até 4 m), com raízes individuais de resistência à tração de 40–120 MPa (comparável à de aços estruturais de baixa resistência); formação de barreira densa e impenetrável pelo fluxo a partir de 4–6 meses após o plantio; e extrema tolerância a condições adversas, suportando pH de 3 a 11, seca prolongada, encharcamento temporário, salinidade e metais pesados.

14. Cordões Vegetativos

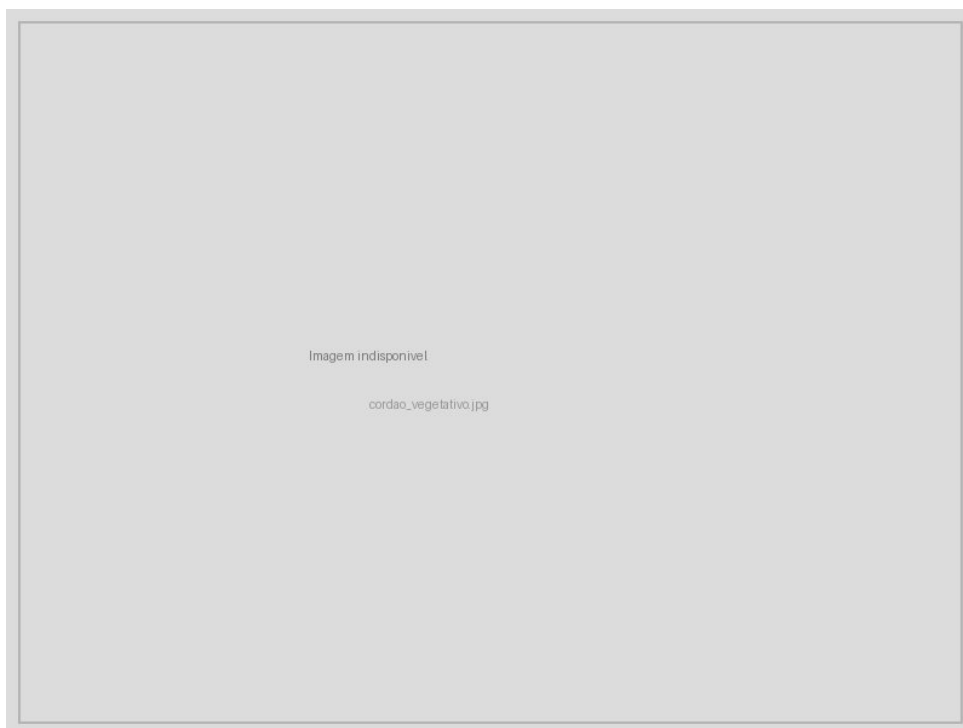


Figura 14.1.: Construção de cordão vegetativo com entrelaçamento de ramos — barreira biológica que retarda o escoamento superficial.

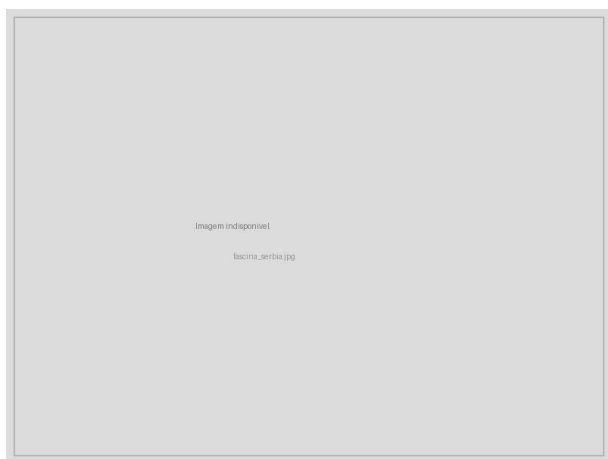


Figura 14.2.: Cerca de fascina com salgueiro — estrutura biodegradável que estabiliza taludes por entrelaçamento de ramos.

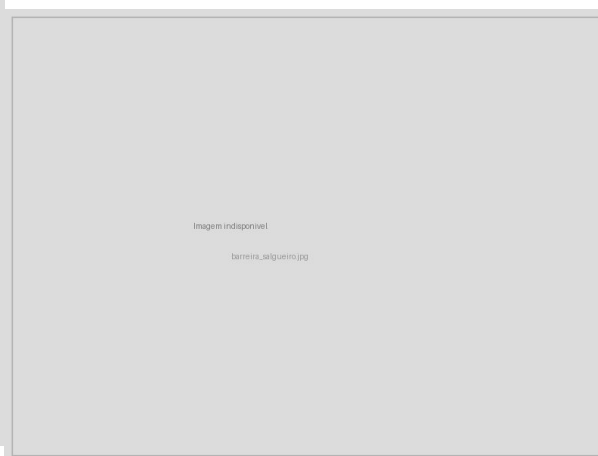


Figura 14.3.: Barreira de salgueiro — cordão vegetativo em estágio avançado com brotamento das estacas.

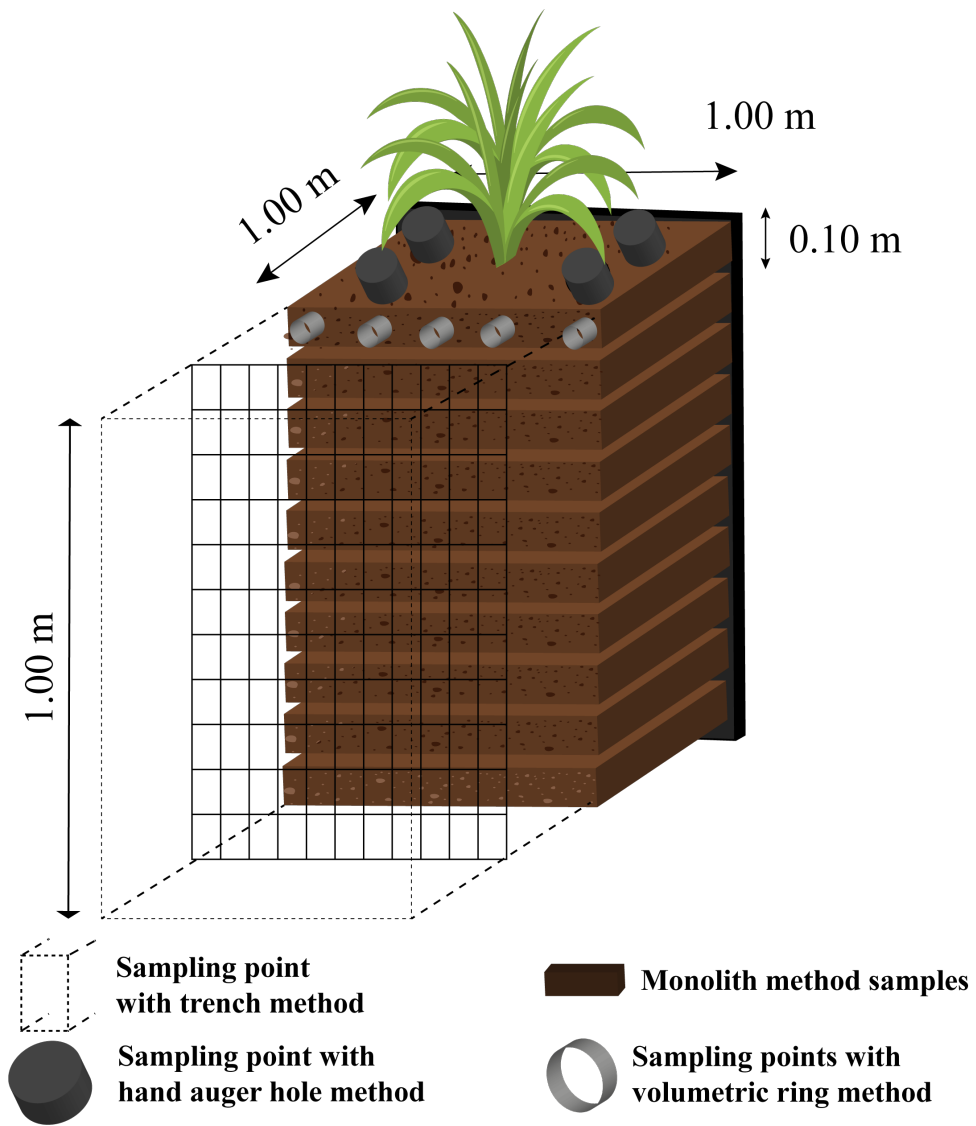


Figura 14.4.: Análise de campo do sistema radicular de vetiver — raízes profundas (até 4 m) que conferem alta resistência à tração.

14. Cordões Vegetativos

Outras opções tropicais incluem o capim-elefante (*Pennisetum purpureum*), que produz biomassa abundante e pode ser utilizado como forrageira; a cana-de-açúcar em curvas de nível, tradicional em áreas de produção familiar; e a citronela (*Cymbopogon nardus*), que adiciona a propriedade repelente de insetos.

14.0.3. Dimensionamento

O dimensionamento de cordões vegetativos envolve dois parâmetros principais. O espaçamento vertical entre cordões deve ser de 1–2 m de desnível, com intervalos menores (1 m) em solos de alta erodibilidade e maiores (2 m) em solos mais estáveis. A largura da faixa plantada deve ser de 1–3 m, sendo que faixas mais largas oferecem maior capacidade de filtração e retenção, porém ocupam mais área produtiva. O espaçamento horizontal resultante entre cordões na encosta é determinado pela relação $E_h = \frac{\Delta h}{S}$, onde Δh é o desnível vertical permitido entre cordões e S é a declividade local (m/m).

14.0.4. Eficiência

Estudos em condições tropicais demonstram que cordões de vetiver produzem redução de 60–70% na velocidade do escoamento superficial laminar, retenção de 70–90% dos sedimentos grossos (areia e silte grosso) e 40–60% dos sedimentos finos, e formação progressiva de terraços naturais a montante (acúmulo de 5–15 cm de solo/ano nos primeiros 3–5 anos). A eficiência aumenta cumulativamente ao longo do tempo, pois os terraços formados reduzem a declividade efetiva entre cordões.

14.1. Fascinas

14.1.1. Fascinas

As fascinas (*fascines*) são cilindros de ramos vivos ou mortos rigidamente amarrados, instalados em valas ao longo de curvas de nível ou na base de taludes. Diferem dos feixes vivos descritos na **sec-feixes-drenos** pela geometria (cilindros compactos), pela aplicação preferencial (base de taludes e margens) e pela maior robustez mecânica.

14.1.2. Tipos

A fascina viva é construída com ramos de espécies com capacidade de rebrota vegetativa (salgueiro, gliricídia, sabiá). Após o enraizamento (30–90 dias em condições favoráveis), transforma-se em uma sebe densa e permanente, tornando-se um cordão vegetativo consolidado.

A fascina inerte é construída com ramos secos ou fibras vegetais sem capacidade de rebrota, desempenhando função exclusivamente mecânica com durabilidade de 1–3 anos, período suficiente para o estabelecimento de vegetação adjacente.

14.1.3. Dimensionamento

Os parâmetros de dimensionamento diferem em função da capacidade de brotação e da necessidade de ancoragem mecânica, conforme sintetizado na Tabela 14.1.

Tabela 14.1.: Dimensionamento de fascinas vivas e inertes.

Parâmetro	Fascina viva	Fascina inerte
Diâmetro	15–30 cm	20–40 cm (maior, para compensar degradação)
Comprimento	2–4 m	2–4 m
Profundidade de enterrio	1/2 do diâmetro	2/3 do diâmetro (maior ancoragem)
Fixação	Estacas vivas a cada 1,0 m	Estacas de madeira a cada 0,8 m
Durabilidade funcional	Permanente (após brotação)	1–3 anos

14.1.4. Instalação

A instalação inicia com a escavação de vala com profundidade igual a metade do diâmetro da fascina (viva) ou dois terços (inerte), seguindo rigorosamente a curva de nível traçada com nível de mangueira ou clinômetro. O cilindro é posicionado na vala e fixado com estacas alternadas entre as faces montante e jusante, criando travamento contra rolamento. Terra é compactada no lado montante e a face é coberta com solo vegetal misturado a sementes de gramíneas.

14.1.5. Aplicações

As fascinas são versáteis, prestando-se à estabilização de bases de taludes (na interface solo-ar), à proteção de margens (submersas na cota de nível d'água), ao controle de ravinas (como micro-barragens transversais, função análoga às paliçadas da **?@sec-palicanas**) e à construção de terraços biodegradáveis em substituição aos terraços de terra.

Combinação com outras técnicas

Fascinas vivas + biomantas (ver **?@sec-biomantas**) + hidrossemeadura (ver **?@sec-hidrossemeadura**) formam um sistema triplamente redundante com proteção em três escalas temporais: proteção imediata pela biomanta (dia 1–180), proteção de médio prazo pela fascina viva enraizando e brotando (mês 3–24), e proteção permanente pela vegetação herbácea e arbustiva consolidada (ano 1 em diante).

15. Gabião Vivo

Gabião Vivo {#sec-gabiao-vivo}

O gabião vivo (*vegetated gabion*) é uma variação do gabião metálico convencional que incorpora estacas vivas e solo vegetal entre as camadas de pedras, promovendo a transição funcional da resistência mecânica do arame para a ancoragem biológica do sistema radicular. Trata-se de uma estrutura de contenção de gravidade (cujo peso próprio resiste ao empuxo do solo) que, ao contrário do gabião convencional, evolui biologicamente ao longo do tempo, tornando-se progressivamente mais resistente à medida que o sistema radicular se desenvolve e o arame se corrói.

Essa estratégia é particularmente relevante em margens fluviais e bases de taludes onde a solicitação mecânica exige uma estrutura rígida nos primeiros anos, mas a durabilidade de longo prazo depende de mecanismos que o arame galvanizado não pode garantir indefinidamente (a vida útil do arame é de 15–25 anos, após o que a corrosão compromete a integridade da cesta). A Figura 15.1 apresenta um gabião convencional em margem fluvial, enquanto a Figura 15.2 mostra um gabião vivo com vegetação já emergente, ilustrando a transição funcional entre as fases estrutural e biológica.



Figura 15.1.: Gabião convencional em margem fluvial — estrutura metálica preenchida com pedras.



Figura 15.2.: Gabião vivo com vegetação emergente — a transição funcional da resistência mecânica para a ancoragem biológica.

15.1. Transição Estrutural

O ciclo de vida do gabião vivo segue três fases distintas, conforme sintetizado na Tabela 15.1. Na fase estrutural (0–5 anos), a estabilidade é garantida integralmente pelo arame e pelas pedras, enquanto as estacas vivas desenvolvem seu sistema radicular. Na fase de transição (5–15 anos), as raízes já contribuem significativamente para a coesão do conjunto, compartilhando a função de resistência com o arame que ainda mantém integridade parcial. Na fase biológica (15–25+ anos), o arame corroído perde função estrutural, mas o sistema radicular já desenvolveu coesão

suficiente (15–25 kPa de coesão radicular) para manter a estabilidade do conjunto, que funciona então como um maciço de solo reforçado por raízes com pedras que contribuem com peso e drenagem.

Tabela 15.1.: Fases da transição funcional do gabião vivo.

Fase	Período	Resistência dominante	Contribuição do arame	Contribuição radicular
Estrutural	0–5 anos	Arame + pedras	100%	0–20%
Transição	5–15 anos	Arame + raízes	60–40%	40–60%
Biológica	15–25+ anos	Raízes + pedras	0–20%	80–100%

i Conceito-chave

A cesta de arame galvanizado tem vida útil de 15–25 anos. Quando o arame se deteriora, o sistema radicular já deve ter desenvolvido coesão suficiente (15–25 kPa) para manter a estabilidade. Essa é a premissa central do projeto: o dimensionamento deve garantir que a taxa de crescimento radicular supere a taxa de corrosão do arame, criando uma janela de segurança na transição.

15.2. Dimensionamento Estrutural

O dimensionamento segue os mesmos princípios das estruturas de contenção por gravidade, exigindo três verificações de estabilidade obrigatórias.

15.2.1. Verificação ao Tombamento

A estrutura deve ser verificada contra rotação em torno da aresta inferior da base, garantindo que os momentos resistentes (peso próprio e eventuais sobrecargas favoráveis) superem os momentos atuantes (empuxo de terra) com fator de segurança mínimo de 1,5

$$FS_{tomb} = \frac{M_{resistente}}{M_{atuante}} \geq 1,5$$

15.2.2. Verificação ao Deslizamento

A resistência ao deslizamento na base da estrutura deve superar o empuxo ativo horizontal do solo com fator de segurança mínimo de 1,5

$$FS_{desl} = \frac{N \cdot \tan \phi + c \cdot B}{E_a} \geq 1,5$$

onde N é a força normal na base (peso próprio da estrutura), ϕ é o ângulo de atrito na interface solo-gabião (tipicamente 30–35° para pedregulho sobre solo compactado), c é a coesão na base (se houver), B é a largura da base do gabião e E_a é o empuxo ativo calculado pela teoria de Rankine ou Coulomb.

15.2.3. Verificação da Capacidade de Carga

A tensão máxima transmitida ao solo de fundação não deve exceder a capacidade de carga admissível do solo

$$FS_{cap} = \frac{q_{ult}}{q_{atuante}} \geq 3,0$$

onde q_{ult} é a capacidade de carga última do solo de fundação, determinada por ensaios de campo (SPT, CPT) ou por formulações teóricas (Terzaghi, Meyerhof).

15.3. Construção

15.3.1. Materiais

A construção do gabião vivo exige cestas de tela de arame galvanizado de dupla torção (malha 8×10 cm, \varnothing 2,7–3,4 mm), conforme ABNT NBR 10514, que devem ser inspecionadas quanto à integridade da galvanização antes da montagem. As pedras devem ter diâmetro de 10–25 cm, ser compactas, resistentes ao intemperismo e não friáveis (teste de fragmentação manual). As estacas vivas (ramos de 2–5 cm de diâmetro, com comprimento igual à largura do gabião mais 30 cm para cada lado) devem ser de espécies com alta taxa de brotação vegetativa. O solo vegetal para preenchimento dos interstícios deve ser uma mistura de solo local com 15–20% de composto orgânico, garantindo fertilidade e retenção hídrica para o desenvolvimento radicular.

15.3.2. Passo a Passo

A construção inicia com a preparação da fundação, que consiste na escavação de uma trincheira de encastramento de 30–50 cm de profundidade e largura igual à base do gabião, regularizada e compactada. As cestas metálicas são então montadas e amarradas com arame da mesma especificação, posicionadas na trincheira e iniciado o preenchimento. O preenchimento é realizado em camadas de 1/3 da altura total, intercalando-se pedras arranjadas manualmente (não despejadas aleatoriamente, para evitar vazios excessivos), estacas vivas horizontais (com pontas projetando 20–30 cm da face frontal para permitir brotação e exposição à luz) e solo vegetal nos interstícios entre as pedras. Após a primeira e a segunda camada, instalam-se tirantes internos de arame, tensionados entre as faces frontal e posterior, para manter a geometria da cesta sob carga e prevenir o abaulamento. Após a terceira camada e os tirantes superiores, fecha-se e amarra-se a tampa. O procedimento finaliza com o plantio de gramíneas e herbáceas na face frontal exposta, utilizando sementes ou mudas inseridas nos interstícios superficiais.

15.4. Coesão Radicular

O incremento de coesão proporcionado pelo sistema radicular é o mecanismo central que garante a funcionalidade de longo prazo do gabião vivo. O crescimento segue uma curva sigmoideal, com fase inicial lenta (enraizamento e adaptação), fase exponencial (rápido desenvolvimento radicular) e fase de estabilização (maturidade do sistema)

$$c_r(t) = c_{r,max} \cdot \frac{1}{1 + e^{-k(t-t_0)}}$$

onde $c_{r,max}$ é a coesão radicular máxima (15–25 kPa para espécies arbóreas tropicais), k é a taxa de crescimento (parâmetro espécie-específico) e t_0 é o tempo de inflexão da curva (tipicamente 5–8 anos para espécies tropicais de rápido crescimento). A importância prática dessa equação é que ela permite ao projetista estimar em que ano a contribuição radicular atingirá o limiar necessário para compensar a perda de integridade do arame, validando a viabilidade da transição funcional.

15.5. Normas Aplicáveis

O projeto e a construção de gabiões vivos devem atender a um conjunto de normas técnicas que regem tanto a componente estrutural metálica quanto os critérios de estabilidade geotécnica. No âmbito brasileiro, aplicam-se a ABNT NBR 10514 (gabiões e colchões reno, que especifica materiais, fabricação e montagem), a DNIT 062 (especificação para contenções com gabiões em obras rodoviárias). No âmbito internacional, aplicam-se a ASTM A975 (gabião metálico, incluindo requisitos de galvanização e resistência mecânica da malha) e a EN 10223-3 (tela de dupla torção, requisitos dimensionais e mecânicos da malha hexagonal).

15.6. Custos Comparativos

A Tabela 15.2 compara o custo por metro cúbico de diferentes soluções de contenção, posicionando o gabião vivo no contexto das alternativas disponíveis.

Tabela 15.2.: Custos comparativos de estruturas de contenção.

Solução	Custo (R\$/m ³)	Vida útil estimada
Gabião convencional	350–550	15–25 anos (limitada pelo arame)
Gabião vivo	400–650	50+ anos (transição biológica)
Muro de concreto armado	800–1.500	50–80 anos
Solo reforçado com geossintético	500–900	30–50 anos

O gabião vivo apresenta sobrecusto de 15–20% em relação ao gabião convencional, equivalente ao custo das estacas vivas, do solo vegetal e da mão de obra adicional de plantio. Esse investimento adicional é recuperado pela extensão da vida útil funcional (de 15–25 para 50+ anos), pela eliminação da necessidade de substituição periódica das cestas corroídas e pelos serviços ecossistêmicos gerados (habitat, paisagem, carbono), que conferem ao gabião vivo uma relação custo-benefício de ciclo de vida (LCC) superior a todas as alternativas listadas.

16. Parede Krainer

Parede Krainer {#sec-parede-krainer}

A parede Krainer (*Krainer wall* ou *crib wall*) é uma estrutura de contenção em grelha de troncos de madeira preenchida com solo e vegetação. Originária dos Alpes austríacos (região da Caríntia), foi desenvolvida para estabilizar encostas montanhosas e margens de rios torrenciais, sendo posteriormente adaptada para uso em regiões tropicais utilizando madeiras locais (eucalipto, sabiá, acácia). O princípio construtivo é elegante em sua simplicidade: troncos dispostos em grelha tridimensional formam células prismáticas que são preenchidas com solo, funcionando como uma estrutura de contenção por gravidade (resistência pelo peso próprio) com capacidade de autovegetação nas faces e no topo.

A principal vantagem da parede Krainer sobre muros de concreto armado ou gabiões é a integração paisagística: após 2–3 anos, a vegetação cobre completamente a estrutura, que se torna indistinguível de um talude natural vegetado. Essa característica é particularmente valorizada em áreas de proteção ambiental, margens de rios em zonas urbanas e taludes viários em regiões turísticas. A Figura 16.1 mostra uma parede Krainer instalada, onde se observa a grelha de troncos e o preenchimento com solo, com vegetação em processo de colonização da face frontal.



Figura 16.1.: Parede Krainer instalada — grelha de troncos preenchida com solo e vegetação para contenção de encostas.

16.1. Tipologia

A parede Krainer pode ser construída em duas configurações estruturais, cuja escolha depende da altura necessária e das solicitações mecânicas. A Figura 16.2 mostra uma parede Krainer dupla em estágio avançado de colonização vegetal, enquanto a Figura 16.3 apresenta o corte transversal esquemático que detalha o arranjo construtivo dos troncos e o preenchimento com solo.



Figura 16.2.: Parede Krainer dupla em estágio avançado — vegetação já estabelecida entre os troncos.

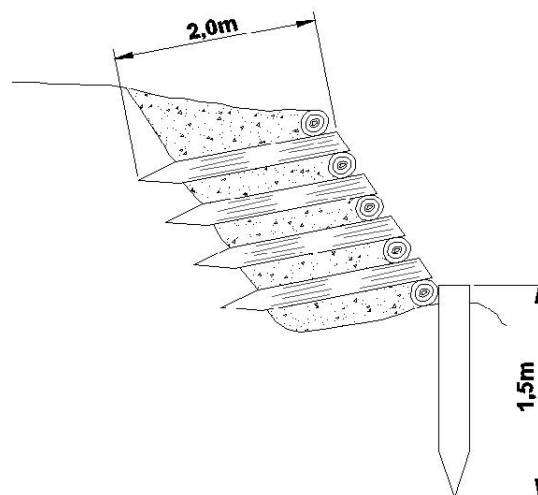


Figura 16.3.: Corte transversal esquemático da parede Krainer — mostrando o arranjo de troncos e o preenchimento com solo.

16.1.1. Parede Krainer Simples

A parede simples consiste em uma grelha de troncos em uma única direção (longitudinal), apoiados em troncos transversais curtos que funcionam como consolos. A altura máxima recomendada é de 2,0 m, adequada para estabilização de pequenos taludes, bases de encostas e cabeceiras de voçorocas. A profundidade de embutimento (comprimento dos troncos transversais) deve ser de pelo menos $0,5 \times$ a altura, garantindo ancoragem suficiente no maciço de solo a montante.

16.1.2. Parede Krainer Dupla

A parede dupla emprega grelha de troncos em duas direções (longitudinal + transversal), formando células prismáticas tridimensionais de alta estabilidade mecânica. A altura máxima recomendada é de 4,0 m, sendo a configuração adequada para margens fluviais, taludes viários de grande altura e encostas com risco geotécnico. A robustez estrutural é significativamente superior à da parede simples, pois os troncos transversais atravessam toda a seção da parede (não são consolos) e criam intertravamento mecânico em ambas as direções.

16.2. Dimensionamento Estrutural

O dimensionamento da parede Krainer segue os princípios das estruturas de contenção por gravidade, de forma análoga ao gabião vivo (ver [?@sec-gabiao-vivo](#)).

16.2.1. Geometria

A base (B) da parede deve ser igual ou superior a $0,5 \cdot H$ (mínimo absoluto de 1,0 m), onde H é a altura total da parede. A altura máxima (H) é de 4,0 m para paredes duplas e 2,0 m para simples. A face frontal deve ter inclinação de 10 a 15° em relação à vertical (inclinada para trás), o que desloca o centro de gravidade para o interior do maciço e melhora a segurança ao tombamento. Os troncos devem ter diâmetro de 15–30 cm (diâmetros maiores para paredes mais altas), com espaçamento entre troncos longitudinais de 30–60 cm (vãos que permitem a passagem de vegetação e drenagem sem comprometer a retenção do solo de preenchimento).

16.2.2. Verificação de Estabilidade

As verificações de estabilidade seguem as mesmas expressões apresentadas para o gabião vivo

$$FS_{tomb} \geq 1,5 \quad ; \quad FS_{desl} \geq 1,5 \quad ; \quad FS_{cap} \geq 3,0$$

16.2.3. Peso Específico da Estrutura

Para o cálculo das forças resistentes, é necessário determinar o peso específico aparente da estrutura preenchida (γ_{ap}), que depende da proporção volumétrica de madeira e solo no interior da grelha

$$\gamma_{ap} = n_{madeira} \cdot \gamma_{madeira} + (1 - n_{madeira}) \cdot \gamma_{solo}$$

onde $n_{madeira}$ é a fração volumétrica da madeira (tipicamente 15–25%, dependendo do diâmetro dos troncos e do espaçamento), $\gamma_{madeira}$ é o peso específico da madeira (5–10 kN/m³, conforme a espécie) e γ_{solo} é o peso específico do solo de preenchimento compactado (16–20 kN/m³). Para uma parede com 20% de madeira de eucalipto ($\gamma = 7$ kN/m³) e solo compactado ($\gamma = 18$ kN/m³), $\gamma_{ap} \approx 15,8$ kN/m³.

16.3. Seleção de Madeiras Tropicais

A durabilidade da madeira é o fator limitante da vida útil da componente estrutural da parede Krainer. A seleção deve considerar a durabilidade natural (resistência à biodeterioração sem tratamento), a densidade (que influencia o peso específico e a resistência mecânica) e a disponibilidade regional. A Tabela 16.1 compara as principais opções para o contexto tropical brasileiro.

Tabela 16.1.: Madeiras tropicais para paredes Krainer.

Espécie	Densidade (kg/m ³)	Durabilidade natural	Disponibilidade
<i>Eucalyptus</i> spp.	550–800	5–15 anos	Alta
<i>Mimosa caesalpinii-folia</i> (sabiá)	800–1.000	10–20 anos	Média (Nordeste)
<i>Acacia mangium</i>	500–650	5–10 anos	Média

Espécie	Densidade (kg/m ³)	Durabilidade natural	Disponibilidade
<i>Bambusa</i> spp. (bambu)	400–700	3–5 anos (tratado)	Alta
<i>Tectona</i> <i>grandis</i> (teca)	550–700	20+ anos	Baixa

No contexto tropical brasileiro, o eucalipto tratado é a escolha mais frequente pela combinação de alta disponibilidade e custo acessível, embora sua durabilidade natural seja inferior à do sabiá (*Mimosa caesalpiniiifolia*), espécie nativa do Nordeste cuja madeira extremamente densa (800–1.000 kg/m³) dispensa tratamento químico em muitas aplicações. O bambu, apesar de abundante, é recomendado somente para estruturas temporárias (3–5 anos mesmo com tratamento), enquanto a teca oferece a melhor durabilidade natural (20+ anos), porém com disponibilidade e custo limitantes para projetos de grande escala.

Tratamento preservativo

Madeiras não naturalmente duráveis devem receber tratamento com CCA (Arseniato de Cobre Cromatado) ou CCB (Borato de Cobre Cromatado) em autoclave, que impregna a madeira com sais metálicos fungicidas e inseticidas sob pressão, aumentando a durabilidade para 15–25 anos. O tratamento deve ser realizado com a madeira já cortada nas dimensões de projeto, pois cortes posteriores expõem o cerne não tratado à biodeterioração.

16.4. Estacas Vivas

A inserção de estacas vivas entre os troncos é o elemento que diferencia a parede Krainer convencional (estrutura exclusivamente de madeira morta) da versão de bioengenharia de solos. As estacas são segmentos de ramos de espécies com alta capacidade de propagação vegetativa, as mesmas empregadas em gabiões vivos e enrocamento vegetado (ver [?@sec-gabiao-vivo](#) e [?@sec-enrocamento](#)), com diâmetro de 3–8 cm e comprimento suficiente para transpor toda a seção da parede mais 30 cm para cada lado (garantindo contato com o solo natural a montante e exposição à luz na face frontal). As estacas são inseridas horizontalmente entre camadas de troncos, em densidade de 3–5 estacas por m² de face, preferencialmente durante o período de dormência vegetativa (estação seca) para maximizar as taxas de enraizamento. Com o brotamento e o desenvolvimento radicular, as estacas desempenham três funções simultâneas: reforço mecânico do solo de preenchimento por coesão radicular, drenagem biológica por evapotranspiração e integração paisagística progressiva.

16.5. Construção

O arranjo tridimensional da estrutura pode ser visualizado na Figura 16.4, enquanto a Figura 16.5 detalha as peças componentes individuais (troncos longitudinais, transversais e estacas vivas) e sua posição relativa no conjunto.

A construção segue uma sequência de empilhamento por camadas. A primeira etapa consiste na escavação da fundação, uma trincheira de encastramento com profundidade de 40–60 cm e largura igual à base de projeto (B), nivelada e compactada para distribuir as tensões de

16. Parede Krainer

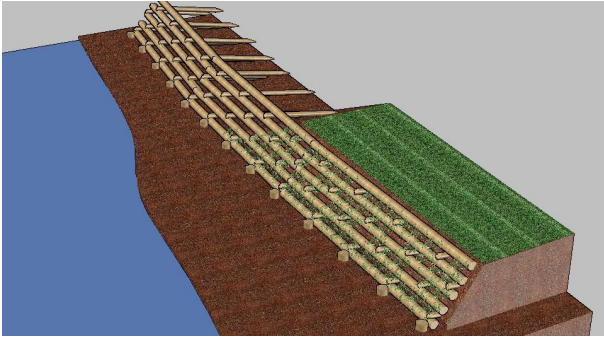


Figura 16.4.: Vista tridimensional da parede Krainer — arranjo estrutural dos troncos longitudinais e transversais formando células prismáticas.

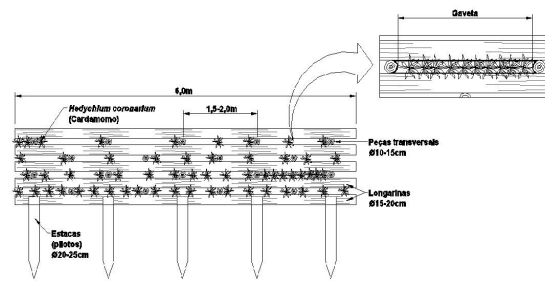


Figura 16.5.: Peças componentes da parede Krainer — troncos longitudinais, transversais e estacas vivas antes da montagem.

contato. Na segunda etapa, os troncos longitudinais de base são posicionados na trincheira com o espaçamento definido (30–60 cm), e os troncos transversais são apoiados perpendicularmente sobre eles, fixados com pregos de aço galvanizado (\emptyset 8–10 mm) ou parafusos estruturais nos pontos de cruzamento. Na terceira etapa, as células formadas pela grelha são preenchidas com solo vegetal em camadas de 15–20 cm, levemente compactadas (compactação excessiva impede o desenvolvimento radicular das estacas vivas). A quarta etapa consiste na inserção horizontal das estacas vivas entre os troncos, com a extremidade basal voltada para o interior do maciço (contato com umidade) e a extremidade apical ligeiramente projetada na face frontal. Esse ciclo de empilhamento (troncos → fixação → preenchimento → estacas vivas) é repetido até atingir a altura de projeto, finalizando com o plantio de gramíneas e arbustos no topo e nas faces expostas para proteção superficial imediata contra erosão laminar.

16.6. Drenagem

A parede Krainer é intrinsecamente autordrenante graças aos espaços entre troncos, que funcionam como canais de percolação distribuídos ao longo de toda a face frontal, impedindo o acúmulo de poropressões positivas no interior da estrutura (fator crítico de instabilidade em muros de arrimo convencionais). No entanto, em solos com alto teor de finos (siltes e argilas dispersivas), os espaços entre troncos podem ser gradualmente colmatados pelo carreamento de partículas finas, reduzindo a capacidade drenante. Para esses casos, recomenda-se a instalação de barbacãs de PVC (\emptyset 50 mm) a cada 2–3 m² de face, com inclinação descendente de 5° para o exterior, além de uma camada de brita ou manta geotêxtil não tecida na interface entre o solo de preenchimento e a face frontal da parede, funcionando como filtro que retém finos mas permite a passagem de água.

16.7. Aplicações

A Tabela 16.2 sintetiza as aplicações típicas da parede Krainer, indicando a altura usual e o tipo de parede recomendado para cada cenário. A versatilidade da técnica permite seu emprego desde pequenas intervenções em cabeceiras de voçorocas até obras de maior porte em margens fluviais, sempre com a vantagem da progressiva integração paisagística que elimina a necessidade de revestimentos estéticos posteriores.

Tabela 16.2.: Aplicações típicas da parede Krainer.

Aplicação	Altura típica	Tipo de parede	Observação
Margens de rios	1,5–3,0 m	Dupla	Exige proteção de base contra solapamento
Taludes viários	1,0–2,5 m	Simples ou dupla	Compatível com paisagismo rodoviário
Estabilização de encostas	2,0–4,0 m	Dupla	Pode ser escalonada em bancadas
Controle de voçorocas	1,0–2,0 m	Simples	Associar a paliçadas a montante (? @sec-palicas)

17. Canaleta Verde

Canaleta Verde {#sec-canaleta-verde}

A canaleta verde (*vegetated swale* ou *bioswale*) é um canal de drenagem aberto com seção trapezoidal ou parabólica, revestido com vegetação herbácea densa, que funciona simultaneamente como condutor hidráulico e como sistema de tratamento por infiltração e filtração. Diferentemente das canaletas de concreto (estruturas impermeáveis que apenas transportam o escoamento), a canaleta verde intercepta, desacelera e filtra o escoamento superficial, promovendo a remoção de sedimentos, nutrientes e poluentes difusos antes que atinjam os corpos hídricos receptores. A Figura 17.1 ilustra uma canaleta verde com vegetação herbácea plenamente estabelecida, onde a rugosidade da cobertura vegetal reduz a velocidade do escoamento e a superfície permeável permite infiltração ao longo de todo o percurso.



Figura 17.1.: Canaleta verde com vegetação herbácea estabelecida — canal de drenagem naturalizado que combina condução hidráulica com tratamento por infiltração.

17.1. Funções

A canaleta verde desempenha cinco funções hidráulicas e ambientais simultâneas, o que justifica sua classificação como técnica de infraestrutura verde multifuncional. A primeira é a condução controlada do escoamento superficial, substituindo tubulações enterradas por um canal aberto

que pode ser inspecionado visualmente e mantido com baixo custo operacional. A segunda é a infiltração para recarga do aquífero, com taxas que dependem da permeabilidade do solo subjacente e da altura da vegetação (canaletas em solos arenosos podem infiltrar 30–60% do volume escoado). A terceira é a filtração de sedimentos e nutrientes pela interação entre o escoamento e a vegetação densa, que funciona como filtro biológico com eficiência de remoção de 60–85% para sólidos suspensos. A quarta é o amortecimento do pico de cheia por laminação, em que a rugosidade vegetal retarda o escoamento e distribui o hidrograma ao longo de um período mais prolongado. A quinta é a integração paisagística com geração de serviços ecossistêmicos (habitat para polinizadores, corredor ecológico, sequestro de carbono). A Figura 17.2 mostra a integração entre a canaleta verde e a técnica de hidrossemeadura (ver [?@sec-hidrossemeadura](#)), utilizada para o estabelecimento rápido da cobertura vegetal protetora no canal recém-construído.



Figura 17.2.: Canaleta verde com hidrossemeadura — integração de drenagem naturalizada com revegetação por hidrossemeadura para estabelecimento rápido da cobertura vegetal.

17.2. Dimensionamento Hidráulico

O dimensionamento hidráulico da canaleta verde segue os mesmos princípios aplicados a canais abertos em regime permanente e uniforme, com a particularidade de que o coeficiente de resistência ao escoamento (n de Manning) é significativamente maior do que em canais revestidos com concreto, pois a rugosidade da vegetação é o elemento que confere à canaleta suas funções de filtração e amortecimento.

17.2.1. Equação de Manning

A vazão de projeto (Q) é calculada pela equação de Manning para escoamento uniforme em canais abertos

$$Q = \frac{1}{n} \cdot A \cdot R_h^{2/3} \cdot S^{1/2}$$

onde Q é a vazão (m^3/s), n é o coeficiente de Manning (adimensional, função da rugosidade vegetal), A é a área da seção molhada (m^2), R_h é o raio hidráulico (A/P , onde P é o perímetro molhado, em metros), e S é a declividade longitudinal do canal (m/m). Para canais vegetados, o coeficiente n varia com a espécie, a altura e a densidade da vegetação, conforme a Tabela 17.1.

Tabela 17.1.: Coeficientes de Manning para canais vegetados.

Cobertura vegetal	n de Manning	Observação
Gramma curta (< 10 cm)	0,030–0,035	Gramados manejados com roçada frequente
Gramma média (10–25 cm)	0,035–0,045	Condição típica de manutenção
Gramma alta (> 25 cm)	0,045–0,060	Maior filtração, menor capacidade de vazão
Vegetação densa + arbustos	0,060–0,100	Máxima retenção de sedimentos

A escolha do valor de n implica um compromisso de projeto entre capacidade hidráulica e eficiência de tratamento. Valores baixos de n (gramma curta) maximizam a vazão conduzida, mas reduzem a filtração e a infiltração; valores altos de n (vegetação densa) maximizam a remoção de poluentes, mas exigem seções maiores para conduzir a mesma vazão de projeto.

17.2.2. Regime de escoamento

Para que a canaleta funcione como sistema de filtração e infiltração sem causar erosão no leito ou nas laterais, o escoamento deve ser mantido em regime subcrítico, condição verificada pelo número de Froude

$$Fr = \frac{V}{\sqrt{g \cdot y}} < 1,0$$

onde V é a velocidade média do escoamento (m/s), g é a aceleração gravitacional ($9,81 \text{ m}/\text{s}^2$) e y é a profundidade do escoamento (m). O regime subcrítico ($Fr < 1$) garante que a energia cinética do escoamento é inferior à energia potencial (profundidade), o que significa que perturbações se propagam para montante e o escoamento é controlável. Em regime supercrítico ($Fr > 1$), a velocidade excessiva causa erosão na base da canaleta e impede a sedimentação de partículas.

17.2.3. Tensão Cisalhante Admissível

A estabilidade do revestimento vegetal depende da tensão cisalhante (τ) exercida pelo escoamento sobre o leito, que não deve exceder a resistência da cobertura vegetal

$$\tau = \gamma_w \cdot R_h \cdot S$$

onde γ_w é o peso específico da água (9,81 kN/m³), R_h é o raio hidráulico (m) e S é a declividade longitudinal. A Tabela 17.2 apresenta os valores admissíveis de tensão cisalhante e velocidade máxima para diferentes tipos de cobertura, que devem ser respeitados para evitar o arrancamento da vegetação e a consequente erosão do canal.

Tabela 17.2.: Tensão cisalhante e velocidade admissíveis para canais vegetados.

Cobertura	τ_{adm} (Pa)	V_{max} (m/s)	Aplicação típica
Gramma curta	30–50	1,5–2,0	Declividades baixas (< 3%)
Gramma densa	50–100	2,0–2,5	Declividades moderadas (3–5%)
Gramma + arbustos	100–170	2,5–3,0	Declividades maiores ou picos de cheia

17.2.4. Seção Trapezoidal

A seção trapezoidal é a geometria mais utilizada para canaletas verdes, pois combina facilidade construtiva com estabilidade dos taludes laterais. A área da seção molhada (A) e o perímetro molhado (P) são calculados por

$$A = (b + m \cdot y) \cdot y$$

$$P = b + 2y\sqrt{1 + m^2}$$

onde b é a largura da base (m), m é a inclinação dos taludes laterais expressa como relação horizontal/vertical (H:V), e y é a profundidade do escoamento (m). A inclinação lateral mínima recomendada é de 3:1 (H:V), o que facilita a mecanização da roçada, permite o acesso seguro para manutenção e reduz o risco de instabilidade dos taludes laterais.

17.3. Projeto Típico

A Tabela 17.3 sintetiza os parâmetros recomendados para o projeto de canaletas verdes em condições típicas (áreas urbanas, rurais ou viárias). Esses valores devem ser ajustados em função da vazão de projeto (calculada pelo método racional ou por modelagem hidrológica), das características do solo local e dos objetivos de tratamento (filtração, infiltração ou amortecimento).

Tabela 17.3.: Parâmetros de projeto para canaleta verde.

Parâmetro	Valor recomendado	Justificativa
Largura da base	0,5–2,0 m	Mínimo para manutenção mecanizada
Profundidade	0,3–0,6 m	Limita velocidade e garante contato com vegetação
Inclinação lateral	3:1 (H:V)	Estabilidade e acessibilidade
Declividade longitudinal	1–5%	< 1% causa empoçamento; > 5% exige proteção adicional

17. Canaleta Verde

Parâmetro	Valor recomendado	Justificativa
Borda livre	15 cm	Segurança contra transbordamento
Velocidade máxima	2,0 m/s	Proteção do revestimento vegetal

17.4. Vantagens sobre Canaletas de Concreto

A Tabela 19.2 demonstra que a canaleta verde é superior à canaleta de concreto em praticamente todos os critérios ambientais e econômicos, com custo de implantação 50–70% menor, capacidade de infiltração e filtração ausente em canais impermeáveis, e manutenção simplificada (roçada mecânica versus limpeza de detritos em canaleta de concreto). A única vantagem da canaleta de concreto é a maior capacidade hidráulica por unidade de área de seção (menor n de Manning), o que pode ser relevante em áreas com espaço extremamente limitado para a seção do canal.

Tabela 17.4.: Comparativo entre canaletas de concreto e canaletas verdes.

Critério	Canaleta de concreto	Canaleta verde
Custo de implantação	R\$ 150–400/m	R\$ 40–120/m
Infiltração	Nula	30–60% do volume
Remoção de sedimentos	~ 0%	60–85%
Manutenção	Limpeza mecânica	Roçada 2–4×/ano
Vida útil	30+ anos	Permanente (vegetal)
Emissão de CO	Alta (concreto)	Sequestro

Infraestrutura verde

Canaletas verdes são um componente central da infraestrutura verde urbana (*green infrastructure*), reconhecidas como solução baseada na natureza (NbS) pela IUCN e pelo Banco Mundial. Sua integração com outras técnicas de bioengenharia, como biomantas (**sec-biomantas**) e hidrossemeadura (**sec-hidrossemeadura**), potencializa a eficiência de tratamento e o estabelecimento da cobertura vegetal protetora.

Parte III.

Parte III — Geotêxteis e Inovação

18. Geotêxteis

Geotêxteis no Controle de Erosão {#sec-geotexteis}

Os geotêxteis são produtos têxteis permeáveis utilizados em contato direto com o solo para desempenhar funções de filtração, separação, reforço, drenagem e proteção superficial. No contexto da bioengenharia de solos, os geotêxteis controlam a erosão superficial ao reduzir o impacto direto das gotas de chuva (*splash erosion*), diminuir a velocidade do escoamento superficial e reter partículas de solo, enquanto permitem a infiltração de água e o estabelecimento progressivo da cobertura vegetal. A Figura 18.1 mostra um talude revestido com geotêxtil, onde o material têxtil fornece proteção mecânica imediata ao solo exposto enquanto a vegetação se estabelece através das aberturas da malha.



Figura 18.1.: Talude revestido com geotêxtil — o material têxtil protege o solo contra erosão enquanto permite o crescimento da vegetação através da sua estrutura permeável.

18.1. Classificação

Os geotêxteis podem ser classificados segundo dois critérios fundamentais: o processo de fabricação (que define a estrutura interna e as propriedades mecânicas) e a matéria-prima (que define a durabilidade e a pegada ambiental). A caracterização laboratorial dessas propriedades requer ensaios normatizados conduzidos em equipamentos específicos. A Figura 18.2 ilustra uma máquina universal de ensaios mecânicos, utilizada para determinar a resistência à tração e ao

puncionamento, enquanto a Figura 18.3 mostra uma câmara de degradação acelerada que simula envelhecimento por radiação UV e intempéries para avaliar a durabilidade em campo.

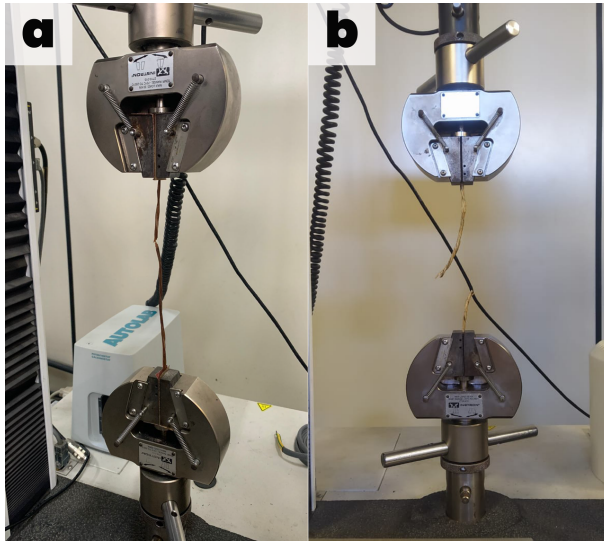


Figura 18.2.: Máquina universal de ensaios — equipamento para medição de resistência à tração e perfuração dos geotêxteis conforme normas ABNT e ASTM.

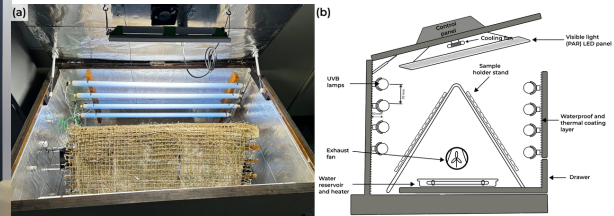


Figura 18.3.: Câmara de degradação acelerada — simulação de envelhecimento UV e intempéries para avaliar durabilidade em condições de exposição contínua.

18.1.1. Por Processo de Fabricação

Os geotêxteis tecidos são fabricados pelo entrelaçamento de fibras em trama regular (urdume e trama), produzidos em máquinas de tecelagem industrial. Essa estrutura ordenada confere alta resistência à tração em uma ou duas direções (dependendo da distribuição de fios), com alongamento na ruptura relativamente baixo (10–30%), o que os torna adequados para aplicações de reforço de solo e contenção onde deformações excessivas são indesejáveis. Os geotêxteis não tecidos, por sua vez, são compostos por fibras dispostas aleatoriamente e unidas por agulhamento mecânico, termofusão ou ligação química. A disposição aleatória das fibras confere alta permeabilidade em todas as direções, deformabilidade elevada (alongamento de 50–100%+) e distribuição uniforme de poros, características que os tornam ideais para funções de filtração, drenagem e proteção de geomembranas.

18.1.2. Por Matéria-Prima

Os geotêxteis sintéticos são fabricados a partir de polímeros derivados do petróleo, principalmente polipropileno (PP), poliéster (PET) e polietileno (PE), com durabilidade de 50–100+ anos em condições de aterramento (ausência de UV). Os geotêxteis naturais (ou biogeotêxteis) são fabricados a partir de fibras vegetais como coco, juta, sisal e taboa (*Typha*), com tempo de biodegradação de 1–5 anos conforme a fibra e as condições ambientais (ver ?@sec-biotexteis). A biodegradabilidade não é uma desvantagem, mas uma característica de projeto: em aplicações de controle de erosão, o geotêxtil deve durar apenas o tempo necessário para o estabelecimento da cobertura vegetal (tipicamente 6–24 meses), após o qual a vegetação assume a função protetora e o material se incorpora ao solo como matéria orgânica.

18.2. Funções Geotécnicas

A Tabela 18.1 sintetiza as seis funções geotécnicas que os geotêxteis podem desempenhar, com o mecanismo físico envolvido e a aplicação correspondente em bioengenharia de solos. Em muitas situações de campo, um único geotêxtil desempenha duas ou mais funções simultaneamente (por exemplo, filtração + separação na base de enrocamento vegetado, conforme ?@sec-enrocamento).

Tabela 18.1.: Funções geotécnicas de geotêxteis e suas aplicações em bioengenharia.

Função	Mecanismo	Aplicação na bioengenharia
Filtração	Retêr partículas de solo, permitir passagem de água	Drenos, base de enrocamento, interface solo-pedra
Separação	Impedir mistura de camadas granulometricamente distintas	Interface solo-brita em canaletas verdes (?@sec-canaleta-verde)
Reforço	Resistir a esforços de tração no interior do solo	Taludes íngremes, solo reforçado em paredes Krainer (?@sec-parede-krainer)
Proteção	Absorver energia de impacto	Proteção de geomembranas em aterros
Drenagem	Conduzir fluidos no plano do geotêxtil	Geodrenos verticais e horizontais
Controle de erosão	Cobrir e proteger superfície exposta	Biomantas (?@sec-biomantas), TRM

18.3. Propriedades

18.3.1. Mecânicas

As propriedades mecânicas fundamentais determinam o desempenho estrutural do geotêxtil e incluem a resistência à tração (kN/m, medida pelo ensaio de faixa larga conforme ABNT NBR 12824, que aplica carga distribuída em uma amostra de 200 mm de largura até a ruptura), o alongamento na ruptura (% de deformação máxima antes da ruptura, indicador da ductilidade do material), a resistência ao puncionamento (kN, medida pelo ensaio CBR conforme ABNT NBR 13359, que simula a perfuração por pedras pontiagudas ou raízes) e a resistência ao rasgo (kN, ensaio trapezoidal que avalia a propagação de rasgos a partir de defeitos pré-existentes).

18.3.2. Hidráulicas

As propriedades hidráulicas determinam o comportamento do geotêxtil como filtro e dreno, e compreendem a permissividade (ψ , s^{-1}), que indica a capacidade de fluxo perpendicular ao plano do geotêxtil (vazão por unidade de área sob gradiente hidráulico unitário), a transmissividade (θ , m^2/s), que mede a capacidade de fluxo no plano do geotêxtil (relevante para funções de drenagem), e a abertura de filtração (O_{95} , mm), que define o diâmetro da partícula correspondente ao percentil de 95% da distribuição de tamanhos de poros (indica a maior partícula que pode passar através do geotêxtil).

18.3.3. Critério de Filtração

Para que o geotêxtil desempenhe adequadamente a função de filtro sem colmatar (entupir com partículas finas) nem permitir a passagem excessiva de solo (piping interno), a abertura de filtração deve satisfazer simultaneamente dois critérios de projeto

$$O_{95} < (2 \text{ a } 3) \cdot D_{85,solo}$$

que garante a retenção das partículas de solo (critério de retenção), e

$$O_{95} > (1 \text{ a } 2) \cdot D_{15,solo}$$

que garante a passagem de água sem acúmulo de poropressões (critério de permeabilidade). Os parâmetros D_{85} e D_{15} referem-se aos diâmetros correspondentes a 85% e 15% da curva granulométrica do solo adjacente, respectivamente.

18.4. Geotêxteis no Baixo São Francisco

A experiência de campo no Baixo São Francisco constitui um dos estudos de caso mais abrangentes sobre biogeotêxteis em ambiente tropical no Brasil. A aplicação de biotêxteis de fibras de coco, juta e sisal na proteção de taludes marginais do rio São Francisco em Sergipe e Alagoas, monitorada ao longo de múltiplos ciclos hidrológicos, demonstrou resultados expressivos. A Figura 18.4 apresenta a coleta de dados em campo, ilustrando o protocolo de monitoramento da performance dos geotêxteis em taludes marginais sujeitos à variação de nível do rio. Os resultados indicaram redução de 90–95% na perda de solo no primeiro ano de instalação, cobertura vegetal superior a 80% em 90 dias sob biomantas de fibra de coco, biodegradação controlada em 2–5 anos (período suficiente para o pleno estabelecimento vegetal) e custo 40–60% inferior ao gabião metálico para a mesma extensão protegida.



Figura 18.4.: Coleta de dados em campo no Baixo São Francisco — monitoramento da performance dos geotêxteis em taludes marginais do rio.

18.5. Ensaios Normalizados

A caracterização dos geotêxteis é regulamentada por normas técnicas da ABNT (Brasil) e da ASTM (internacional), que definem os procedimentos de ensaio, as dimensões dos corpos de prova e os critérios de aceitação. A Tabela 18.2 apresenta os ensaios fundamentais e as normas correspondentes, que devem ser indicados na especificação técnica de qualquer projeto de bioengenharia que empregue geotêxteis.

Tabela 18.2.: Ensaios normalizados para geotêxteis.

Ensaio	Norma ABNT	Norma ASTM	Propriedade medida
Tração faixa larga	NBR 12824	D4595	Resistência à tração e alongamento
Puncionamento CBR	NBR 13359	D6241	Resistência à perfuração
Rasgo trapezoidal	NBR 15314	D4533	Resistência à propagação de rasgo
Permissividade	NBR 15223	D4491	Capacidade de fluxo perpendicular
Abertura de filtração	NBR 12956	D4751	Tamanho efetivo de poros
Massa por unidade de área	NBR 12568	D5261	Gramatura (g/m ²)

i Tendência

A substituição progressiva de geossintéticos sintéticos por naturais (biogeotêxteis) em aplicações de controle de erosão é uma tendência global alinhada com os princípios de economia circular e soluções baseadas na natureza (ver [?@sec-nbs](#)). Em aplicações temporárias (proteção de taludes durante o estabelecimento vegetal), a biodegradabilidade do biogeotêxtil é uma vantagem funcional, não uma limitação.

19. Biotêxteis

Biotêxteis de Fibras Vegetais {#sec-biotexteis}

Os biotêxteis são geotêxteis fabricados exclusivamente a partir de fibras vegetais, projetados para biodegradação controlada após o cumprimento de sua função protetora. Enquanto os geotêxteis sintéticos (ver ?@sec-geotexteis) persistem no solo por décadas ou séculos, os biotêxteis são dimensionados para durar apenas o tempo necessário ao estabelecimento da cobertura vegetal (tipicamente 6–36 meses), após o qual se decompõem e se incorporam ao solo como matéria orgânica, contribuindo para a ciclagem de nutrientes e a melhoria da estrutura edáfica. Essa característica os posiciona como uma evolução dos geotêxteis convencionais alinhada com os princípios de economia circular e soluções baseadas na natureza (ver ?@sec-nbs). A Figura 19.1 mostra um tear utilizado na confecção artesanal de biotêxteis, onde fibras vegetais são tramadas para produzir mantas com abertura e gramatura controladas, enquanto a Figura 19.2 apresenta a fibra de junco antes do processamento, ilustrando a matéria-prima renovável e abundante que sustenta a produção desses materiais.

19.1. Geotêxtil de Taboa (*Typha domingensis*)

19.1.1. Desenvolvimento

O geotêxtil tecido tipo *geogrid* de taboa é uma inovação protegida por patente INPI BR1020230222110 (concedida 2025), desenvolvida pelo autor e colaboradores. A taboa (*Typha domingensis* Pers.) é uma macrófita aquática cosmopolita que coloniza áreas úmidas, várzeas e margens de reservatórios em todo o território brasileiro, frequentemente considerada planta invasora por sua capacidade de rápida proliferação vegetativa. O aproveitamento de suas folhas fibrosas como matéria-prima para biotêxteis transforma um passivo ambiental (biomassa invasora) em insumo produtivo com valor agregado.

19.1.2. Características

O geotêxtil de taboa é produzido a partir de folhas de *Typha domingensis* Pers., que são colhidas, secas e tramadas em padrão tela simples (*plain weave*) formando uma malha aberta tipo geogrid com abertura ajustável de 10–30 mm. A abertura da malha é um parâmetro de projeto definido em função da granulometria do solo a ser protegido e da função desejada (aberturas menores para filtração, maiores para intertravamento mecânico). A massa por área varia de 300 a 800 g/m² (ajustável pela espessura e espaçamento das fibras), a resistência à tração situa-se entre 2 e 8 kN/m (inferior aos sintéticos, mas adequada para proteção superficial e reforço leve), e a biodegradação ocorre em 12–36 meses, controlável por tratamento com bioresinas que retardam a decomposição sem comprometer a compostabilidade final.



Figura 19.1.: Tear para confecção de biotêxteis — fibras vegetais sendo tramadas para produzir geotêxteis biodegradáveis com abertura e gramatura controladas.



Figura 19.2.: Fibra de junco utilizada na produção de biotêxteis — matéria-prima renovável e abundante disponível em regiões tropicais.

19.1.3. Mecanismo de Intertravamento

O padrão geogrid (malha aberta com aberturas regulares) permite o intertravamento mecânico com o solo, um mecanismo distinto da simples cobertura proporcionada por biomantas (ver **19.1.2. Biomantas**). As partículas de solo penetram nas aberturas da malha durante a compactação ou sob a ação da chuva, criando um efeito de ancoragem que aumenta significativamente a resistência ao cisalhamento na interface solo-geotêxtil. Esse mecanismo é particularmente eficaz em taludes com inclinação superior a 1V:2H, onde a gravidade tende a deslocar a camada superficial de solo.

A resistência de interface pode ser estimada pela expressão

$$\tau_{interface} = c_a + \sigma_n \cdot \tan \delta$$

onde c_a é a adesão aparente na interface (kPa), σ_n é a tensão normal atuante (kPa) e δ é o ângulo de atrito de interface, tipicamente correspondente a 0,7–0,9 vezes o ângulo de atrito efetivo do solo (ϕ'). O valor de δ/ϕ' depende da rugosidade da fibra e do formato das aberturas, e deve ser determinado experimentalmente por ensaio de cisalhamento direto em caixa de cisalhamento de interface (ASTM D5321).

19.1.4. Vantagens

O geotêxtil de taboa apresenta um conjunto de vantagens que o posicionam como alternativa competitiva aos geotêxteis de fibra de coco (padrão de mercado para biotêxteis). A matéria-prima é abundante em todo o território brasileiro (Typha coloniza áreas úmidas naturais e antropizadas), e sua colheita regular funciona como controle biológico de uma espécie invasora. O custo de produção é 50–70% inferior ao dos geotêxteis sintéticos equivalentes, com pegada de carbono negativa (a planta sequestra CO₂ durante o crescimento e o material se decompõe sem liberar microplásticos). A produção pode ser descentralizada em comunidades rurais, gerando renda local e valorização de áreas úmidas atualmente subutilizadas.

19.2. Geocomposto Híbrido

19.2.1. Conceito do Geocomposto Híbrido

O geocomposto híbrido combina uma camada de manta de fibras vegetais (coco, juta ou sisal) com uma malha de reforço de rami (*Boehmeria nivea*), criando um material com proteção superficial integrada (interceptação de splash, retenção hídrica) e resistência mecânica suficiente para aplicação em taludes íngremes. A estrutura sanduíche aproveita as propriedades complementares de cada componente, como mostra a Tabela 19.1.

19.2.2. Componentes

Tabela 19.1.: Componentes do geocomposto híbrido e suas funções específicas.

Camada	Material	Função específica
Superior	Manta de fibra de coco (300–500 g/m ²)	Proteção contra impacto de gotas, retenção hídrica superficial

Camada	Material	Função específica
Intermediária	Malha de rami tecida (tela simples)	Reforço mecânico (tração e rasgo)
Inferior	Manta de fibra de coco (200–400 g/m ²)	Contato íntimo com o solo, filtração de partículas finas

A malha de rami é o elemento estrutural crítico do geocomposto, pois o rami (*Boehmeria nivea*) possui a maior resistência à tração entre as fibras vegetais (até 60 cN/tex), com alongação na ruptura de apenas 2–4% (comportamento quase-rígido), tornando-o ideal para função de reforço.

19.2.3. Propriedades

O geocomposto híbrido apresenta resistência à tração combinada de 5–15 kN/m (superior à de cada componente isolado, pelo efeito de compósito), massa por área de 600–1.200 g/m² (ajustável pela gramatura de cada camada), durabilidade de 24–48 meses (compatível com o período de estabelecimento vegetal em condições tropicais) e retenção hídrica superior a 200% do peso seco (a camada de fibra de coco absorve e retém água da chuva, liberando-a gradualmente para o solo e as raízes em formação).

19.3. Geodreno Vegetal Biodegradável

19.3.1. Conceito do Geodreno Vegetal

O geodreno vegetal é um dispositivo de drenagem subsuperficial fabricado integralmente com materiais de origem vegetal, projetado para rebaixar temporariamente o lençol freático em taludes e encostas instáveis durante o período crítico de estabelecimento da vegetação. Diferentemente dos geodrenos sintéticos (que permanecem indefinidamente no solo), o geodreno vegetal se biodegrada em 18–36 meses, período após o qual a drenagem é assumida pelos macroporos criados pelas raízes da vegetação estabelecida.

19.3.2. Estrutura

O geodreno vegetal é composto por placas drenantes de fibras de taboa e bananeira prensadas, cuja geometria interna em espinha-de-peixe (*herringbone*) cria canais preferenciais para a condução do fluxo subsuperficial. O aglutinante utilizado é uma resina de mamona (*Ricinus communis*) com D-limoneno (solvente natural extraído de cascas de citros), que confere rigidez estrutural sem comprometer a biodegradabilidade. O envoltório externo consiste em geotêxtil não tecido de fibra de coco, que funciona como filtro de proteção contra o carreamento de partículas finas para o interior do dreno (colmatação).

19.3.3. Desempenho

O geodreno vegetal atinge vazão drenante de 0,5–2,0 L/(m · min) sob gradiente hidráulico unitário (suficiente para rebaixamento localizado em solos de permeabilidade média), resistência à compressão de 50–150 kPa (suporta a tensão geostática de 3–8 m de solo sobrejacente sem colapso) e biodegradação controlável em 18–36 meses pela concentração do aglutinante.

i Patentes relacionadas

As inovações biotecnológicas apresentadas neste capítulo incluem o geotêxtil de taboa (BR1020230222110, concedida 2025), o geocomposto híbrido (pedido depositado) e o geodreno vegetal (pedido depositado), representando contribuições nacionais ao avanço dos biomateriais aplicados à bioengenharia de solos.

19.4. Comparativo de Desempenho

A Tabela 19.2 confronta as propriedades dos biotêxteis (coco e taboa) com as de um geotêxtil sintético de polipropileno (PP), evidenciando os compromissos de projeto entre desempenho mecânico e sustentabilidade ambiental. Os biotêxteis apresentam resistência à tração inferior, mas oferecem retenção hídrica elevada, biodegradação controlada (sem acúmulo de resíduos), pegada de carbono negativa e custo competitivo, vantagens decisivas em aplicações de controle de erosão com horizonte temporal de 1–5 anos.

Tabela 19.2.: Comparativo entre biotêxteis e geotêxtil sintético (PP).

Propriedade	Geotêxtil de coco	Geotêxtil de taboa	Geotêxtil PP
Custo (R\$/m ²)	8–15	5–12	10–25
Biodegradação	2–4 anos	1–3 anos	> 100 anos
Resistência tração (kN/m)	3–8	2–8	5–50
Retenção hídrica	Alta	Muito alta	Baixa
Pegada CO	Negativa	Negativa	Positiva
Reciclabilidade	Compostável	Compostável	Reciclável

20. Biopolímeros Superabsorventes

Biopolímeros Superabsorventes {#sec-biopolimeros}

Os biopolímeros superabsorventes (Bio-SAP, do inglês *Superabsorbent Biopolymer*) são materiais de origem vegetal capazes de absorver e reter grandes volumes de água (100–500 vezes seu peso seco), liberando-a gradualmente para a zona radicular das plantas à medida que o potencial matricial do solo diminui por evapotranspiração. Diferentemente dos hidrogéis sintéticos (poliacrilatos de sódio), os Bio-SAPs são integralmente biodegradáveis e não geram resíduos de microplásticos no solo. Essa característica os torna especialmente relevantes para aplicações de bioengenharia de solos em regiões semiáridas, onde o déficit hídrico no período pós-plantio é o principal fator de mortalidade de mudas em taludes recuperados. A Figura 20.1 mostra o material vegetal de taboa (*Typha domingensis*) que constitui a matéria-prima do Bio-SAP, cuja polpa celulósica é processada quimicamente para adquirir propriedades superabsorventes.

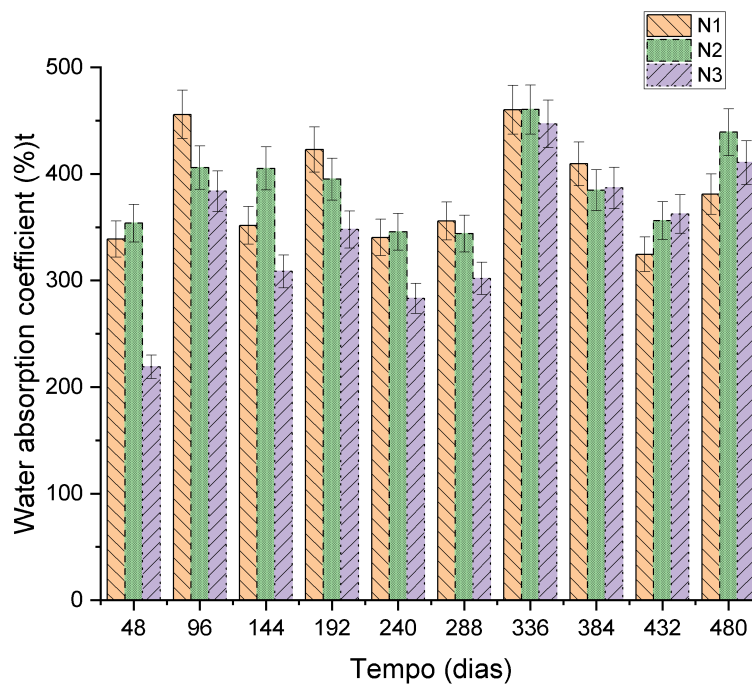


Figura 20.1.: Material de taboa (*Typha domingensis*) utilizado na produção do Bio-SAP — polpa celulósica das folhas processada quimicamente para conferir propriedades superabsorventes.

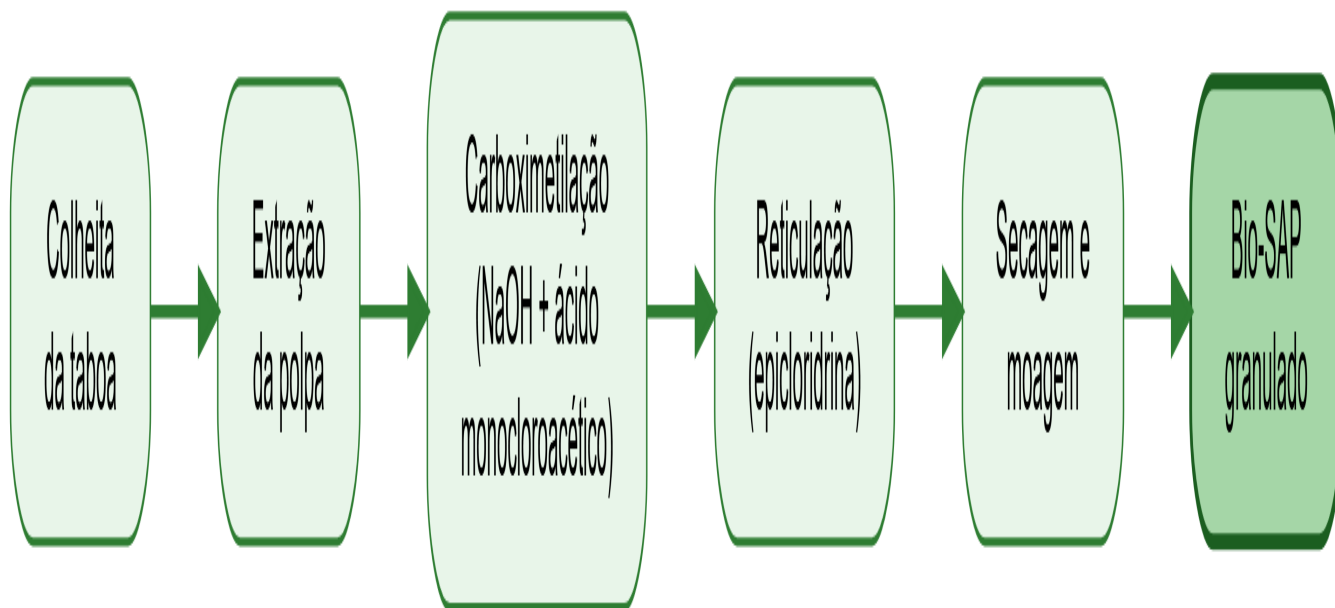
20.1. Bio-SAP de Taboa

20.1.1. Desenvolvimento

O Bio-SAP de taboa (*Typha domingensis*) é uma inovação desenvolvida a partir da polpa celulósica da planta, processada por duas reações químicas sequenciais (carboximetilação e reticulação) que modificam a estrutura molecular da celulose, conferindo-lhe a capacidade de formar hidrogéis com elevada retenção hídrica. A celulose nativa possui grupos hidroxila (-OH) que atraem moléculas de água por ligações de hidrogênio, mas a capacidade de absorção é limitada. A carboximetilação substitui parte desses grupos hidroxila por grupos carboximetila (-CH COONa), que são aniônicos em solução aquosa e criam pressão osmótica no interior da rede polimérica, atraindo grandes volumes de água. A reticulação subsequente (com epícloridrina) cria ligações covalentes entre as cadeias de celulose, formando uma rede tridimensional que impede a dissolução do material e confere elasticidade mecânica.

20.1.2. Processo de Produção

O fluxograma abaixo sintetiza as etapas de produção do Bio-SAP, desde a colheita da taboa em campo até a obtenção do produto granulado pronto para aplicação.



20.1.3. Propriedades

A microestrutura do Bio-SAP pode ser observada na Figura 20.2, que apresenta imagens de microscopia eletrônica de varredura (MEV) comparando o material antes e após a absorção de água. No estado seco, o Bio-SAP exibe uma superfície rugosa e compacta com microporos colapsados; após a absorção, a estrutura se expande dramaticamente, revelando uma rede tridimensional de poros interconectados que retêm a água por capilaridade e pressão osmótica. A Tabela 20.1 quantifica as principais propriedades do material.

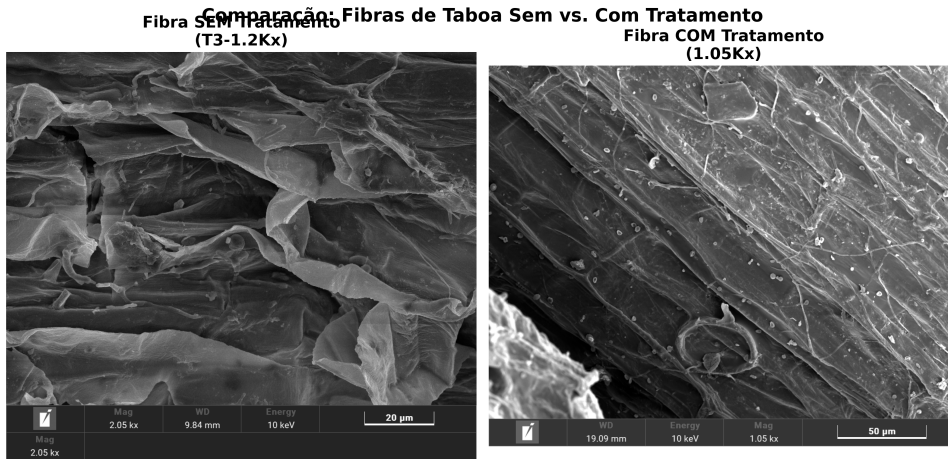


Figura 20.2.: Microscopia eletrônica de varredura (MEV) do Bio-SAP — comparação da microestrutura antes (superfície compacta com microporos colapsados) e após absorção de água (rede tridimensional expandida).

Tabela 20.1.: Propriedades do Bio-SAP de taboa.

Propriedade	Valor	Significado prático
Capacidade de absorção em água destilada	300–500 g/g	1 kg de Bio-SAP retém 300–500 L de água
Capacidade de absorção em solo	150–250 g/g	Reduzida pela presença de sais e finos
Tempo de absorção (90%)	15–30 min	Resposta rápida a eventos de chuva
Taxa de liberação (50%)	12–48 h	Liberação gradual compatível com demanda radicular
Biodegradação completa	6–18 meses	Não deixa resíduos no solo
Granulometria	0,5–2,0 mm	Compatível com mistura em substrato

20.2. Geocompostos Hidrorretentores Typha-Rami

20.2.1. Conceito dos Geocompostos Hidrorretentores

Os geocompostos hidrorretentores integram o Bio-SAP em uma estrutura sanduíche de biotêxtil (ver ?@sec-biotexteis), criando um sistema de retenção hídrica distribuída que pode ser instalado diretamente sobre o talude como uma manta, eliminando a necessidade de misturar manualmente o Bio-SAP ao solo. A Figura 20.3 mostra o processo de confecção do geocomposto, onde o núcleo de Bio-SAP é confinado entre duas camadas de biotêxtil de taboa-rami.

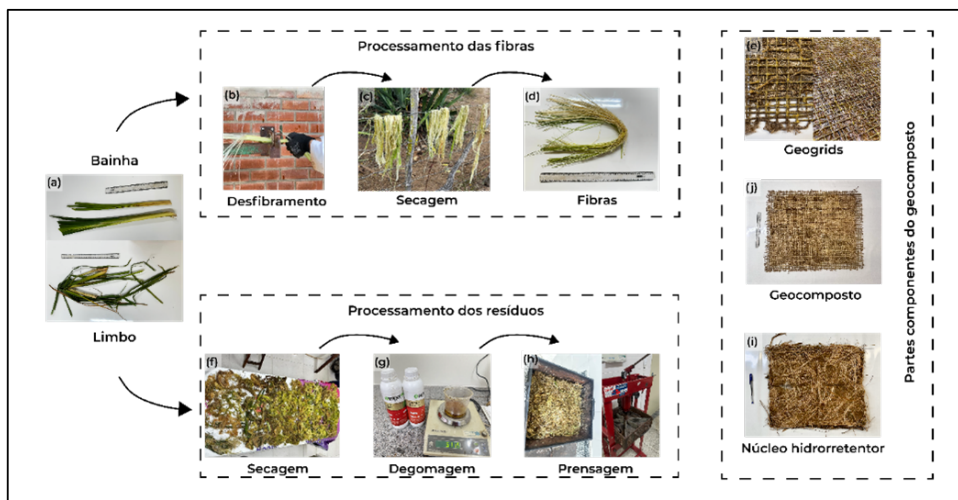


Tabela 20.2.: Estrutura do geocomposto hidrorretentor Typha-Rami.

Camada	Material	Função
Exterior ($\times 2$)	Biotêxtil de taboa-rami	Proteção mecânica, filtração e reforço
Interior	Núcleo de Bio-SAP (300–800 g/m ²)	Reservatório hídrico distribuído
Aglutinante	<i>Aloe vera</i> + amida 90%	Fixação do Bio-SAP e ativação da absorção

20.2.3. Desempenho

O geocomposto hidrorretentor apresenta WHC (*Water Holding Capacity*) superior a 300% do peso seco, o que significa que cada m² de geocomposto (com gramatura total de ~1.500 g/m²) retém até 4,5 L de água, funcionando como um reservatório laminar distribuído sobre toda a superfície do talude. A retenção de macronutrientes (N, P, K) é superior a 60%, reduzindo a lixiviação de fertilizantes aplicados durante a revegetação. A integridade estrutural é mantida por pelo menos 180 dias em campo (período crítico de estabelecimento vegetal), e a curva de retenção hídrica do geocomposto pode ser ajustada pela equação de van Genuchten

$$\theta(h) = \theta_r + \frac{\theta_s - \theta_r}{[1 + (\alpha \cdot h)^n]^m}$$

onde θ_r e θ_s são os teores de água residual e saturado (cm³/cm³), h é o potencial matricial (cm de coluna d'água), e α (cm⁻¹), n e $m = 1 - 1/n$ são parâmetros de ajuste que descrevem a forma da curva. A determinação desses parâmetros por ajuste a dados experimentais permite prever a disponibilidade de água para as plantas em função da tensão do solo, subsidiando o dimensionamento da gramatura de Bio-SAP necessária para cada condição climática.

20.3. Aplicações

A Figura 20.4 apresenta ensaios de alelopatia e germinação com Bio-SAP, demonstrando que o biopolímero não exerce efeito inibitório sobre a germinação e o desenvolvimento de plântulas, condição essencial para sua aplicação em projetos de revegetação.

Em projetos de recuperação de encostas, o Bio-SAP é instalado sob biomantas (ver **?@sec-biomantas**) ou incorporado à pasta de hidrossemeadura (ver **?@sec-hidrossemeadura**), retendo a água da chuva na zona radicular e reduzindo a necessidade de irrigação em 50–70% nos primeiros 90 dias, fator crítico em regiões semiáridas com déficit hídrico prolongado. Na revegetação de taludes em áreas de mineração, onde os substratos são altamente degradados (pH extremo, ausência de matéria orgânica, baixa capacidade de retenção hídrica), a combinação de Bio-SAP com composto orgânico cria condições mínimas para o estabelecimento vegetal ao fornecer um reservatório hídrico e nutricional que compensa as deficiências edáficas. Na produção de mudas em viveiros, a incorporação de Bio-SAP ao substrato reduz a frequência de irrigação em 40–60% e aumenta a taxa de sobrevivência no transplante para campo, reduzindo o estresse hídrico na fase de adaptação.



Figura 20.4.: Ensaio de alelopatia e germinação com Bio-SAP — avaliação do efeito do biopolímero sobre o crescimento de plântulas, demonstrando ausência de fitotoxicidade.

20.4. Vantagens sobre SAP Sintéticos

A Tabela 20.3 confronta o Bio-SAP de taboa com os SAPs sintéticos (poliacrilatos de sódio) que dominam o mercado atual, evidenciando que o Bio-SAP oferece capacidade de absorção comparável (300–500 g/g versus 300–600 g/g) com as vantagens decisivas de biodegradabilidade total, ausência de microplásticos, matéria-prima renovável e custo inferior.

Tabela 20.3.: Comparativo entre SAP sintético e Bio-SAP de taboa.

Critério	SAP sintético (poliacrilato)	Bio-SAP (taboa)
Absorção (g/g)	300–600	300–500
Biodegradação	Não	Sim (6–18 meses)
Microplásticos	Sim	Não
Matéria-prima	Petroquímica	Vegetal (renovável)
Custo	R\$ 15–30/kg	R\$ 8–20/kg
Toxicidade residual	Possível	Nenhuma

! Relevância ambiental

SAPs sintéticos (poliacrilatos) são uma fonte crescente de microplásticos no solo, com fragmentação progressiva em partículas < 5 mm que contaminam cadeias tróficas e corpos hídricos. Sua substituição por Bio-SAPs vegetais elimina integralmente esse risco e alinha a prática de bioengenharia com os ODS 12 (Consumo responsável) e 15 (Vida terrestre).

20.5. Fronteiras Tecnológicas em Biopolímeros

20.5.1. Nanocelulose para Estabilização de Solos

A nanocelulose, obtida pela desagregação mecânica e/ou enzimática de fibras celulósicas em nanopartículas com diâmetro de 5–50 nm e comprimento de 100–2.000 nm, representa uma fronteira promissora na estabilização de solos tropicais. Diferentemente do Bio-SAP (que retém água por pressão osmótica), a nanocelulose atua como agente cimentante biológico, formando uma rede nanofibrilar nos poros do solo que aumenta a coesão efetiva sem reduzir significativamente a permeabilidade. Ensaio laboratoriais demonstram que a adição de 0,5–2,0% de nanocelulose (em massa seca) a solos siltosos e arenosos incrementa a coesão não drenada em 15–40 kPa e reduz a erodibilidade (fator K da RUSLE) em 30–60%, efeitos que persistem por 6–18 meses até a biodegradação completa das nanofibras.

A produção de nanocelulose a partir de resíduos agroindustriais tropicais (bagaço de cana, casca de coco, pseudocaule de bananeira, polpa de taboa) alinha essa tecnologia com os princípios de economia circular e viabiliza a produção descentralizada em regiões rurais. O custo de produção, atualmente elevado para processos industriais (R\$ 200–500/kg em escala laboratorial), tende a diminuir com a escalabilidade dos processos e a utilização de resíduos de custo zero como matéria-prima.

As aplicações potenciais em bioengenharia incluem a formulação de pastas de hidrossemeadura reforçadas com nanocelulose (que confere à pasta maior aderência ao talude e resistência à lavagem pela chuva, reduzindo as perdas de sementes e fertilizantes em 40–60%), a estabilização temporária de superfícies escavadas durante a construção de estruturas de contenção, e a melhoria da interface solo-geotêxtil por impregnação de biomantas com suspensões de nanocelulose.

20.5.2. Sistemas Biopoliméricos de Quitosana-Alginato

A combinação de quitosana (biopolímero catiônico derivado da quitina de camarões e caranguejos) com alginato de sódio (biopolímero aniônico extraído de algas pardas) forma um complexo polieletrólítico (PEC) por interação eletrostática que apresenta propriedades excepcionais para aplicações em bioengenharia de solos. O PEC quitosana-alginato forma hidrogéis com capacidade de absorção de 80–200 g/g de água, com a vantagem de liberar nutrientes quelados (ferro, zinco, manganês) de forma controlada à medida que o hidrogel se degrada (12–24 meses), funcionando simultaneamente como reservatório hídrico e sistema de fertilização de liberação lenta.

A quitosana confere ao sistema propriedades antimicrobianas (inibição de fungos fitopatogênicos do solo como *Fusarium* spp. e *Pythium* spp.) e de coagulação de partículas finas em suspensão (a carga catiônica atrai e flocula argilas dispersas), reduzindo a turbidez do escoamento em 60–80%. O alginato, por sua vez, atua como agente gelificante na presença de cátions divalentes (Ca^2 , Mg^2), formando uma matriz estrutural que encapsula sementes e nutrientes, protegendo-os contra a lixiviação imediata após a aplicação.

A dosagem recomendada para incorporação ao substrato de revegetação é de 2–5 g/L de solução, aplicada por irrigação ou incorporada à pasta de hidrossemeadura. Em ensaios de campo, a combinação de quitosana-alginato com composto orgânico e Bio-SAP de taboa aumentou a taxa de sobrevivência de mudas em 20–35% em comparação com o substrato convencional, resultado atribuído à sinergia entre retenção hídrica (Bio-SAP), fertilização de liberação lenta (alginato) e proteção fitossanitária (quitosana).

i Perspectiva

A integração de biopolímeros multicomponentes (nanocelulose + Bio-SAP + quitosana-alginato) em geocompostos de próxima geração representa uma convergência entre biotecnologia, ciência dos materiais e engenharia geotécnica, com potencial para transformar a eficiência das intervenções de bioengenharia em condições tropicais adversas (solos ácidos, déficit hídrico, baixa fertilidade). Os próximos avanços devem priorizar a redução de custos de produção, a padronização de protocolos de dosagem e a validação em campo por monitoramento de longo prazo (> 5 anos).

Parte IV.

Parte IV — Projeto e Integração

21. Definição

Soluções Baseadas na Natureza {#sec-nbs}

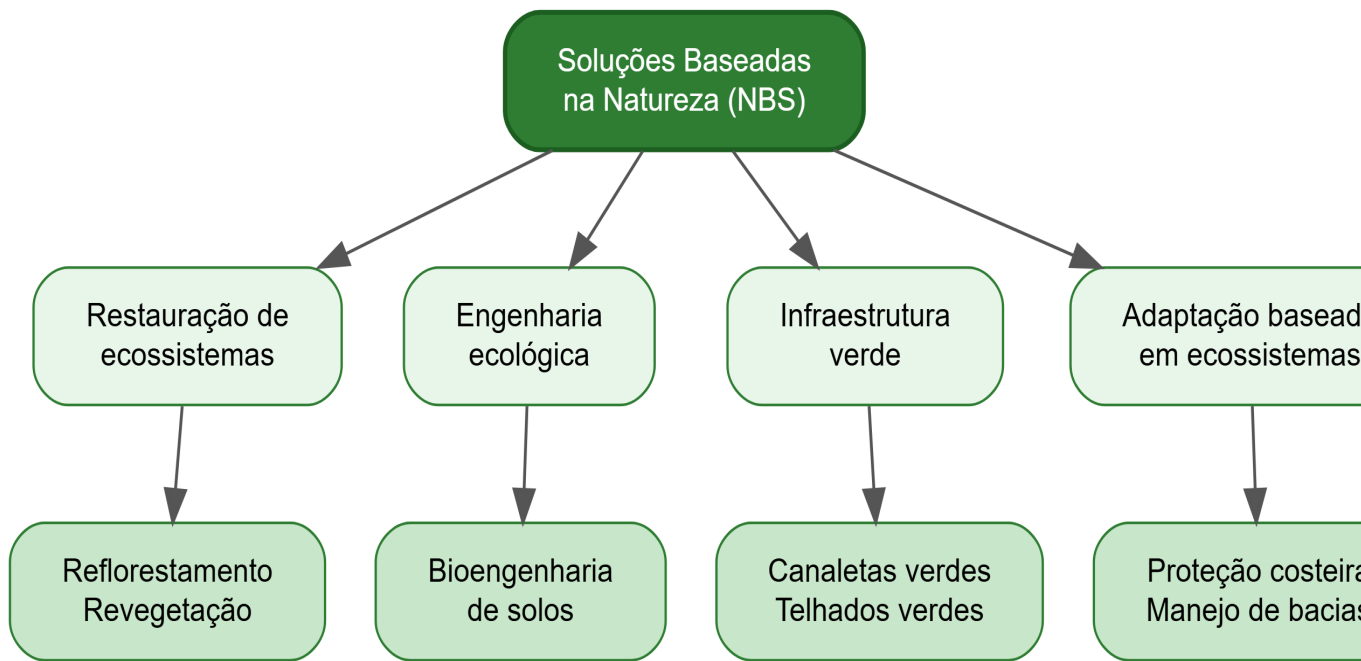
As Soluções Baseadas na Natureza (*Nature-based Solutions*, NBS) são definidas pela IUCN como

Ações para proteger, gerenciar de forma sustentável e restaurar ecossistemas naturais ou modificados, que abordam desafios sociais de forma eficaz e adaptativa, fornecendo simultaneamente benefícios para o bem-estar humano e para a biodiversidade. (IUCN, 2020)

Essa definição estabelece que uma intervenção somente se qualifica como NBS quando opera simultaneamente em dois eixos: resolver um desafio social concreto (controle de erosão, mitigação de enchentes, segurança hídrica) e gerar ganho líquido para a biodiversidade. A bioengenharia de solos, conforme apresentada ao longo deste livro, atende integralmente a esse duplo requisito, pois utiliza elementos vivos (vegetação, raízes, fibras naturais) como componentes estruturais que, ao mesmo tempo em que estabilizam taludes e controlam feições erosivas, criam habitat, promovem ciclagem de nutrientes e sequestram carbono.

21.1. Enquadramento Conceitual

O diagrama a seguir posiciona a bioengenharia de solos no campo mais amplo das NBS, evidenciando que ela é uma vertente da engenharia ecológica (aplicação de princípios ecológicos ao projeto de intervenções de engenharia), que por sua vez integra o guarda-chuva conceitual das NBS juntamente com a restauração de ecossistemas, a infraestrutura verde e a adaptação baseada em ecossistemas.



21.2. Critérios IUCN para NBS

A IUCN estabelece 8 critérios que qualificam uma intervenção como NBS (IUCN, 2020), e cada um deles pode ser diretamente associado às técnicas de bioengenharia de solos apresentadas nos capítulos anteriores. A Tabela 21.1 sintetiza cada critério e apresenta um exemplo concreto de como a bioengenharia de solos o satisfaz.

Tabela 21.1.: Critérios IUCN aplicados à bioengenharia de solos, com exemplos de atendimento para cada critério.

#	Critério	Aplicação em bioengenharia de solos
1	Aborda desafios sociais	O controle de erosão protege estradas, infraestrutura e comunidades rurais a jusante
2	Design em escala de paisagem	O projeto integrado de bacias hidrográficas (?@sec-bacias-captacao) considera a conectividade hidrossedimentológica
3	Ganho líquido para biodiversidade	Espaços entre pedras de enrocamento e células de gabiões criam habitat (?@sec-enrocamento, ?@sec-gabiao-vivo)
4	Economicamente viável	Custos 3–5× menores que engenharia civil convencional (Tabela 21.2)
5	Governança inclusiva	A fabricação de biotêxteis em comunidades rurais gera renda local (?@sec-biotexteis)
6	Equilíbrio entre trade-offs	O dimensionamento equilibra estabilidade mecânica e permeabilidade hidráulica
7	Gestão adaptativa	O monitoramento contínuo permite ajustes nas técnicas ao longo do tempo
8	Sustentável e integrada	Após 3–5 anos de consolidação, a vegetação assume a função protetora sem necessidade de manutenção

21.3. Bioengenharia como NBS

A bioengenharia de solos se qualifica plenamente como NBS porque opera exclusivamente com processos naturais como motores de estabilização, em contraste com a engenharia convencional que depende de materiais inertes (concreto, aço) cuja função é estritamente mecânica. O crescimento radicular incrementa a coesão efetiva do solo (ver modelo de Wu-Waldron em **?@sec-gabiao-vivo**), a interceptação vegetal da chuva reduz a energia cinética do splash, a ciclagem hidrológica pela evapotranspiração reduz a poropressão e estabiliza taludes, e a deposição de serrapilheira cria uma camada orgânica que protege a superfície e alimenta a atividade biológica do solo. Esses processos geram múltiplos co-benefícios (estabilidade geotécnica, conservação de biodiversidade, sequestro de carbono, valorização paisagística) e são autossustentáveis após a fase de consolidação (3–5 anos): diferentemente de um muro de concreto, que se deteriora progressivamente, uma encosta estabilizada por bioengenharia ganha resistência ao longo do tempo à medida que o sistema radicular se expande e a coesão do solo aumenta.

21.4. Análise Econômica

21.4.1. Custo-benefício de NBS vs. Engenharia Convencional

A Tabela 21.2 apresenta uma análise comparativa de custos para estabilização de encostas, incluindo custo inicial, manutenção anual, vida útil e Valor Presente Líquido (VPL) em horizonte de 20 anos (taxa de desconto de 8% a.a.). Os valores demonstram que as técnicas de bioengenharia apresentam custos iniciais sistematicamente inferiores aos das soluções convencionais, e o diferencial se amplifica quando a manutenção ao longo da vida útil é contabilizada, pois a vegetação consolidada requer apenas manejo periódico (roçada, replantio pontual) enquanto estruturas de concreto demandam reparos progressivamente mais caros.

Tabela 21.2.: Análise comparativa de custos para estabilização de encostas — valores referenciais para condições tropicais brasileiras.

Interven- ção	Custo inicial (R/m ²)	Manutenção (R/m ² /ano)	Vida útil (anos)	VPL 20 anos (R\$/m ²)	
Muro de concreto	800–1.500		40–80	30–50	1.400–2.700
Gabião metálico	400–700		20–50	25–40	700–1.300
Gabião vivo (?@sec- gabiao- vivo)	250–500		10–25	30–50+	400–850
Parede Krainer (?@sec- parede- krainer)	200–450		5–15	25–40+	280–650

Interven- ção	Custo inicial (R/m ²)	Manutenção (R/m ² /anos)	VPL 20 anos (R\$/m ²)	
Paliçadas + revegeta- ção (?@sec- paliçadas)	50–150	5–10	10–20	80–250
Biomantas + hidrosse- meadura (?@sec- biomantas, ?@sec- hidrossemeadura)	30–80	2–8	3–8	45–130

21.4.2. Co-benefícios valorizáveis

Além da função primária de estabilização e controle de erosão, as NBS geram co-benefícios que podem ser monetizados e incorporados à análise de viabilidade econômica. O sequestro de carbono pela biomassa vegetal e pelo solo (2–15 tC/ha/ano, dependendo do bioma e das espécies) viabiliza a comercialização de créditos de carbono (R\$ 40–120/tC no mercado voluntário). A regulação hídrica proporcionada pelo aumento de infiltração promove a recarga de aquíferos e reduz picos de cheia a jusante, benefícios que podem ser valorados pelo custo evitado de obras de drenagem urbana ou tratamento de água. A criação de habitat para fauna (polinizadores, predadores naturais de pragas agrícolas) gera serviços ecossistêmicos de biodiversidade com valor econômico real. A valorização estética da paisagem pode impulsionar turismo ecológico e valorização imobiliária, impactos mensuráveis pelo método de preços hedônicos.

Valoração de co-benefícios

Quando os co-benefícios são contabilizados pelo método de Análise de Custo-Benefício expandida (ACBe), as NBS frequentemente apresentam VPL superior às soluções convencionais, mesmo quando o custo inicial é semelhante. A análise deve adotar horizonte de pelo menos 20 anos para capturar os benefícios do amadurecimento da vegetação e da progressiva redução de custos de manutenção.

21.5. Retaludamento como NBS

O retaludamento vegetado é uma técnica de NBS que combina a reconfiguração geométrica do talude (redução do ângulo de inclinação) com a revegetação integrada das superfícies reconformadas, unindo princípios de geotecnia clássica (estabilidade por peso e geometria) com processos biológicos (coesão radicular, interceptação, evapotranspiração). A Figura 21.1 mostra um talude em campo antes da intervenção, com superfície exposta susceptível à erosão, ilustrando a condição típica que demanda reconfiguração geométrica seguida de revegetação.



Figura 21.1.: Talude em campo antes da intervenção — superfície exposta susceptível à erosão laminar e concentrada, demandando reconfiguração geométrica e revegetação para estabilização.

21.5.1. Princípios

O retaludamento vegetado baseia-se em quatro princípios complementares. O primeiro é a redução do ângulo de inclinação do talude para valores inferiores ao ângulo de repouso do material, o que aumenta o fator de segurança por redução da componente de tensão cisalhante atuante. O segundo é a criação de bermas intermediárias a cada 5–8 m de altura, que funcionam como plataformas de captação de água e sedimentos, interrompendo o comprimento de rampa e reduzindo a energia do escoamento superficial. O terceiro é a revegetação das superfícies reconformadas com espécies de raízes profundas e fasciculadas, que incrementam a coesão do solo e reduzem a poropressão por evapotranspiração. O quarto é a implantação de sistema de drenagem naturalizado (canaletas verdes, conforme **?@sec-canaleta-verde**), que conduz o escoamento interceptado pelas bermas sem gerar concentração erosiva.

21.5.2. Dimensionamento

A inclinação do talude retaludado deve atender ao fator de segurança mínimo de 1,5 contra ruptura por cisalhamento, calculado pela análise de estabilidade de taludes infinitos

$$FS = \frac{\tau_f}{\tau_a} = \frac{c' + (\sigma - u) \tan \phi'}{(\gamma \cdot z \cdot \cos \beta) \cdot \sin \beta} \geq 1,5$$

onde c' é a coesão efetiva do solo (kPa), ϕ' é o ângulo de atrito efetivo ($^\circ$), σ é a tensão normal atuante na superfície potencial de ruptura (kPa), u é a poropressão (kPa, dependente da posição do lençol freático), γ é o peso específico do solo (kN/m^3), z é a profundidade da superfície de ruptura (m) e β é o ângulo de inclinação do talude com a horizontal ($^\circ$).

A contribuição da vegetação à estabilidade é quantificada pelo incremento de coesão radicular (Δc_r), que se soma à coesão do solo

$$c'_{total} = c'_{solo} + \Delta c_r$$

onde Δc_r é a coesão radicular adicional, calculável pelo modelo de Wu-Waldron conforme detalhado em **?@sec-gabiao-vivo**. Para gramíneas densas, Δc_r situa-se entre 2–5 kPa; para arbustos com raízes profundas, entre 5–15 kPa; e para espécies arbóreas com 3–5 anos, entre 10–25 kPa.

21.6. Casos de Aplicação em Regiões Tropicais

21.6.1. Semiárido brasileiro

No semiárido, o desafio central reside na pluviosidade concentrada em 3–4 meses, com chuvas convectivas de alta intensidade sobre solos rasos e vegetação de caatinga. A estratégia NBS para essas condições combina paliçadas de madeira nas feições erosivas lineares (**?@sec-palçadas**), bacias de captação para armazenamento descentralizado de enxurradas (**?@sec-bacias-captacao**) e revegetação com espécies nativas xerófitas adaptadas ao déficit hídrico prolongado, complementada por Bio-SAP para retenção hídrica na zona radicular (**?@sec-biopolicimeros**). Essa abordagem integrada tem demonstrado redução de escoamento superficial de 50–80% e aumento significativo de cobertura vegetal em parcelas experimentais.

21.6.2. Encostas da Mata Atlântica

Nas encostas da Mata Atlântica, a precipitação intensa (superior a 2.000 mm/ano), os solos profundos com mantos de intemperismo espessos e a susceptibilidade a movimentos de massa demandam soluções de maior robustez mecânica. A combinação de gabiões vivos na base das encostas (**?@sec-gabiao-vivo**), paredes Krainer nas zonas de maior sollicitação (**?@sec-parede-krainer**) e revegetação com espécies arbóreas pioneiras de crescimento rápido tem promovido a estabilização de encostas com fator de segurança superior a 1,5 e regeneração florestal progressiva, com cobertura de dossel superior a 70% em 5 anos.

21.6.3. Margens do rio São Francisco

Nas margens do Baixo São Francisco, a erosão marginal acelerada pós-barragem (resultante da alteração do regime hidrológico natural pela operação de Xingó) em solos arenosos de baixa coesão constitui o principal desafio geomorfológico. A associação de enrocamento vegetado na linha d'água (**?@sec-enrocamento**), biotêxteis de taboa na zona de variação de nível (**?@sec-biotexteis**) e geotêxteis híbridos no talude superior (**?@sec-geotexteis**) reduziu a taxa de recuo marginal em 70–90%, conforme dados de monitoramento topográfico por GNSS com levantamentos semestrais ao longo de 5 anos.

i NBS e ODS

As Soluções Baseadas na Natureza contribuem diretamente para os Objetivos de Desenvolvimento Sustentável 6 (Água limpa e saneamento), 11 (Cidades e comunidades sustentáveis), 13 (Ação contra a mudança global do clima) e 15 (Vida terrestre), consolidando a bioengenharia de solos como instrumento de política pública ambiental alinhado com compromissos internacionais.

21.7. Adaptação às Mudanças Climáticas

21.7.1. Projeções de Precipitação Extrema para Regiões Tropicais

Os cenários de mudanças climáticas do IPCC (AR6, 2021) projetam, para as regiões tropicais da América do Sul, um aumento na intensidade dos eventos extremos de precipitação de 10–30% até 2050 (cenário SSP2-4.5) e de 20–50% até 2100 (cenário SSP5-8.5), mesmo em regiões onde a precipitação média anual tende a diminuir. Essa aparente contradição (chuvas médias menores, porém eventos extremos mais intensos) resulta do aquecimento atmosférico, que aumenta a capacidade de retenção de vapor d'água em 7% por grau Celsius de aquecimento (relação de Clausius-Clapeyron), concentrando a precipitação em eventos menos frequentes porém mais violentos.

Para a bioengenharia de solos, essa projeção tem implicações diretas no dimensionamento. O fator de erosividade da chuva (R da RUSLE) pode aumentar em 15–40% nas próximas décadas, o que exige que as estruturas de contenção e dissipação sejam dimensionadas com fatores de segurança majorados. Em termos práticos, a chuva de projeto para dimensionamento de paliçadas, bacias de captação e canaletas verdes deve adotar período de retorno de 25–50 anos (em vez dos 10 anos usualmente empregados) e incorporar um fator de majoração climática ($F_{cc} = 1,2$ a $1,3$) sobre a intensidade da chuva calculada a partir de séries históricas, conforme recomendações da WMO (*World Meteorological Organization*) para projetos com horizonte de projeto superior a 30 anos.

21.7.2. Resiliência Climática da Bioengenharia

A bioengenharia de solos apresenta vantagens intrínsecas de resiliência climática em relação à engenharia convencional, precisamente porque seus componentes vivos respondem adaptativamente às mudanças ambientais. As estruturas vegetativas se adaptam autonomamente (o aprofundamento radicular em resposta ao déficit hídrico aumenta a ancoragem em cenários de seca prolongada, enquanto o adensamento aéreo em resposta à maior pluviosidade amplia a interceptação de chuva). A redundância funcional proporcionada pela diversidade de espécies garante que, se uma espécie for prejudicada pela alteração climática, outras ocupem seu nicho funcional. A capacidade de autorreparação permite que a vegetação rebrote e restabeleça a cobertura após danos por eventos extremos, diferentemente de estruturas de concreto cuja ruptura é irreversível sem intervenção humana. Além disso, a flexibilidade estrutural dos materiais vivos e biodegradáveis absorve deformações e solicitações dinâmicas sem ruptura frágil (diferentemente do concreto, que rompe subitamente quando sua capacidade é excedida).

21.7.3. Sequestro de Carbono

A bioengenharia de solos contribui para a mitigação das mudanças climáticas por meio do sequestro de carbono em dois compartimentos. A biomassa aérea e radicular das espécies vegetais utilizadas nas intervenções sequestra 2–8 tC/ha/ano nos primeiros 10 anos (com taxas mais elevadas em espécies arbóreas de rápido crescimento como eucalipto e gliricídia), estabilizando-se em 0,5–2,0 tC/ha/ano após a maturidade. O carbono orgânico do solo (COS) aumenta pela decomposição de raízes finas, serrapilheira e biotêxteis biodegradáveis, com incrementos de 0,3–1,5 tC/ha/ano ao longo dos primeiros 20 anos, particularmente em solos tropicais com COS inicial depletado pela degradação.

A Tabela 21.3 sintetiza o potencial de sequestro de carbono das principais técnicas de bioengenharia, permitindo a estimativa de créditos de carbono para análise de viabilidade econômica.

Tabela 21.3.: Potencial de sequestro de carbono das técnicas de bioengenharia de solos.

Técnica	Sequestro (tC/ha/ano)	Horizonte	Compartimento dominante
Revegetação com gramíneas	1,0–3,0	5–10 anos	COS (raízes finas)
Revegetação arbórea (espécies nativas)	3,0–8,0	10–30 anos	Biomassa aérea + COS
Enrocamento vegetado + mata ciliar	2,0–6,0	5–20 anos	Biomassa + sedimento retido
Biomantas + hidrossemeadura	0,5–2,0	2–5 anos	COS (biodegradação da manta)
Bio-SAP + geocompostos	0,3–1,0	1–3 anos	COS (biodegradação do polímero)

21. Definição

A monetização do carbono sequestrado pelos mercados voluntários de créditos de carbono (R\$ 40–120/tC em 2025) pode representar receita adicional de R\$ 200–600/ha/ano para projetos de bioengenharia com revegetação arbórea, constituindo um mecanismo de financiamento complementar que melhora a relação custo-benefício e favorece a viabilidade econômica de intervenções em larga escala.

21.8. Marco Regulatório e Certificação

21.8.1. Normas Brasileiras Aplicáveis

O projeto e a execução de obras de bioengenharia de solos no Brasil devem observar um conjunto de normas técnicas e regulamentos ambientais cuja conformidade é condição indispensável para aprovação por órgãos ambientais licenciadores e para financiamento por agências de fomento. No âmbito da ABNT, aplicam-se a NBR 11682 (Estabilidade de encostas, que define critérios de investigação geotécnica, análise de estabilidade e plano de monitoramento), a NBR 16308 (Biomantas e biotêxteis para controle de erosão, que classifica e especifica requisitos de desempenho para produtos de fibras naturais), a NBR 10514 (Gabiões e colchões reno, que regulamenta materiais, fabricação e montagem de cestas metálicas) e a NBR 7229 (Ensaio de infiltração, fundamental para o dimensionamento de bacias de captação e drenagem subsuperficial).

21.8.2. Legislação Ambiental

A legislação ambiental brasileira estabelece obrigações específicas que condicionam o projeto de bioengenharia. O Código Florestal (Lei 12.651/2012) define as Áreas de Preservação Permanente (APP) onde intervenções de revegetação e estabilização de encostas são obrigatórias, exigindo o uso de espécies nativas nos projetos de recomposição. A Política Nacional de Recursos Hídricos (Lei 9.433/1997) fundamenta a gestão por bacia hidrográfica, que é o paradigma espacial das intervenções de bioengenharia. A Política Nacional de Pagamento por Serviços Ambientais (Lei 14.119/2021) cria mecanismos de remuneração por atividades de conservação do solo e da água, incluindo o controle de erosão por bioengenharia, o que viabiliza o financiamento de projetos por propriedades rurais e municípios.

21.8.3. Certificações Internacionais

No âmbito internacional, as normas ISO 14001 (Sistemas de gestão ambiental) e ISO 14040/14044 (Avaliação do ciclo de vida, ACV) fornecem os frameworks para avaliar a pegada ambiental de materiais e técnicas de bioengenharia, subsidiando a comparação objetiva com soluções convencionais. A norma europeia EN 13383 (Armourstone, especificação de pedras para enrocamento) é referência para dimensionamento de enrocamento vegetado (ver [?@sec-enrocamento](#)), enquanto a ASTM D6460 (Standard Practice for Determination of Rolled Erosion Control Product Performance) estabelece protocolos de ensaio para biomantas e geotêxteis.

Incentivos financeiros

No Brasil, programas como o Programa de Conservação de Estradas Rurais (DER-SP), o Programa Produtor de Água (ANA) e o Programa de Recuperação de Áreas Degradadas (PRAD) oferecem financiamento e assistência técnica para implantação de técnicas de bioengenharia, constituindo oportunidades concretas para viabilizar projetos em escala

municipal e de bacia hidrográfica.

22. Objetivo

Projeto Integrador {#sec-projeto-integrador}

Este capítulo sintetiza os conhecimentos apresentados ao longo do livro em um projeto integrador de bioengenharia de solos, demonstrando como combinar múltiplas técnicas para resolver um problema real de degradação em região tropical. O objetivo não é apresentar uma receita fixa, mas um método de trabalho que permita ao projetista diagnosticar a situação de campo, selecionar as técnicas apropriadas, dimensionar as estruturas e monitorar os resultados, adaptando o projeto às condições locais de solo, clima, declividade e disponibilidade de materiais. A Figura 22.1 mostra uma voçoroca ativa em solo tropical, feição erosiva de grande porte que exemplifica o tipo de desafio que demanda projeto integrado de múltiplas técnicas.

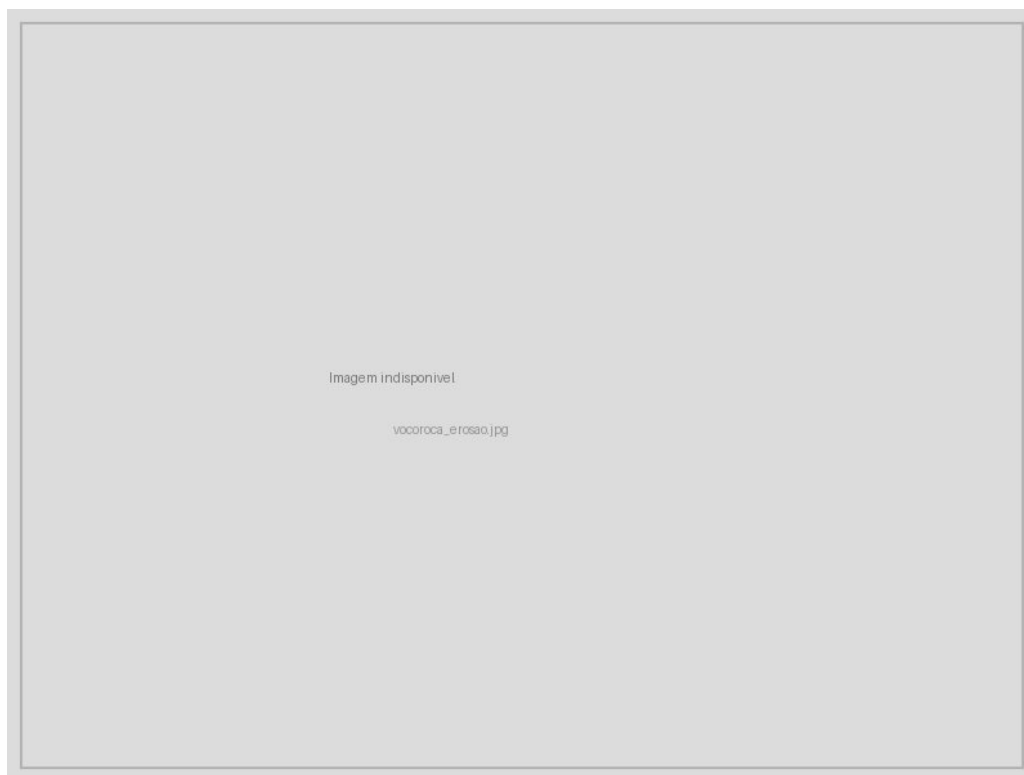


Figura 22.1.: Voçoroca ativa em solo tropical — feição erosiva de grande porte com paredes laterais instáveis, fundo com escoamento concentrado e cabeceira em recuo ativo, demandando projeto integrado de múltiplas técnicas de bioengenharia.

22.1. Metodologia de Projeto

22.1.1. Etapas do Projeto de Bioengenharia

O fluxograma a seguir apresenta as 7 etapas do projeto de bioengenharia de solos, desde o diagnóstico de campo até a consolidação, incluindo o ciclo de gestão adaptativa que retorna à

seleção de técnicas caso as metas de monitoramento não sejam atingidas.



22.1.2. Etapa 1: Diagnóstico

O diagnóstico é a etapa mais crítica do projeto, pois a seleção inadequada de técnicas resulta invariavelmente em ineficiência ou fracasso da intervenção. O levantamento deve integrar seis componentes fundamentais, cada um com método específico e produto cartográfico associado, conforme a Tabela 22.1.

Tabela 22.1.: Componentes do diagnóstico integrado para projeto de bioengenharia.

Componente	Método	Produto
Topografia	RPAS/drone + SfM (Structure from Motion)	MDE (Modelo Digital de Elevação) com resolução 5 cm
Solos	Amostragem em campo + ensaios de laboratório	Mapa pedológico com fator de erodibilidade K (RUSLE)
Clima	Estação meteorológica local ou interpolação	Série pluviométrica com R de erosividade (RUSLE)
Cobertura	Classificação supervisionada de imagem orbital/drone	Mapa de uso e cobertura com fator C (RUSLE)
Hidrologia	Modelagem de bacias (SIG)	Mapa de área contribuinte, direções de fluxo e vazões
Vegetação	Inventário florístico de campo	Lista de espécies nativas disponíveis para revegetação

A integração desses componentes em ambiente SIG permite a geração de mapas de susceptibilidade à erosão e de priorização de intervenções, fundamentais para a alocação eficiente de recursos em projetos de grande escala espacial.

22.1.3. Etapa 2: Classificação de Feições

Utilizando a metodologia de classificação de feições erosivas apresentada em [?@sec-classificacao-feicoes](#), todas as feições erosivas presentes na área de estudo devem ser mapeadas, medidas (comprimento, largura, profundidade, área de seção transversal) e classificadas segundo porte (sulco, ravina, voçoroca) e dinâmica (ativa, estabilizada, reativada). A priorização das intervenções deve considerar o risco associado a cada feição (proximidade de infraestrutura, taxa de expansão, volume de sedimento exportado) e a relação custo-efetividade do tratamento.

22.1.4. Etapa 3: Seleção de Técnicas

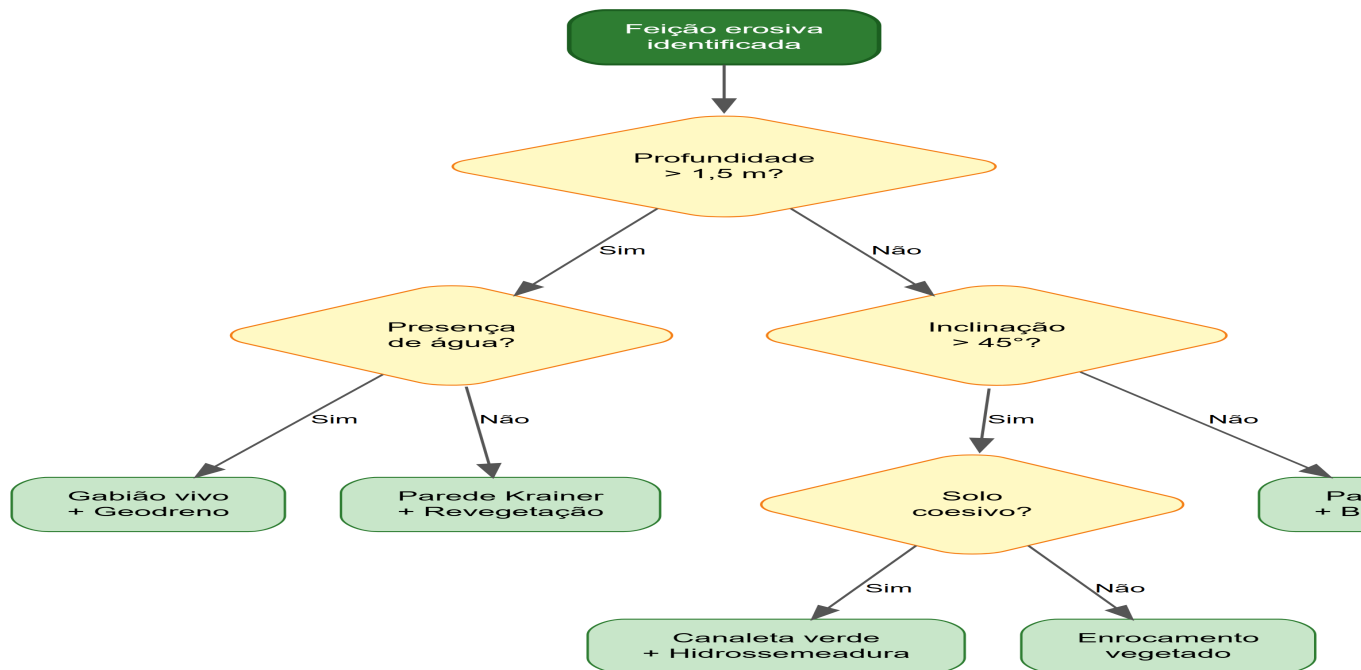
A seleção de técnicas segue uma matriz de decisão multicritério que pondera sete variáveis, cada uma com peso proporcional à sua influência no desempenho da intervenção, conforme a Tabela 22.2.

Tabela 22.2.: Critérios para seleção de técnicas de bioengenharia, com peso e variáveis associadas.

Critério	Peso	Variáveis consideradas
Tipo de feição	Alto	Classe EGC, profundidade, atividade (ativa/estabilizada)
Solo	Alto	Textura, erodibilidade (K), coesão efetiva, permeabilidade
Clima	Médio	Pluviosidade anual, intensidade de chuvas, déficit hídrico
Inclinação	Alto	Ângulo do talude, comprimento de rampa, área contribuinte
Acesso	Médio	Distância de vias, possibilidade de mecanização
Custo	Médio	Orçamento disponível, relação benefício/custo
Prazo	Baixo	Urgência da intervenção, cronograma de obras

A árvore de decisão a seguir operacionaliza a seleção de técnicas a partir de perguntas-chave sobre a profundidade da feição, a presença de água e as características do solo, direcionando o projetista para a combinação de técnicas mais adequada.

22.1.4.1. Árvore de Decisão



22.1.5. Etapa 4: Dimensionamento

Para cada técnica selecionada na etapa anterior, o dimensionamento deve seguir os métodos específicos apresentados nos capítulos correspondentes deste livro. O projetista deve consultar os capítulos de espaçamento e altura de paliçadas (?@sec-palicadas), volume e arranjo de bacias de captação (?@sec-bacias-captacao), taxa de aplicação de hidrossemeadura (?@sec-hidrossemeadura), grampeamento e sobreposição de biomantas (?@sec-biomantas), verificação de estabilidade de gabiões vivos (?@sec-gabiao-vivo), geometria e seleção de madeiras de paredes Krainer (?@sec-parede-krainer), dimensionamento hidráulico de canaletas verdes (?@sec-canaleta-verde) e critérios de filtração e resistência de geotêxteis (?@sec-geotexteis). É fundamental que o dimensionamento de cada elemento considere a interação com os demais, pois as técnicas funcionam em sinergia (por exemplo, paliçadas a montante reduzem a vazão de projeto das canaletas a jusante, e biomantas reduzem a erosão que colmataria bacias de captação).

22.1.6. Etapa 5: Projeto Executivo

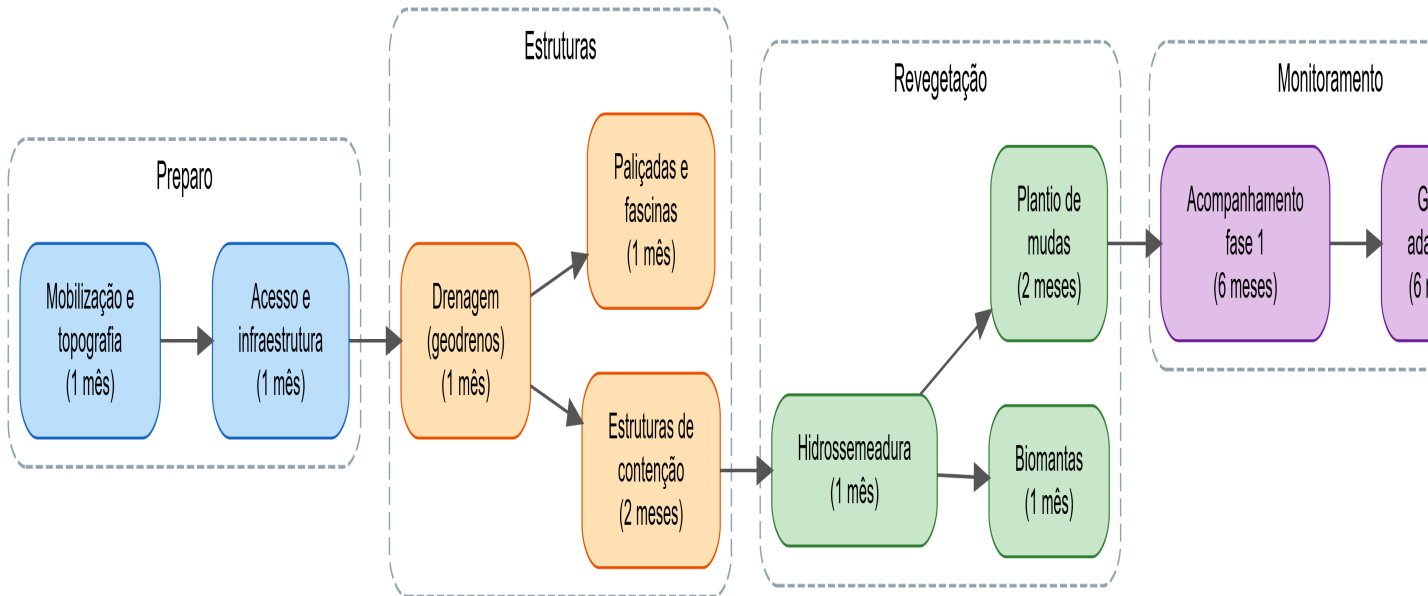
O projeto executivo é o documento técnico que viabiliza a implantação em campo e deve conter seis componentes obrigatórios. O memorial descritivo apresenta as justificativas técnicas para cada decisão de projeto, incluindo os resultados do diagnóstico, a classificação das feições e os critérios de seleção de técnicas. As plantas de locação incluem a planta geral (escala 1:500 a 1:2.000), seções transversais típicas (escala 1:50 a 1:100) e detalhes construtivos (escala 1:10 a 1:20) para cada tipo de estrutura. As especificações técnicas definem os materiais (tipo de madeira, granulometria do enrocamento, espécie e gramatura do geotêxtil, composição da pasta de hidrossemeadura), as espécies vegetais (com justificativa ecofisiológica) e as normas aplicáveis (ABNT, ASTM). O cronograma de implantação define a sequência de fases, obrigatoriamente iniciando pelas estruturas de drenagem e contenção antes da revegetação. O orçamento detalha

22. Objetivo

custos unitários e totais para cada item. O plano de monitoramento define indicadores, métodos, frequência e metas quantitativas para cada fase do projeto.

22.1.7. Etapa 6: Implantação

A sequência de implantação é crítica para o sucesso do projeto, pois a instalação de vegetação antes das estruturas de contenção e drenagem expõe as mudas à energia erosiva não controlada. O diagrama de Gantt a seguir apresenta o cronograma típico de implantação, com a sequência preparo → estruturas → revegetação → monitoramento.



⚠ Período de implantação

A implantação da fase de revegetação deve coincidir com o início da estação chuvosa para maximizar a taxa de estabelecimento da vegetação e a sobrevivência de mudas. Em regiões semiáridas com período chuvoso curto, irrigação suplementar pode ser necessária nos primeiros 60 dias após o plantio, período em que as raízes ainda não atingiram profundidade suficiente para acessar reservas hídricas do solo. O uso de Bio-SAP (?@sec-biopolimeros) no substrato de plantio pode reduzir a demanda de irrigação em 50–70%.

22.1.8. Etapa 7: Monitoramento

O monitoramento é obrigatório em projetos de NBS (ver ?@sec-nbs), pois são sistemas vivos cuja resposta depende de variáveis climáticas e biológicas não inteiramente controláveis. A Tabela 22.3 define os indicadores mínimos, os métodos de medição, a frequência recomendada e as metas quantitativas para cada fase do projeto.

Tabela 22.3.: Plano de monitoramento do projeto integrador, com indicadores, métodos, frequência e metas.

Indicador	Método	Frequência	Meta
Cobertura vegetal (%)	Fotografia aérea por RPAS/drone	Mensal (ano 1), trimestral (anos 2–3)	> 80% em 12 meses
Taxa de sobrevivência (%)	Contagem em parcelas permanentes	Trimestral	> 70%
Erosão (t/ha/ano)	Pinos de erosão + Wischmeier	Semestral	< tolerância do solo local
Estabilidade do talude (FS)	Piezômetros + inclinômetros	Mensal (estação chuvosa)	FS 1,5
Qualidade da água	Análise de turbidez e sedimentos em suspensão	Mensal	Turbidez < 100 NTU

(a) Estabelecimento da Barreira



(b) Resistência e Capacidade

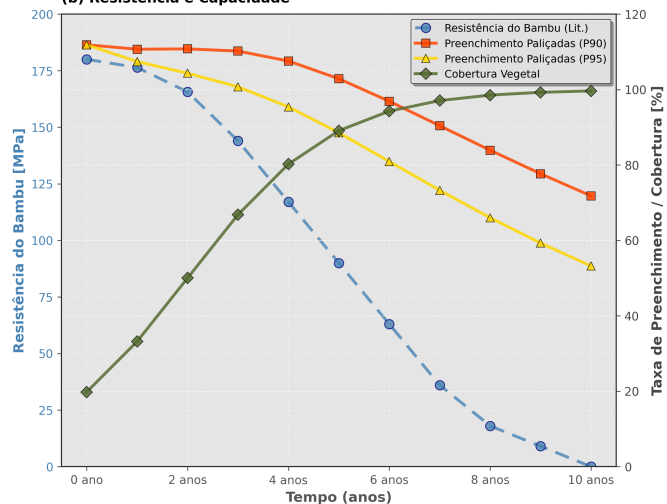


Figura 22.2.: Painel integrado de monitoramento — *dashboard* que consolida indicadores de cobertura vegetal, erosão, estabilidade de taludes e qualidade da água em uma interface única de tomada de decisão.

22.2. Ferramentas Computacionais para Modelagem

O projeto integrador de bioengenharia pode ser significativamente potencializado pelo uso de ferramentas computacionais que automatizam cálculos repetitivos, simulam cenários de intervenção e integram dados espaciais de múltiplas fontes. As três categorias de ferramentas apresentadas a seguir cobrem as necessidades computacionais mais frequentes em projetos de bioengenharia.

22.2.1. Modelagem Hidrológica (SIG)

Os Sistemas de Informação Geográfica (SIG) são a plataforma central de integração de dados espaciais em projetos de bioengenharia. A aplicação da RUSLE em ambiente SIG permite calcular a perda de solo pixel a pixel em toda a bacia contribuinte, identificando espacialmente os *hotspots* erosivos que devem ser priorizados. O QGIS (software livre) com os plugins SAGA e GRASS oferece funcionalidades para derivação automática de bacias hidrográficas a partir de MDE (Modelo Digital de Elevação), cálculo dos fatores LS , C e P da RUSLE a partir de dados raster, modelagem de escoamento superficial pelo método SCS-CN para estimativa de vazões de projeto e análise multicritério para priorização de intervenções por sobreposição ponderada de camadas temáticas.

22.2.2. Estabilidade de Taludes

A análise de estabilidade de taludes é obrigatória para o dimensionamento de gabiões vivos (ver ?@sec-gabiao-vivo), paredes Krainer (ver ?@sec-parede-krainer) e retaludamento (ver ?@sec-nbs). Para análises em duas dimensões, os métodos de equilíbrio-limite (Bishop simplificado, Janbu, Spencer) podem ser executados com softwares como GeoStudio SLOPE/W, Slide2 (Rocscience) ou GEOSLOPE, que calculam automaticamente o fator de segurança mínimo (FS) por busca da superfície de ruptura crítica. A incorporação do efeito da vegetação ao modelo requer a adição do termo de coesão radicular (c_r) à coesão do solo na faixa de profundidade radicular (0–2 m para gramíneas, 0–5 m para espécies arbóreas), além da aplicação de uma sobrecarga correspondente ao peso da vegetação (0,5–2,0 kPa para gramíneas, 2–5 kPa para arbustos e 5–15 kPa para árvores).

A lógica do cálculo de estabilidade pode ser implementada em linguagem Python para análises paramétricas rápidas. A equação do talude infinito (adequada para rupturas superficiais em encostas com espessura de solo homogênea) pode ser expressa como

$$FS = \frac{c' + c_r + (\gamma \cdot z \cdot \cos^2 \beta - u) \cdot \tan \phi'}{\gamma \cdot z \cdot \sin \beta \cdot \cos \beta}$$

onde a inclusão explícita de c_r (coesão radicular) permite quantificar o ganho de estabilidade proporcionado pela vegetação para diferentes combinações de profundidade de raiz, densidade radicular e espécie vegetal. Variando sistematicamente os parâmetros c_r (0 a 25 kPa), u (0 a $\gamma_w \cdot z$) e β (15° a 60°), o projetista pode gerar abácos de decisão que indicam, para cada condição de campo, se a revegetação sozinha é suficiente ($FS \geq 1,5$) ou se estruturas complementares (gabiões, Krainer) são necessárias.

22.2.3. Modelagem de Erosão e Deposição

Para feições erosivas complexas (voçorocas com múltiplas cabeceiras, contribuição de lençol freático, *piping*), modelos de erosão distribuídos como WEPP (*Water Erosion Prediction Project*) e LISEM (*Limburg Soil Erosion Model*) oferecem simulação física dos processos de desprendimento, transporte e deposição de sedimentos em escala de evento ou contínua, incorporando a variabilidade espacial de solo, cobertura e topografia. Esses modelos, embora mais complexos que a RUSLE, permitem simular o efeito de intervenções pontuais (como paliçadas ou bacias de captação) na redistribuição de sedimentos ao longo da feição, subsidiando o posicionamento ótimo das estruturas.

A modelagem computacional não substitui o julgamento do engenheiro nem a investigação de campo, mas acelera o processo de projeto, permite a avaliação quantitativa de múltiplos cenários de intervenção antes da implantação e fornece subsídios técnicos auditáveis para justificar decisões de projeto perante órgãos licenciadores e financiadores.

22.3. Estudo de Caso: Voçoroca em Latossolo no Cerrado

22.3.1. Cenário

O estudo de caso exemplifica a aplicação do método de projeto a uma situação real na Bacia do Rio São Francisco (MG). O local apresenta Latossolo Vermelho-Amarelo de textura argilosa, sob clima Aw (Köppen) com precipitação média anual de 1.200 mm concentrada em 6 meses (outubro a março). A feição erosiva consiste em uma voçoroca ativa de 120 m de comprimento, 15 m de largura média e 8 m de profundidade máxima, com área de bacia contribuinte de 12 ha e uso anterior de pastagem degradada com cobertura vegetal inferior a 40%.

22.3.2. Diagnóstico

A aplicação do modelo RUSLE (Revised Universal Soil Loss Equation) ao cenário permite estimar a perda de solo antes da intervenção. A erodibilidade do solo (K) foi determinada em $0,028 \text{ t} \cdot \text{h}/(\text{MJ} \cdot \text{mm})$ por nomograma de Wischmeier a partir dos resultados de análise granulométrica e teor de matéria orgânica. A erosividade da chuva (R), calculada a partir de 30 anos de dados pluviométricos da estação meteorológica mais próxima, resultou em $7.500 \text{ MJ} \cdot \text{mm}/(\text{ha} \cdot \text{h} \cdot \text{ano})$. O fator topográfico (LS), derivado do MDE com resolução de 5 cm obtido por aerofotogrametria com drone, foi de 4,2 para o trecho mais crítico. O fator de cobertura (C), determinado por classificação supervisionada de imagem orbital, resultou em 0,35 (característico de pastagem degradada com solo parcialmente exposto). O fator de práticas conservacionistas (P) foi de 1,0, indicando ausência total de práticas de conservação.

A perda de solo estimada pela RUSLE resulta em

$$A = R \cdot K \cdot LS \cdot C \cdot P = 7.500 \times 0,028 \times 4,2 \times 0,35 \times 1,0 = 308,7 \text{ t/ha/ano}$$

valor que excede em mais de 30 vezes a tolerância de perda de solo para Latossolos no Cerrado (tipicamente 9–12 t/ha/ano), confirmando a necessidade urgente de intervenção.

22.3.3. Projeto

A Tabela 22.4 apresenta o plano de intervenção por zona da voçoroca, onde cada zona recebe a combinação de técnicas mais adequada à sua função hidrossedimentológica. A cabeceira, responsável pelo recuo ativo, recebe paliçadas e bacias de captação para interceptar o escoamento concentrado. As paredes laterais, sujeitas a instabilidade geotécnica, recebem gabiões vivos e geotêxtil de taboa. O fundo, com escoamento concentrado, recebe drenos verdes e fascinas vivas para dissipação de energia. A encosta contribuinte a montante, geradora do escoamento erosivo, recebe hidrossemeadura e biomanta para proteção imediata. O topo da encosta recebe revegetação arbórea para interceptação de chuva e coesão radicular profunda.

22. Objetivo

Tabela 22.4.: Plano de intervenção por zona da voçoroca, com técnicas e dimensionamento específicos.

Zona	Técnica(s)	Dimensionamento
Cabeceira	Paliçadas permeáveis (3 linhas, ?@sec-palicadas) + bacias de captação (?@sec-bacias-captacao)	E = 5 m entre linhas, H = 0,8 m; 25 bacias (V = 1,2 m ³ cada)
Corpo (paredes laterais)	Gabiões vivos (?@sec-gabiao-vivo) + geotêxtil de taboa (?@sec-biotexteis)	3 camadas de gabiões, H_total = 3 m
Corpo (fundo)	Drenos verdes + fascinas vivas (?@sec-feixes-drenos)	Dreno central + 6 laterais
Encosta contribuinte	Hidrossemeadura (?@sec-hidrossemeadura) + biomanta C350 (?@sec-biomantas)	T_a = 350 g/m ² , malha 25 mm
Topo	Revegetação arbórea (espécies do Cerrado)	Espaçamento 3 × 3 m = 1.111 mudas/ha

22.3.4. Resultados Esperados (Modelagem)

A modelagem dos resultados esperados utiliza a mesma equação RUSLE com os fatores C e P atualizados para refletir a progressão da cobertura vegetal e a instalação das práticas conservacionistas.

No Ano 1, espera-se cobertura vegetal de 40–60% (estabelecimento das gramíneas por hidrossemeadura), com redução de erosão da ordem de 65% pela combinação das estruturas de contenção (paliçadas, gabiões) e da proteção superficial (biomantas).

No Ano 3, a cobertura vegetal deve superar 80% (consolidação da hidrossemeadura e crescimento das mudas arbóreas), com fator de segurança superior a 1,5 nos taludes estabilizados pela contribuição da coesão radicular (Δc_r).

No Ano 5, com a vegetação arbórea estabelecida ($C = 0,05$) e todas as práticas conservacionistas operacionais ($P = 0,6$), a perda de solo estimada pela RUSLE resulta em

$$A_5 = 7.500 \times 0,028 \times 4,2 \times 0,05 \times 0,6 = 26,5 \text{ t/ha/ano}$$

representando uma redução de 91,4% em relação à condição pré-intervenção (de 308,7 para 26,5 t/ha/ano), valor próximo à tolerância de perda de solo para Latossolos no Cerrado.

22.3.5. Orçamento Estimado

A Tabela 22.5 apresenta o orçamento estimado para a recuperação da voçoroca, com valores referenciais para o contexto do Cerrado mineiro. Os custos unitários incluem material e mão de obra de instalação.

Tabela 22.5.: Orçamento estimado para recuperação da voçoroca — valores referenciais incluindo material e mão de obra.

Item	Unidade	Quantidade	Custo Unit. (R)	Total(R)
Paliçadas de bambu	m	150	45	6.750
Bacias de captação	un	25	120	3.000
Gabião vivo (caixa 2×1×0,5 m)	un	45	350	15.750
Geotêxtil de taboa	m ²	600	28	16.800
Hidrossemeadura	m ²	2.500	12	30.000
Biomanta C350	m ²	1.800	25	45.000
Mudas arbóreas nativas	un	500	8	4.000
Mão de obra	h	800	35	28.000
Total				149.300

Custo-benefício

O custo estimado de R\$ 149.300 corresponde a aproximadamente R\$ 100/m linear de voçoroca tratada, ou R\$ 12/m² de área estabilizada, valor 3–5× inferior ao de soluções convencionais com muro de concreto armado para feições de porte equivalente (ver Tabela 21.2 em ?@sec-nbs). Quando os co-benefícios de sequestro de carbono e regulação hídrica são contabilizados, o retorno do investimento é estimado em 5–8 anos.

22.4. Considerações Finais

O projeto integrador demonstra que a combinação sinérgica de técnicas de bioengenharia é significativamente mais eficaz do que o uso isolado de qualquer uma delas, pois cada técnica atua em um compartimento específico da feição erosiva (cabeceira, paredes laterais, fundo, encosta contribuinte) e em uma escala temporal distinta (proteção imediata por biomantas, contenção estrutural por gabiões, estabilização radicular em 3–5 anos). O diagnóstico adequado do solo, do clima e das feições erosivas é o fundamento insubstituível para a seleção correta de intervenções, e a aplicação indiscriminada de técnicas sem diagnóstico é a principal causa de insucesso em projetos de recuperação. O monitoramento é obrigatório, não opcional, porque as NBS são sistemas vivos cuja trajetória depende de variáveis climáticas, edáficas e biológicas que exigem gestão adaptativa. O custo é competitivo, especialmente quando os co-benefícios ambientais são contabilizados, consolidando a bioengenharia de solos como uma solução baseada na natureza que atende simultaneamente aos critérios de eficiência técnica, viabilidade econômica e alinhamento com os Objetivos de Desenvolvimento Sustentável.

Parte V.

Parte V — Monitoramento e Análise

23. Modelagem 3D de Sistemas Radiculares

23.1. Introdução à Fotogrametria Aplicada a Raízes

A quantificação da contribuição mecânica das raízes na estabilidade de taludes é um dos pilares da bioengenharia de solos. Conforme discutido nos capítulos anteriores, os modelos de Wu (?@sec-solos-tropicais) e Waldron dependem fundamentalmente de dois parâmetros: a resistência à tração das raízes ($\overline{t_R}$) e a razão de área radicular (*Root Area Ratio* — RAR). Tradicionalmente, o RAR é estimado por métodos bidimensionais — análise de perfis expostos em trincheiras ou contagem de raízes em quadrículas —, que subestimam o volume radicular em 20–40% por não capturarem a distribuição tridimensional das raízes.

A fotogrametria digital *Structure from Motion* (SfM) representa uma alternativa acessível e precisa para superação dessas limitações (westoby2012?). A técnica permite reconstruir a geometria 3D completa de objetos a partir de múltiplas fotografias tomadas de ângulos diferentes, utilizando algoritmos de correspondência de pontos homólogos e triangulação. A Figura 23.1 ilustra o fluxo de trabalho completo, desde a captura fotográfica até a extração de parâmetros geotécnicos.

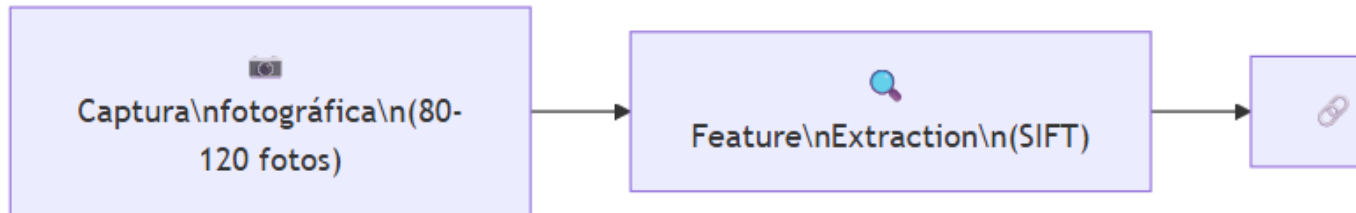


Figura 23.1.: Fluxograma do protocolo de fotogrametria SfM para modelagem de sistemas radiculares: da captura fotográfica ao cálculo do Fator de Segurança.

As vantagens da SfM para aplicação em bioengenharia incluem baixo custo (câmera de celular com 12 MP), portabilidade (uso direto em campo), disponibilidade de software livre (Meshroom, CloudCompare) e resolução submilimétrica (0,1–1,0 mm), suficiente para detectar raízes finas de gramíneas como o vetiver.

23.2. Preparação do Sítio Experimental

23.2.1. Critérios de Seleção

A seleção do sítio experimental deve considerar três critérios principais: vegetação de vetiver ou outra espécie de interesse estabelecida há pelo menos 6 meses (período mínimo para enraizamento funcional), inclinação do talude entre 25° e 45° (faixa crítica para erosão e instabilidade), e ausência de interferência antrópica recente. As coordenadas geográficas e um croqui do local devem ser registrados.

23.2.2. Abertura da Trincheira e Exposição das Raízes

A área de exposição é demarcada com estacas, formando um retângulo de no mínimo 50×50 cm ao redor da touceira selecionada. A escavação deve ser cuidadosa, mantendo as raízes íntegras, e aprofundada até a máxima extensão visível — tipicamente 60–100 cm para vetiver com mais de 12 meses. O jato de água a baixa pressão é utilizado para remover o solo aderido sem romper raízes finas.

💡 Dica de Campo

Após a lavagem com jato d'água, aguarde 5–10 minutos para que as raízes sequem superficialmente antes de fotografar. Raízes secas apresentam melhor contraste com o solo, mas uma leve borrifada de água imediatamente antes da captura melhora a textura visual nas fotos.

23.2.3. Montagem da Cena

A preparação da cena para fotogrametria requer: (a) posicionamento de escala métrica (trena graduada) em duas direções perpendiculares, (b) distribuição de quatro alvos codificados ao redor da área de interesse, em posições fixas e visíveis em todas as fotos, e (c) instalação de painel de fundo neutro (lona cinza) atrás das raízes para reduzir ruído no processamento.

23.3. Aquisição Fotográfica

23.3.1. Configuração da Câmera

A câmera deve ser configurada em modo manual (M) ou prioridade de abertura (Av), com ISO 100–400, abertura $f/5.6$ a $f/8$ (para máxima profundidade de campo), velocidade $1/125$ s, foco manual fixo e flash desligado. A captura deve ser realizada sob iluminação difusa (céu nublado) ou com sol baixo, evitando sombras projetadas sobre as raízes.

23.3.2. Protocolo de Captura Orbital

O protocolo de captura segue um padrão de órbitas concêntricas ao redor do sistema radicular, conforme descrito na Tabela 23.1.

Tabela 23.1.: Protocolo de captura fotográfica orbital para fotogrametria SfM de raízes.

Órbita	Distância (m)	Ângulo entre fotos	Nº de fotos	Objetivo
1 — Contexto	1,0–1,5	10–15°	24–36	Cobertura 360°, visão geral
2 — Média	0,5–0,8	10°	36	Detalhamento intermediário
3 — Detalhe	0,3–0,5	Livre	20	Close-ups de zonas densas

O total mínimo é de 80 fotos (recomendado: 100–120), com sobreposição 70% entre consecutivas. Cada ponto do objeto deve ser visível em pelo menos 3 fotos de ângulos distintos, e a escala métrica deve aparecer em 50% das imagens.

23.3.3. Resolução Espacial (GSD)

A viabilidade da detecção de raízes finas depende da resolução espacial das fotos, expressa pelo *Ground Sampling Distance* (GSD):

$$GSD = \frac{d \times p}{f} \quad (23.1)$$

onde d é a distância câmera-objeto (m), p é o tamanho do pixel no sensor (mm) e f é a distância focal (mm). O critério adotado é $GSD \leq d_{min}/2$, onde d_{min} é o diâmetro da menor raiz a detectar. Para raízes de vetiver (diâmetro 0,5 mm), o GSD deve ser 0,25 mm/pixel — facilmente alcançável com câmeras de 12 MP a 0,5 m de distância.

23.4. Processamento Fotogramétrico

23.4.1. Pipeline no Meshroom

O processamento é realizado no Meshroom (AliceVision), software livre de fotogrametria SfM. A pipeline padrão compreende 10 nós sequenciais (Tabela 23.2).

Tabela 23.2.: Pipeline de processamento fotogramétrico no Meshroom.

Passo	Nó	Configuração
1	CameraInit	Auto-deteção
2	FeatureExtraction	Descritor SIFT, qualidade Normal
3	ImageMatching	VocabularyTree
4	FeatureMatching	Sem limite
5	StructureFromMotion	Padrão
6	DepthMapEstimation	Resolução Normal
7	DepthMapFiltering	Padrão
8	Meshing	maxPoints: 5.000.000
9	MeshFiltering	Suavização fator 1
10	Texturing	4096 × 4096

23.4.2. Verificação de Qualidade

Após o nó StructureFromMotion, o número de câmeras calibradas deve ser 90% das fotos importadas. Se inferior a 70%, as fotos são insuficientes e deve-se retornar ao campo. O tempo de processamento varia de 30 minutos (80 fotos, GPU NVIDIA GTX 1060) a 8 horas (120 fotos, apenas CPU).

⚠ Requisito de Hardware

O Meshroom requer GPU NVIDIA com suporte CUDA para processamento em tempo razoável. Se não disponível, alternativas como COLMAP (modo CPU) ou Google Colab (GPU gratuita) podem ser utilizadas.

23.4.3. Exportação

Os produtos do processamento são a nuvem de pontos densa (formato `.ply`, com cores RGB) e a malha texturizada (formato `.obj` + `.mtl` + texturas `.png`).

23.5. Análise no CloudCompare

23.5.1. Limpeza da Nuvem de Pontos

O CloudCompare é o software utilizado para análise tridimensional. Após importação do arquivo `.ply`, a limpeza compreende três etapas: remoção manual de pontos do solo e fundo por segmentação poligonal (Edit → Segment), remoção estatística de outliers pelo *Statistical Outlier Removal* (SOR Filter, com 6 vizinhos e multiplicador 1,0–2,0), e subamostragem por espaçamento mínimo de 0,5–1,0 mm quando necessário.

23.5.2. Calibração de Escala

A escala é calibrada pela ferramenta *Point Picking* (Tools → Point Picking), medindo-se a distância entre dois pontos conhecidos na régua graduada e aplicando-se o fator de correção $k = d_{real}/d_{medida}$ via Edit → Multiply/Scale nas três dimensões.

23.5.3. Visualização por Profundidade

A distribuição vertical das raízes é visualizada pela ferramenta *Height Ramp* (Edit → Colors → Height Ramp), com coloração no eixo Z e paleta Blue-Green-Yellow-Red (azul = superficial, vermelho = profundo). A Figura 23.2 ilustra o resultado típico.

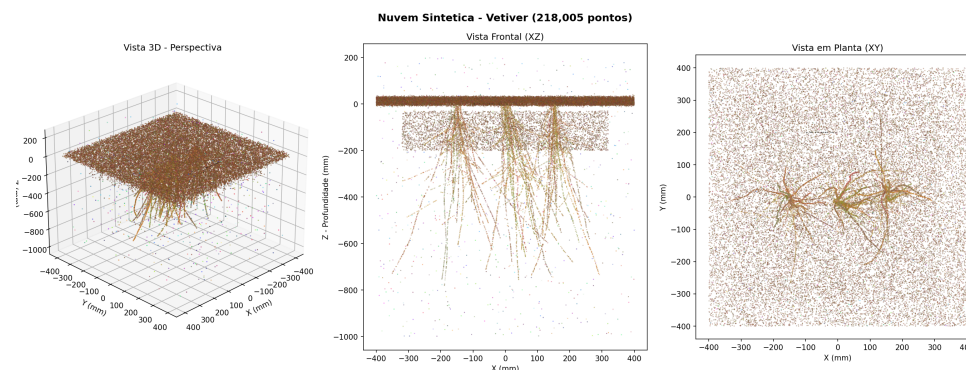


Figura 23.2.: Exemplo de nuvem de pontos de sistema radicular de vetiver no CloudCompare, com coloração por profundidade (Height Ramp): azul indica raízes superficiais e vermelho indica raízes profundas.

23.6. Extração do RAR por Cortes Transversais

23.6.1. Método de Fatiamento

O RAR é o parâmetro principal extraído do modelo 3D. O procedimento consiste em fatiar horizontalmente a nuvem de pontos em camadas de 10 cm de espessura, utilizando a ferramenta *Cross Section* (Tools → Segmentation → Cross Section), com plano de corte XY.

Para cada fatia na profundidade z_i , a nuvem é rasterizada no plano XY (Tools → Projection → Rasterize, resolução de célula = 1 mm), e o RAR é calculado como:

$$RAR(z_i) = \frac{A_{raiz}}{A_{total}} = \frac{n_{raiz} \times A_{clula}}{n_{total} \times A_{clula}} \quad (23.2)$$

onde n_{raiz} é o número de células ocupadas por raízes e n_{total} é o total de células na área delimitadora.

23.6.2. Resultados Típicos

A Tabela 23.3 apresenta valores típicos de RAR para vetiver estabelecido há 18 meses em talude rodoviário com solo argiloso tropical, obtidos por este protocolo.

Tabela 23.3.: RAR e acréscimo de coesão por camada de profundidade para vetiver com 18 meses.

Camada (cm)	A_{raiz} (cm ²)	A_{total} (cm ²)	RAR (%)	Δc_r — Wu (kPa)
0–10	10,0	2500	0,40	7,2
10–20	7,5	2500	0,30	5,4
20–30	5,0	2500	0,20	3,6
30–50	3,0	2500	0,12	2,2
50–100	1,25	2500	0,05	0,9

A distribuição é não linear, com concentração nas camadas superficiais: 80% do efeito mecânico ocorre nos primeiros 50 cm.

23.7. Estimativa do Acréscimo de Coesão

23.7.1. Modelo de Wu (1979)

Com os valores de RAR por camada, o acréscimo de coesão conferido pelas raízes é estimado pelo modelo de Wu:

$$\Delta c_r(z) = 1,2 \times \bar{t}_R \times RAR(z) \quad (23.3)$$

onde \bar{t}_R é a resistência média à tração das raízes e o fator 1,2 corrige a orientação aleatória. Para vetiver, \bar{t}_R varia entre 40 e 180 MPa (média adotada: 75 MPa).

! Limitação do Modelo de Wu

O modelo de Wu assume que todas as raízes rompem simultaneamente, o que na prática não ocorre. Estudos de (pollen2005?) demonstraram superestimação de 50–100% em relação a medições de campo. O modelo é adequado para triagem preliminar, mas projetos executivos devem utilizar o modelo de Waldron ou o modelo de fibras progressivas (FBM).

23.7.2. Modelo de Waldron (1977)

Para maior acurácia, o modelo de Waldron incorpora o ângulo de distorção da raiz (θ) na zona de cisalhamento:

$$\Delta S = T_r \times \frac{A_r}{A_s} \times (\sin \theta + \cos \theta \tan \phi') \quad (23.4)$$

onde ϕ' é o ângulo de atrito efetivo do solo. A Tabela 23.4 compara os dois modelos para os dados da Tabela 23.3.

Tabela 23.4.: Comparação entre modelos de acréscimo de coesão radicular.

Modelo	Δc_r médio (0–30 cm)	Observação
Wu (1979)	5,4 kPa	Limite superior (superestima)
Waldron (1977)	3,8 kPa	Mais realista ($\theta = 55^\circ$, $\phi' = 25^\circ$)

23.7.3. Fator de Segurança

O efeito do reforço radicular na estabilidade é quantificado pelo Fator de Segurança (FS), calculado pelo modelo de talude infinito:

$$FS = \frac{c' + \Delta c_r + (\gamma z \cos^2 \beta - u) \tan \phi'}{\gamma z \sin \beta \cos \beta} \quad (23.5)$$

onde c' é a coesão efetiva do solo, γ é o peso específico, z é a profundidade da superfície de ruptura, β é a inclinação do talude e u é a poropressão.

Para o caso estudado (talude 1V:1,5H, solo argiloso, $c' = 5$ kPa, $\phi' = 25^\circ$, $\gamma = 18$ kN/m³), o FS passou de 1,15 (solo natural) para 1,87 (solo com raízes de vetiver), um incremento de 63%.

23.8. Ensaios Complementares

Os modelos mecânicos dependem de parâmetros obtidos por ensaios complementares de laboratório (Tabela 23.5).

Tabela 23.5.: Ensaios complementares de laboratório para alimentar os modelos mecânicos.

Ensaio	Parâmetro	Norma
Tração direta de raízes	t_R (MPa)	Adaptado ASTM D3822
Cisalhamento direto	c' , ϕ'	ABNT NBR 12770
Arrancamento de raízes	θ	Protocolo in-situ
Caracterização do solo	Textura, LL, LP, γ	ABNT NBR 6457/7181

23.9. Vantagens da Análise 3D sobre Métodos Convencionais

A modelagem tridimensional revela características não detectáveis pela análise 2D convencional:

- Distribuição assimétrica: raízes crescem preferencialmente para baixo do talude (geotropismo combinado com gravidade), o que significa que o reforço mecânico não é uniforme ao redor da touceira.
- Conexão entre touceiras: após 12 meses, raízes de touceiras vizinhas se entrelaçam, formando uma “malha viva” que distribui as tensões de cisalhamento de forma mais eficiente que raízes isoladas.
- Zonas de fragilidade: entre touceiras, o solo pode permanecer desprotegido, o que reforça a recomendação de espaçamento inferior a 20 cm entre mudas.

A Tabela 23.6 compara a fotogrametria SfM com outras técnicas de imagem 3D disponíveis para análise de sistemas radiculares.

Tabela 23.6.: Comparativo de técnicas de imagem 3D para sistemas radiculares.

Técnica	Resolução	Custo	Portabilidade	Ideal para
Fotogrametria SfM	0,1–1 mm	Baixo	Campo	Raízes expostas em taludes
LiDAR terrestre	1–5 mm	Alto	Pesado	Estruturas > 1 m
Tomografia (CT)	10–50 μ m	Muito alto	Laboratório	Raízes finas in-situ
Ressonância (MRI)	50–200 μ m	Muito alto	Laboratório	Dinâmica de água
Scanner 3D estruturado	0,05–0,5 mm	Médio	Lab/campo	Amostras em bancada

A fotogrametria SfM é a única técnica que combina portabilidade de campo, resolução submilimétrica e custo acessível, tornando-a a ferramenta ideal para laboratórios de bioengenharia em países tropicais.

Aplicação Prática

O protocolo descrito neste capítulo pode ser aplicado a qualquer espécie vegetal de interesse para bioengenharia. Para espécies com raízes mais finas que o vetiver (como gramíneas nativas do Cerrado), reduza a distância de captura na Órbita 3 para 0,2–0,3 m e utilize câmera com resolução 20 MP para garantir GSD 0,15 mm/pixel.

24.

Referências {.unnumbered}

- Bertoni, J., & Lombardi Neto, F. (2017). *Conservação do Solo* (9th ed.). Ícone.
- Durlo, M. A., & Sutili, F. J. (2005). *Bioengenharia: Manejo Biotécnico de Cursos de Água*. EST Edições.
- Gray, D. H., & Sotir, R. B. (1996). *Biotechnical and Soil Bioengineering Slope Stabilization: A Practical Guide for Erosion Control*. John Wiley & Sons.
- IUCN. (2020). *IUCN Global Standard for Nature-based Solutions*. <https://doi.org/10.2305/IUCN.CH.2020.08.en>
- Jenny, H. (1941). *Factors of Soil Formation: A System of Quantitative Pedology*.
- Morgan, R. P. C. (2005). *Soil Erosion and Conservation* (3rd ed.). Blackwell Publishing.
- Renard, K. G., Foster, G. R., Weesies, G. A., McCool, D. K., & Yoder, D. C. (1997). Predicting Soil Erosion by Water: A Guide to Conservation Planning with the Revised Universal Soil Loss Equation (RUSLE). *Agriculture Handbook*, 703.
- Schiechl, H. M. (1980). *Bioengineering for Land Reclamation and Conservation*.
- Sutili, F. J. (2004). *Bioengenharia de Solos no Revestimento de Cursos de Água no Sul do Brasil*. UFSM.